



**VYSOKÉ UČENÍ TECHNICKÉ V BRNĚ**  
BRNO UNIVERSITY OF TECHNOLOGY



**FAKULTA STROJNÍHO INŽENÝRSTVÍ  
ENERGETICKÝ ÚSTAV**

FACULTY OF MECHANICAL ENGINEERING  
ENERGY INSTITUTE

# **MODERNIZACE ST-NT DÍLU PARNÍ TURBINY 300 MW**

RETROFIT IP-LP SECTION STEAM TURBINE 300 MW

**DIPLOMOVÁ PRÁCE**  
MASTER'S THESIS

**AUTOR PRÁCE**  
AUTHOR

**Bc. RICHARD PAVLIK**

**VEDOUCÍ PRÁCE**  
SUPERVISOR

**doc. Ing. JAN FIEDLER, Dr.**

BRNO 2014



Vysoké učení technické v Brně, Fakulta strojního inženýrství

Energetický ústav

Akademický rok: 2013/2014

## ZADÁNÍ DIPLOMOVÉ PRÁCE

student(ka): Bc. Richard Pavlik

který/která studuje v **magisterském navazujícím studijním programu**

obor: **Energetické inženýrství (2301T035)**

Ředitel ústavu Vám v souladu se zákonem č.111/1998 o vysokých školách a se Studijním a zkušebním řádem VUT v Brně určuje následující téma diplomové práce:

### **Modernizace ST-NT dílu parní turbíny 300 MW**

v anglickém jazyce:

### **Retrofit IP-LP Section Steam Turbine 300MW**

Stručná charakteristika problematiky úkolu:

Navrhněte modernizovanou třítělesovou parní turbínu 300MW typu K300-170 s přehříváním s těmito parametry.:

elektrický výkon na svorkách generátoru  $P_b = 300 \text{ MW}$

tlak admisní páry  $p_1 = 17 \text{ MPa}$

teplota admisní  $t_1 = 567 \text{ °C}$

tlaková ztráta mezi výstupem VT a vstupem ST části:

$p_z = 0,4 \text{ MPa}$

teplota přehřáté páry:  $t_1 = 568 \text{ °C}$

teplota napájecí vody:  $t_{NV} \sim 270 \text{ °C}$

Teplota chladicí vody  $20 \text{ °C}$

otáčky turbíny  $n = 3000 \text{ min}^{-1}$

Cíle diplomové práce:

Regulace turbíny je škrťací s klouzavým tlakem. Parní turbínu navrhněte v původním konceptu třítělesového uspořádání se zachováním původních ložiskových vzdáleností a s třemi NT proudy s výstupem dolů do vodou chlazeného kondenzátoru.

Množství admisní páry  $m_1$  stanovte tak, aby bylo dosaženo zadaného elektrického výkonu. Nově navrhněte systém regenerace sestávající z NT ohříváků, odplynovaku s napájecí nádrží a VT ohříváků. Teplotu odplynění a napájecí vody uvažujte klouzavou v závislosti na zatížení turbíny.

Spočítejte bilanční schéma pro zadané nominální parametry. Proved'te návrh ST-NT dílu turbíny se základními konstrukčními a pevnostními výpočty a nakreslete jeho podélný řez.

Seznam odborné literatury:

Firemní podklady DOOSAN ŠKODA, Siemens

Fiedler,J.: Parní turbíny -návrh a výpočet, CERM- Brno 2004

Kadrnožka, J.: Tepelné turbíny a turbokompresory, CERM- Brno, 2007

Krbek,J. Polesný,B. Fiedler,J.: Strojní zařízení tepelných centrál, PC-DIR, 1999

Vedoucí diplomové práce: doc. Ing. Jan Fiedler, Dr.

Termín odevzdání diplomové práce je stanoven časovým plánem akademického roku 2013/2014.

V Brně, dne

L.S.

---

doc. Ing. Jiří Pospíšil, Ph.D.  
Ředitel ústavu

---

doc. Ing. Jaroslav Katolický, Ph.D.  
Děkan fakulty

## Čestné prehlásenie

Prehlasujem, že som diplomovú prácu vypracoval samostatne pod odborným vedením doc. Ing. Jana Fiedlera, Dr., Ing. Norberta Webera a Ing. Jaroslava Krejčíka a na základe uvedenej literatúry.

V Brne, dňa 26.5.2014

.....  
Bc. Richard Pavlik

## **Pod'akovanie**

Ďakujem vedúcemu diplomovej práce doc. Ing. Janovi Fiedlerovi, Dr. a konzultantom Ing. Norbertovi Weberovi a Ing. Jaroslavovi Krejčíkovi za pedagogickú a odbornú pomoc pri tvorbe tejto diplomovej práce. Ďalej by som poďakoval rodičom a priateľom za podporu behom celého vysokoškolského štúdia.

## Obsah

|       |  |    |
|-------|--|----|
| 1     | Úvod.....  | 11 |
| 2     | Základné konstrukčné prevedenie turbíny .....          | 12 |
| 3     | Tepelný výpočet.....                                   | 13 |
| 3.1   | Priebeh expanzie v turbíne .....                       | 13 |
| 3.1.1 | Priebeh expanzie vo VT diele turbíny .....             | 15 |
| 3.1.2 | Priebeh expanzie v ST-NT diele turbíny .....           | 16 |
| 3.2   | Tepelný výpočet systému regenerácie .....              | 18 |
| 3.2.1 | NTO1 .....   | 20 |
| 3.2.2 | NTO2 .....   | 21 |
| 3.2.3 | NTO3 .....   | 22 |
| 3.2.4 | NTO4 .....   | 23 |
| 3.2.5 | NTO5 .....   | 24 |
| 3.2.6 | Napájacia nádrž s odplyňovačom – NN .....              | 25 |
| 3.2.7 | VTO1 .....   | 27 |
| 3.2.8 | VTO2 .....   | 29 |
| 3.2.9 | VTO3 .....   | 30 |
| 3.3   | Tepelná bilancia systému regenerácie.....              | 31 |
| 3.4   | Výpočet množstva pary v systéme .....                  | 34 |
| 3.5   | Výpočet výkonu turbíny.....                            | 35 |
| 4     | Návrh prietocnej časti ST-NT dielu turbíny .....       | 37 |
| 4.1   | Základné parametre prietocného kanálu .....            | 38 |
| 4.1.1 | Prehľad vzorcov použitých pri výpočte .....            | 38 |
| 4.1.2 | Súhrn vypočítaných hodnôt .....                        | 41 |
| 4.1.3 | Lopatkový plán .....                                   | 44 |
| 4.1.4 | Výpočet skutočného výkonu a účinnosti ST-NT dielu..... | 44 |
| 4.2   | Výpočet rýchlostí v rýchlostných trojuholníkoch .....  | 46 |
| 4.2.1 | Prehľad vzorcov použitých pri výpočte .....            | 46 |
| 4.2.2 | Súhrn vypočítaných hodnôt .....                        | 48 |
| 4.2.3 | Grafické znázornenie rýchlostných trojuholníkov.....   | 50 |
| 4.3   | Parametre pary za lopatkovými mrežami.....             | 50 |
| 4.4   | Voľba profilov lopatiek.....                           | 53 |
| 4.4.1 | Výpočet Machového čísla.....                           | 53 |
| 4.4.2 | Určenie charakteristík lopatkovania .....              | 54 |
| 4.5   | Dĺžky lopatiek .....                                   | 58 |
| 5     | Pevnostný výpočet .....                                | 60 |
| 5.1   | Namáhanie obežných lopatiek .....                      | 60 |
| 5.1.1 | Namáhanie ohybom .....                                 | 60 |
| 5.1.2 | Namáhanie ťahom a celkové napätie.....                 | 64 |
| 5.2   | Namáhanie závesov obežných lopatiek .....              | 67 |
| 5.2.1 | Závesy typu „T <sup>c</sup> “ .....                    | 67 |
| 5.2.2 | Rozvidlené závesy .....                                | 69 |
| 5.3   | Namáhanie rozvádzacích kolies.....                     | 72 |

|       |  |    |
|-------|--|----|
| 5.4   | Namáhanie rozvádzacích lopatiek .....      | 76 |
| 6     | Upchávký.....                              | 80 |
| 6.1   | Vnútorne upchávký .....                    | 80 |
| 6.2   | Vonkajšie upchávký.....                    | 83 |
| 6.2.1 | Predné upchávký.....                       | 83 |
| 6.2.2 | Zadné upchávký.....                        | 85 |
| 7     | Skutočný výkon turbíny.....                | 88 |
| 8     | Kritické otáčky rotora ST-NT dielu.....    | 89 |
| 8.1   | Hmotnosť rotora.....                       | 89 |
| 8.2   | Kritické otáčky rotora .....               | 89 |
| 9     | Záver .....                                | 91 |
| 10    | Zoznam použitých zdrojov .....             | 93 |
| 10.1  | Literatúra.....                            | 93 |
| 10.2  | Software .....                             | 93 |
| 11    | Zoznam použitých skratiek a symbolov ..... | 94 |
| 11.1  | Skratky .....                              | 94 |
| 11.2  | Symboly .....                              | 94 |
| 11.3  | Indexy.....                                | 96 |
| 12    | Zoznam Príloh .....                        | 98 |
| 13    | Prílohy.....                               | 99 |

# 1 Úvod

Táto práca sa zaoberá modernizáciou (retrofitom) trojtelesovej kondenzačnej parnej turbíny s prihrievaním typu K300-170 o výkone 300 MW. Detailný návrh je prevedený pre kombinovaný stredotlaký a nízkotlaký diel turbíny (ST-NT). Zadané vstupné parametre sú uvedené nasledovne:

|  |                              |
|--|------------------------------|
| Elektrický výkon na svorkách generátoru:             | $P = 300 \text{ MW}$         |
| Tlak admisnej pary:                                  | $p_1 = 17 \text{ MPa}$       |
| Teplota admisnej pary:                               | $t_1 = 567 \text{ °C}$       |
| Tlaková strata medzi výstupom VT a vstupom ST časti: | $p_z = 0,4 \text{ MPa}$      |
| Teplota prihriatej pary:                             | $t_1 = 568 \text{ °C}$       |
| Teplota napájacej vody:                              | $t_{nv} \sim 270 \text{ °C}$ |
| Teplota chladiacej vody:                             | $t_{ch} = 20 \text{ °C}$     |
| Otáčky turbíny:                                      | $n = 3000 \text{ min}^{-1}$  |

Pri návrhu bude zachovaný pôvodný koncept trojtelesového usporiadania turbíny s tromi NT prúdmi s výstupom pary dolu do vodou chladeného kondenzátora, pri dodržaní pôvodnej ložiskovej vzdialenosti. Regulácia turbíny je škrtiaca s kĺzavým tlakom.

V prvej časti práce bude uvedený tepelný výpočet, pozostávajúci z určenia parametrov v bodoch bilančnej schémy a z návrhu systému regenerácie. Systém regenerácie je tvorený nízkotlakými ohrievačmi, napájacou nádržou s odplyňovačom a vysokotlakými ohrievačmi. Teplota napájacej vody a odplynienia bude uvažovaná kĺzavá v závislosti na zaťažení turbíny. Tepelným výpočtom bude stanovené množstvo admisnej pary potrebné pre dosiahnutie zadaného elektrického výkonu.

V druhej časti bude navrhnutý prietochý kanál ST-NT dielu turbíny s prihliadaním na čo najvyššiu účinnosť jednotlivých stupňov a zachovanie plynulého prúdu pary. Bude stanovený počet stupňov a základné parametre ako päťné priemery, optimálne rýchlostné pomery a dĺžky rozvádzacích a obežných lopatiek. Vhodne budú taktiež zvolené profily jednotlivých lopatkových mreží.

V poslednej časti práce budú z pevnostného hľadiska skontrolované obežné lopatky a ich závesy, rozvádzacie kolesá a rozvádzacie lopatky. Na základe poklesu výkonu únikom pary upchávkami bude následne stanovený skutočný výkon turbíny.

Návrh ST-NT dielu je súčasťou práce „Modernizace parní turbíny 300 MW“. Z dôvodu spresnenia výpočtu budú niektoré hodnoty brané z práce „Modernizace VT dílu parní turbíny 300 MW“, ktorá bola vypracovaná zároveň s touto prácou.

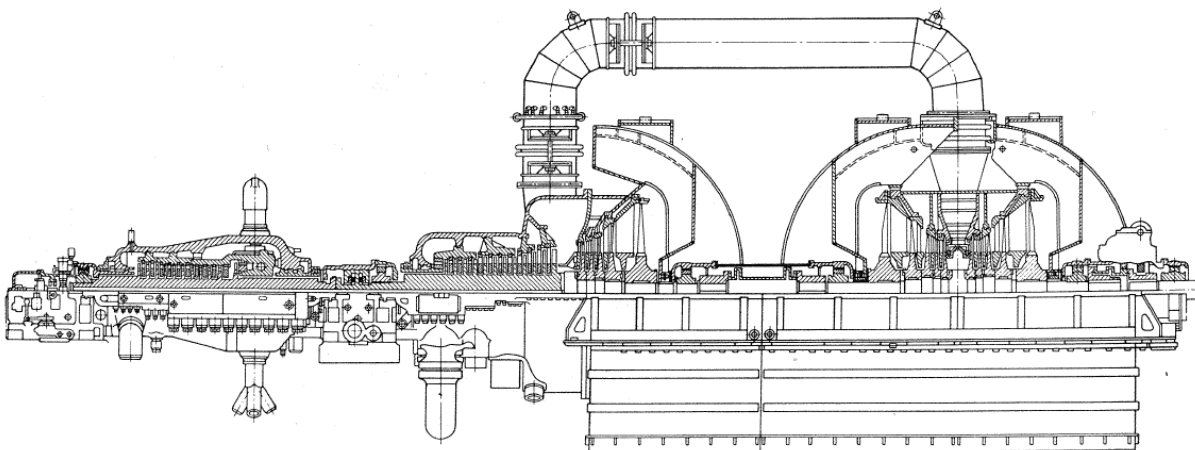
## 2 Základné konštrukčné prevedenie turbíny

Modernizovaná parná turbína bude umiestnená na pôvodnom betónovom základe. Turbína je trojtelesová, kondenzačná s prihrievaním a s ôsmimi neregulovanými regeneračnými odbermi. Skladá sa z VT dielu, kombinovaného ST-NT dielu a dvojprúdového NT dielu mostovej konštrukcie. Turbína má tri NT prúdy, pričom dva posledné stupne lopatkovania sú modulové stupne M5 (pätný priemer 1755 a 1730 mm). Z priestoru medzi ST a NT časťou kombinovaného ST-NT dielu sú 2/3 pary vyvedené dvoma parovodmi do dvojprúdového NT dielu.

Pracovné otáčky turbíny sú  $3000 \text{ min}^{-1}$ . Admisná para vstupuje do turbíny cez dva vysokotlaké rýchlozáverné regulačné ventilové bloky umiestnené vedľa VT dielu. Oba bloky obsahujú jeden rýchlozáverný a dva regulačné ventily. Regulácia turbíny je škrtiaca s kĺzavým tlakom. Do ST dielu prúdi prihriata para cez dva stredotlaké záchytné ventilové bloky, ktoré pozostávajú z jedného záchytného a jedného rýchlozáverného ventilu. Bloky sú uložené vedľa ST dielu.

Prietočná časť VT dielu turbíny je tvorená A kolesom a 13 kolesovými stupňami. Prietočná časť ST-NT dielu je tvorená 9 kolesovými stupňami v ST časti a 4 kolesovými stupňami v NT časti. V NT diele tvoria prietočnú časť dva prúdy so 4 stupňami.

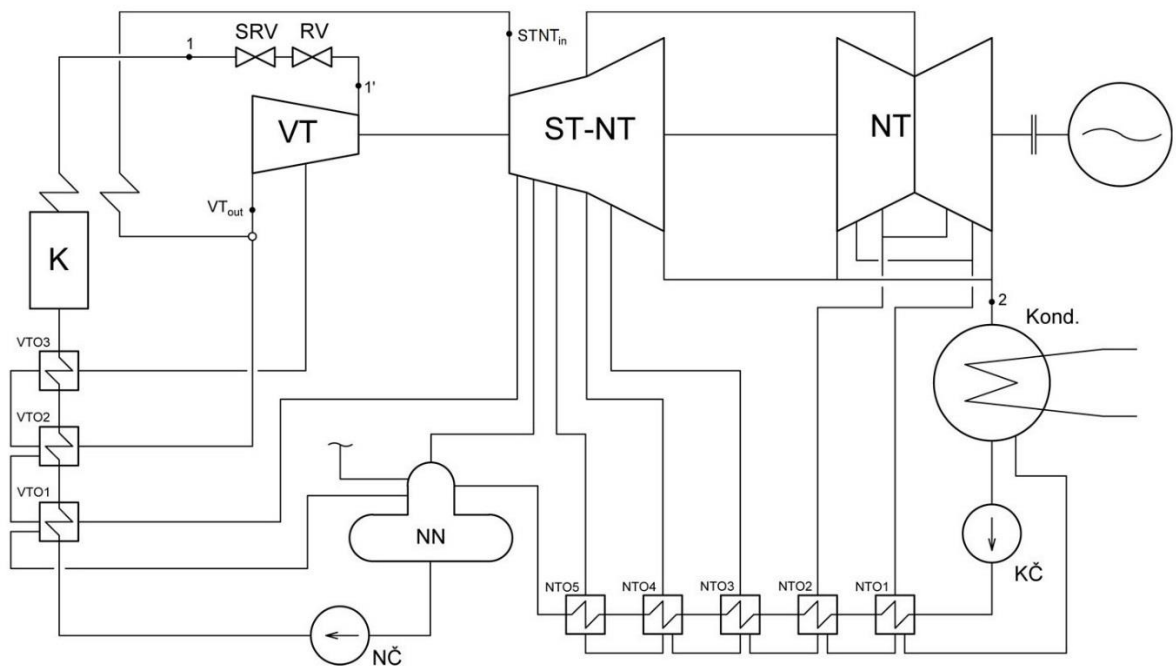
Rotor VT dielu je celokovaný a je uložený letmo. Rotor ST-NT dielu je zváraný na dvoch miestach: jeden zvar medzi ST a NT časťou, druhý na privarenie posledného disku s čapom u NT časti. Rotor NT dielu je taktiež zváraný (3 zvary). Medzi ST-NT a NT dielom je použitá mostová konštrukcia a ložiská sú uložené vo vaniach. [8]



Obr. 2.1: Konštrukčné prevedenie turbíny K300-170. [5]

### 3 Tepelný výpočet

Tepelný výpočet pozostáva z určenia parametrov v jednotlivých bodoch bilančnej schémy, ktorá predstavuje modifikáciu Rankin-Clausiovoho parného cyklu charakteristického pre daný systém. Tento cyklus znázorňuje príklad premeny tepla na mechanickú energiu, typický pre parné turbíny. Skladá sa z izobarického ohrevu vody na teplotu varu, z vyparovania vody a prehrievaniu na pracovnú teplotu a následnej expanzie pary v turbíne. Po čiastočnej expanzii dochádza k prihrievaniu pary, z dôvodu zvýšenia účinnosti cyklu. Cyklus je ukončený kondenzáciou pary a ohrevom napájajúcej vody v systéme regenerácie.

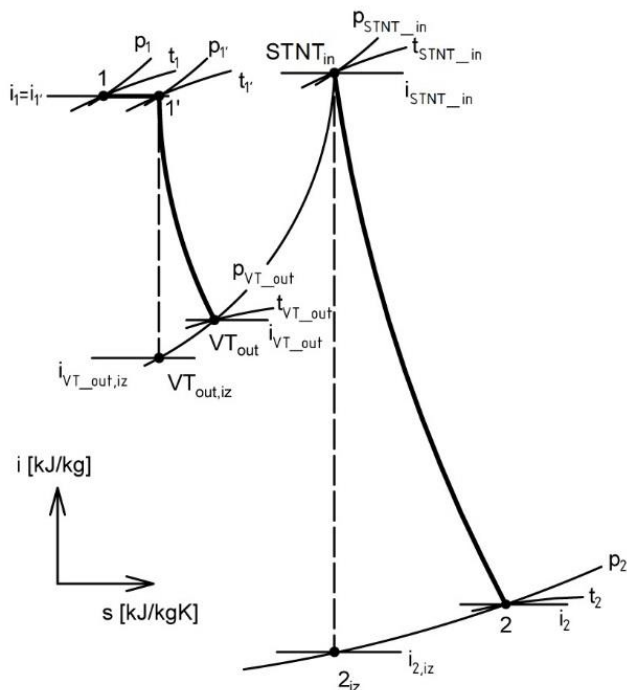


Obr. 3.1: Schematické znázornenie systému, v ktorom turbína pracuje.

Výpočet prebiehal v programe Microsoft Excel 2013 s doplnkom X Steam v2.6, na určenie jednotlivých parametrov pary, resp. vody.

#### 3.1 Priebeh expanzie v turbíne

Pre predbežné znázornenie expanzie v turbíne bude vytvorená zjednodušená expanzná čiara turbíny. Expanzná čiara vychádza z hodnôt parametrov pary na prírupe spúšťacieho rýchlozáverného ventilu (SRV) a teploty chladiacej vody poskytnutých v zadani DP. Zohľadnený je taktiež vplyv škrtenia (izoentalpický dej) pri prúdení pary cez SRV a regulačné ventily (RV), pričom dochádza k vzniku strát a tým pádom k poklesu parametrov pary pred vstupom do turbíny. Expanzná čiara bude rozdelená na priebeh expanzie zvlášť vo VT diele a ST-NT diele, z dôvodu prihrievania pary.



Obr. 3.2: Zjednodušená expanzná čiara.

Parametre pary na prírube SRV:

tlak:  $p_1 = 17 \text{ MPa (170 bar)}$  (3.1)

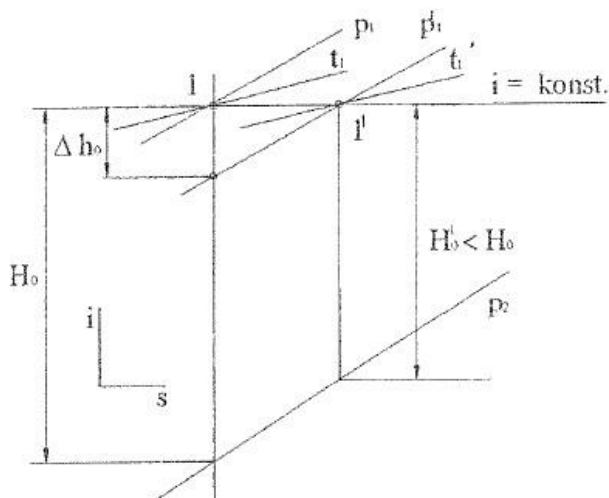
teplota:  $t_1 = 567 \text{ °C}$  (3.2)

entalpia:  $i_1 = f(p_1; t_1) = 3476,3359 \text{ kJ/kg}$  (3.3)

entropia:  $s_1 = f(p_1; t_1) = 6,5019 \text{ kJ/kgK}$  (3.4)

Tlaková strata v plne otvorenom SRV a RV sa určí nepriamo odhadom poklesu entalpie pary  $\Delta h_0$ , pričom sa pôvodný stav pary (bod 1) posunie do bodu 1' (obr. 3.3). [1]

pokles entalpie pary:  $\Delta h_0 = 8 \text{ kJ/kg}$  (3.5)



Obr. 3.3: Vplyv škrtenia pary v SRV a RV. [1]

### 3.1.1 Priebeh expanzie vo VT diele turbíny

Parametre pary na vstupe do VT dielu turbíny:

$$\text{tlak:} \quad p_1' = f(i_1 - \Delta h_0; s_0) = 166,1468 \text{ bar} \quad (3.6)$$

$$\text{teplota:} \quad t_1' = f(p_1'; i_1) = 565,5969 \text{ }^\circ\text{C} \quad (3.7)$$

$$\text{entalpia:} \quad i_1' = i_1 \quad (3.8)$$

$$\text{entropia:} \quad s_1' = f(p_1'; i_1') = 6,5115 \text{ kJ/kgK} \quad (3.9)$$

Parametre pary na výstupe z VT dielu sú v tejto fáze výpočtu neznáme. Zo zadania práce je známa hodnota tlakovej straty medzi výstupom VT dielu a vstupom ST-NT dielu 0,4 MPa, resp. 4 bar. Keďže sa však jedná o modernizáciu turbíny, musí byť dodržaný tlak prihratej pary, ktorý bol vopred optimalizovaný. Po konzultácii so spoločnosťou DŠP bol tlak prihratej pary odhadnutý na 4 MPa, čomu odpovedá tlak na výstupe z VT dielu po pričítaní tlakovej straty 4,4 MPa, resp. 44 bar. Táto hodnota bude následne spresnená po určení skutočného tlaku na výstupe z VT dielu pri výpočte prietocnej časti turbíny (hodnota určená v práci „Modernizace VT dílu parní turbíny 300 MW“).

Parametre pary na výstupe z VT dielu pri izoentropickej expanzii (bez strát):

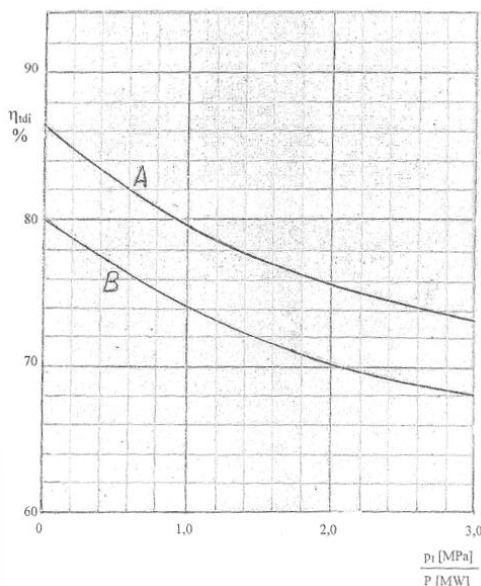
$$\text{tlak:} \quad p_{VT\_out,iz} = 44,7289 \text{ bar} \quad (3.10)$$

- upravená hodnota po iterácii

$$\text{entropia:} \quad s_{VT\_out,iz} = 6,5115 \text{ kJ/kgK} \quad (3.11)$$

$$\text{entalpia:} \quad i_{VT\_out,iz} = f(p_{VT\_out,iz}; s_{VT\_out,iz}) = 3077,5339 \text{ kJ/kg} \quad (3.12)$$

Z vypočítaného tlaku na výstupe z VT dielu turbíny je následne možné určiť izoentropický spád a odhadnutím vnútornej termodynamickkej účinnosti turbíny (obr. 3.4) skutočný entalpický spád a parametre pary pri expanzii s uvažovaním strát.



*Krivka A platí pre dvojtelesové a bohato vyložené turbíny;*  
*krivka B pre lacnejšie turbíny s Curtisovým stupňom.*

$$\frac{p_1 [\text{MPa}]}{P [\text{MW}]} = \frac{17}{300} = 0,0567$$

Odhadnutá  $\eta_{tdi} = 86 \%$

- začiatková hodnota pre  
iteračný výpočet

Obr. 3.4: Závislosť vnútornej termodynamickkej účinnosti na pomere vstupného tlaku pary a výkonu. [1]

$$\text{vnút. termod. úč. VT dielu:} \quad \eta_{tdi} = 88,71\% \quad (3.13)$$

- upravená hodnota po iterácii

izoentropický spád:  $H_{VT,iz} = i_1' - i_{VT\_out,iz} = 398,8020 \text{ kJ/kg}$  (3.14)

skutočný spád:  $H_{VT} = H_{VT,iz} \cdot \eta_{tdi} = 353,7772 \text{ kJ/kg}$  (3.15)

Parametre pary na výstupe z VT dielu turbíny:

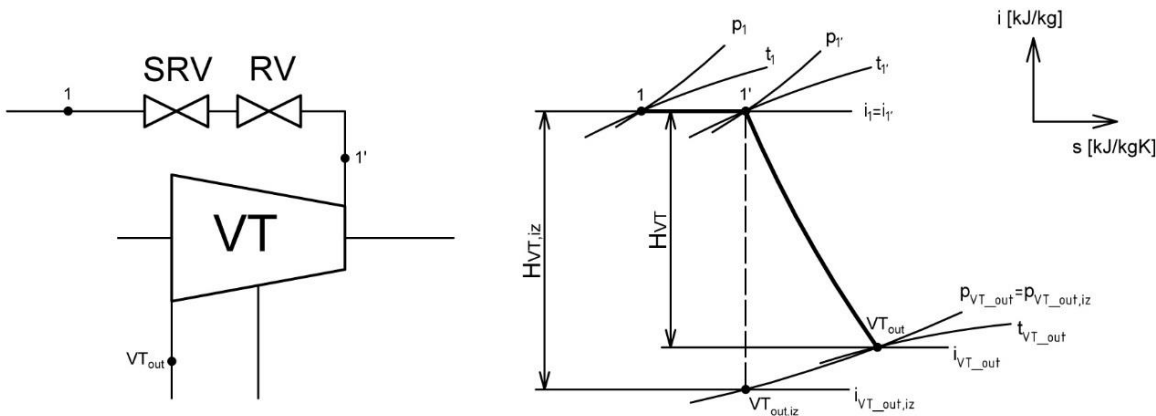
entalpia:  $i_{VT\_out} = i_1' - H_{VT} = 3122,5586 \text{ kJ/kg}$  (3.16)

tlak:  $p_{VT\_out} = p_{VT\_out,iz} = 44,7289 \text{ bar}$  (3.17)  
- upravená hodnota po iterácii

teplota:  $t_{VT\_out} = f(p_{VT\_out}; i_{VT\_out}) = 365,9464 \text{ kJ/kgK}$  (3.18)

entropia:  $s_{VT\_out} = f(p_{VT\_out}; i_{VT\_out}) = 6,5830 \text{ kJ/kgK}$  (3.19)

merný objem:  $v_{VT\_out} = f(p_{VT\_out}; i_{VT\_out}) = 0,0609 \text{ m}^3/\text{kg}$  (3.20)



Obr. 3.5: Zjednodušená expanzná čiara VT dielu turbíny.

### 3.1.2 Priebeh expanzie v ST-NT dielu turbíny

Do ST-NT dielu turbíny vstupuje para po prihrievaní v kotli. Tlak na vstupe je oproti výstupu z VT dielu znížený o tlakové straty  $p_z = 4 \text{ bar}$ . Teplota na vstupe je daná zo zadania práce.

Parametre pary na vstupe do ST-NT dielu turbíny:

tlak:  $p_{STNT\_in} = p_{VT\_out,iz} - p_z = 40,7289 \text{ bar}$  (3.21)  
- upravená hodnota po iterácii

teplota:  $t_{STNT\_in} = 568 \text{ }^\circ\text{C}$  (3.22)

entalpia:  $i_{STNT\_in} = f(p_{STNT\_in}; t_{STNT\_in}) = 3600,7835 \text{ kJ/kg}$  (3.23)

entropia:  $s_{STNT\_in} = f(p_{STNT\_in}; t_{STNT\_in}) = 7,2759 \text{ kJ/kgK}$  (3.24)

merný objem:  $v_{STNT\_in} = f(p_{STNT\_in}; t_{STNT\_in}) = 0,0932 \text{ m}^3/\text{kg}$  (3.25)

suchosť:  $x_{STNT\_in} = f(p_{STNT\_in}; s_{STNT\_in}) = 1$  (3.26)

Tlak pary na výstupe z kondenzačnej turbíny je závislý predovšetkým na priemernej teplote vody pre chladenie kondenzátoru  $t_{v1}$ . Rozdiel teplôt  $t_{v2} - t_{v1}$  potom predstavuje ohriatie chladiacej vody v kondenzátore. Táto hodnota sa volí v závislosti na type kondenzátora, v tomto prípade bol zvolený rozdiel  $10^\circ\text{C}$ .

Teplota  $t_k$ , která vyjadruje teplotu kondenzácie pary v kondenzátore sa vypočíta zo vzťahu

$$t_k = t_{v2} + \delta_{tk}, \quad (3.27)$$

kde  $t_{v2}$  je teplota chladiacej vody na výstupe z kondenzátora;  
 $\delta_{tk}$  je koncový teplotný rozdiel.

Teplota  $t_k$  potom odpovedá tlak na medzi sýtosti  $p_k$ , ktorý zároveň vyjadruje tlak v kondenzátore.

Z uvedených závislostí boli vypočítané nasledujúce hodnoty:

teplota chl. vody na vstupe do kondenzátora:  $t_{v1} = 20 \text{ }^\circ\text{C};$  (3.28)

teplota chl. vody na výstupe z kondenzátora:  $t_{v2} = 30 \text{ }^\circ\text{C};$  (3.29)

koncový teplotný rozdiel:  $\delta_{tk} = 3 \text{ }^\circ\text{C};$  (3.30)

teplota kondenzácie pary:  $t_k = 33 \text{ }^\circ\text{C};$  (3.31)

tlak v kondenzátore:  $p_k = f(t_k; x=0) = 0,0504 \text{ bar}$  (3.32)

Tlak na výstupe z turbíny je od tlaku v kondenzátore vyšší o tlakovú stratu výstupnej časti turbíny

$$p_2 = p_k + \Delta p \quad (3.33)$$

Tlakovú stratu výstupnej časti turbíny je možné určiť zo vzťahu

$$\Delta p = \zeta \left( \frac{c}{100} \right)^2 p_k, \quad (3.34)$$

kde  $c$  je rýchlosť pary v hrdle kondenzátora (zvolené 100 m/s z intervalu 80 – 120 m/s);  
 $\zeta = 0,075$  (zvolené z intervalu 0,05 – 0,1).

vnút. termod. úč. ST-NT dielu:  $\eta_{tdi} = 88,95\%$  (3.35)

- *upravená hodnota po iterácii*

tlaková strata výstupnej časti:  $\Delta p = 0,0038 \text{ bar}$  (3.36)

Parametre pary na výstupe z ST-NT dielu turbíny pri expanzii bez strát:

tlak:  $p_{2,iz} = p_2 = 0,0541 \text{ bar}$  (3.37)

entropia:  $s_{2,iz} = s_{STNT\_in} = 7,2759 \text{ kJ/kgK}$  (3.38)

entalpia:  $i_{2,iz} = f(p_2; s_1') = 2228,2486 \text{ kJ/kg}$  (3.39)

izoentropický spád:  $H_{STNT,iz} = i_{STNT\_in} - i_{2,iz} = 1372,5349 \text{ kJ/kg}$  (3.40)

skutočný spád:  $H_{STNT} = H_{STNT,iz} \cdot \eta_{tdi} = 1220,8698 \text{ kJ/kg}$  (3.41)

Parametre pary na výstupe z ST-NT dielu turbíny:

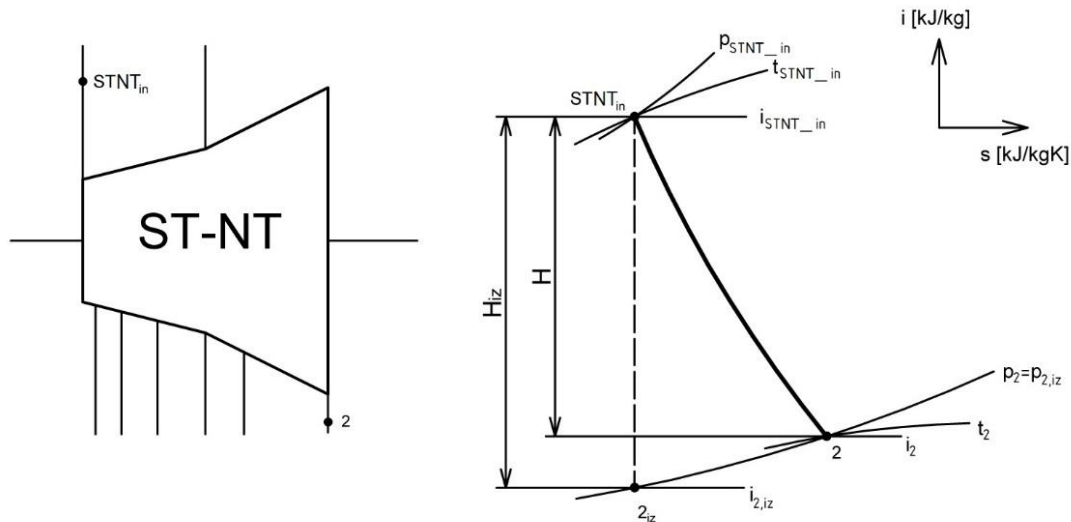
tlak:  $p_2 = 0,0541 \text{ bar}$  (3.42)

entalpia:  $i_2 = i_{STNT\_in} - H = 2379,9137 \text{ kJ/kg}$  (3.43)

entropia:  $s_2 = f(p_2; i_2) = 7,7692 \text{ kJ/kgK}$  (3.44)

teplota:  $t_2 = f(p_2; i_2) = 34,2946 \text{ } ^\circ\text{C}$  (3.45)

merný objem:  $v_2 = f(p_2; i_2) = 24,1724 \text{ m}^3/\text{kg}$  (3.46)



Obr. 3.6: Zjednodušená expanzná čiara ST-NT dielu turbíny.

### 3.2 Tepelný výpočet systému regenerácie

Systém regenerácie slúži k zvýšeniu teploty napájacej vody vstupujúcej do kotla a tým zvyšuje tepelnú účinnosť celého procesu. Oproti turbíne bez regenerácie takto prúdi na turbínu približne až o 30% väčšie množstvo pary, čím sa dosiahne predĺženie lopatiek VT dielu turbíny a zvýšenie ich termodynamickkej účinnosti. Dĺžky lopatiek posledných stupňov sú naopak menšie, kvôli odberom bary z turbíny. [2]

Systém regenerácie sa skladá z piatich nízkotlakých ohrievačov (NTO), napájacej nádrže (NN) s odplyňovačom a troch vysokotlakých ohrievačov (VTO). Dva vysokotlaké ohrievače sú zásobované parou z neregulovaných odberov VT telesa turbíny, následne jeden vysokotlaký ohrievač, napájacia nádrž a tri nízkotlaké ohrievače sú zásobované neregulovanými odbermi ST-NT telesa turbíny a nakoniec dva nízkotlaké ohrievače neregulovanými odbermi NT telesa turbíny. Napájacia voda (kondenzát) je týmto spôsobom postupne ohrievaná z teploty za kondenzátnym čerpadlom  $t_k$  na teplotu napájacej vody  $t_{nv}$  vstupujúcej do kotla (uvedená v zadaní DP).

V celom systéme regenerácie je kondenzát odberovej pary kaskádovaný vplyvom tlakového spádu z posledného vysokotlakého ohrievača do napájacej nádrže a z posledného nízkotlakého ohrievača do kondenzátoru. Množstvo napájacej vody pretekajúcej jednotlivými vysokotlakými ohrievačmi je teda konštantné, pričom to isté platí aj pre nízkotlaké ohrievače. Spôsob odvodu kondenzátu odberovej pary priamo ovplyvňuje voľbu rozdelenia celkového ohriatia napájacej vody  $t_{nv} - t_k$  na jednotlivé ohrievače.

Pre dosiahnutie maximálneho zvýšenia tepelnej účinnosti obehu je volený konštantný pomer absolútnych teplôt pred a za jednotlivými ohrievačmi.

$$m = \frac{t_{nv}}{t_{k\_VTO1\_out}} = \frac{t_{k\_VTO1\_out}}{t_{k\_VTO1\_in}} = \dots = \frac{t_{k\_NTO1\_out}}{t_{k\_NTO1\_in}} = \frac{t_{k\_NTO1\_out}}{t_k} = konst. \quad (3.47)$$

Tento pomer sa vypočíta nasledovne

$$m = z \sqrt[9]{\frac{t_{nv}}{t_k}} = \sqrt[9]{\frac{270}{33}} = 1,2866, \quad (3.48)$$

kde  $z$  je celkový počet ohrievačov (veľkosť ohriatia v napájacej nádrži sa uvažuje rovnocenné k ostatným ohrievačom).

|                    |                    |                    |                    |                    |
|--------------------|--------------------|--------------------|--------------------|--------------------|
| <b>m = 1,2866</b>  | $t_{k\_VTO2\_out}$ | $t_{k\_VTO2\_in}$  | $t_{k\_NN\_out}$   | $t_{k\_NN\_in}$    |
| $t_{k\_VTO3\_out}$ | $t_{k\_VTO3\_in}$  | $t_{k\_VTO1\_out}$ | $t_{k\_VTO1\_in}$  | $t_{k\_NTO5\_out}$ |
| 270,0000 °C        | 247,8000 °C        | 192,5985 °C        | 149,6940 °C        | 116,3472 °C        |
| $t_{k\_NTO4\_out}$ | $t_{k\_NTO4\_in}$  | $t_{k\_NTO2\_out}$ | $t_{k\_NTO2\_in}$  |                    |
| $t_{k\_NTO5\_in}$  | $t_{k\_NTO3\_out}$ | $t_{k\_NTO3\_in}$  | $t_{k\_NTO1\_out}$ | $t_{k\_NTO1\_in}$  |
| 90,4290 °C         | 70,2844 °C         | 54,6274 °C         | 42,4583 °C         | 33,0000 °C         |

Tab. 3.1: Návrh jednotlivých teplôt v systéme regenerácie.

Uvedené teploty regenerácie slúžia ako začiatková hodnota pre tepelný výpočet. Celý výpočet bude prevedený iteračne, tzn. jednotlivé hodnoty budú následne upravené po stanovení skutočných parametrov odberov pri návrhu prietochnej časti turbíny (kap. 4.1). Tento postup je dôležitý pre dosiahnutie čo najväčšej presnosti výpočtu.

|                    |                    |                    |                    |                    |
|--------------------|--------------------|--------------------|--------------------|--------------------|
| <b>m = 1,2866</b>  | $t_{k\_VTO2\_out}$ | $t_{k\_VTO2\_in}$  | $t_{k\_NN\_out}$   | $t_{k\_NN\_in}$    |
| $t_{k\_VTO3\_out}$ | $t_{k\_VTO3\_in}$  | $t_{k\_VTO1\_out}$ | $t_{k\_VTO1\_in}$  | $t_{k\_NTO5\_out}$ |
| 270,0000 °C        | 247,8000 °C        | 197,0000 °C        | 161,0000 °C        | 143,5000 °C        |
| $t_{k\_NTO4\_out}$ | $t_{k\_NTO4\_in}$  | $t_{k\_NTO2\_out}$ | $t_{k\_NTO2\_in}$  |                    |
| $t_{k\_NTO5\_in}$  | $t_{k\_NTO3\_out}$ | $t_{k\_NTO3\_in}$  | $t_{k\_NTO1\_out}$ | $t_{k\_NTO1\_in}$  |
| 128,5000 °C        | 103,0000 °C        | 54,5000 °C         | 42,5000 °C         | 33,0000 °C         |

Tab. 3.2: Upravené hodnoty jednotlivých teplôt v systéme regenerácie po iteračnom výpočte.

Výpočet parametrov odberovej pary začína stanovením tlaku a entalpie za kondenzátnym a napájacím čerpadlom. Tlak pred napájacím čerpadlom (NČ) odpovedá tlaku v napájacej nádrži, tlak za NČ odpovedá tlaku pary na vstupe do turbíny navýšenému o tlakové straty vo vysokotlakých ohrievačoch, v kotli a v potrubnej trase na turbínu. Vzťah na výpočet tlaku za napájacím čerpadlom bol poskytnutý spoločnosťou DŠP.

teplota v NN:  $t_{NN} = 161 \text{ °C}$  (3.49)  
- upravená hodnota po iterácii

tlak v NN:  $p_{NN} = f(t_{NN}; x=0) = 6,3402 \text{ bar}$  (3.50)

entalpia v NN:  $i_{NN} = f(t_{NN}; x=0) = 679,9233 \text{ kJ/kg}$  (3.51)

tlak za NČ:  $p_{NČ} = 1,25 \cdot p_I + 12 = 1,25 \cdot 170 + 12 = 224,5 \text{ bar}$  (3.52)

teplota za NČ:  $t_{NČ} = t_{k\_NN\_out} + 2 = 163 \text{ °C}$  (3.53)  
- upravená hodnota po iterácii; navýšenie o 2 °C, kvôli ohriatiu kondenzátu v NČ

entalpia za NČ:  $i_{NČ} = f(p_{NČ}; t_{NČ}) = 701,4622 \text{ kJ/kg}$  (3.54)

Tlak pred kondenzátnym čerpadlom (KČ) odpovedá tlaku v kondenzátore  $p_k$ , tlak za KČ odpovedá tlaku v napájacej nádrži navýšenému o tlakové straty v nízkotlakých ohrievačoch, volené po konzultácii 5 bar.

tlak pred KČ:  $p_{KČ\_in} = p_k = 0,0504 \text{ bar}$  (3.55)

teplota pred KČ:  $t_{KČ\_in} = t_k = t_{k\_NTO1\_in} = 33 \text{ °C}$  (3.56)

entalpia pred KČ:  $i_{KČ\_in} = f(p_{KČ\_in}; x=0) = 138,2855 \text{ kJ/kg}$  (3.57)

tlak za KČ:  $p_{KČ} = p_{NN} + 5 = 11,3402 \text{ bar}$  (3.58)

teplota za KČ:  $t_{KČ} = t_k = t_{k\_NTO1\_in} = 33 \text{ °C}$  (3.59)

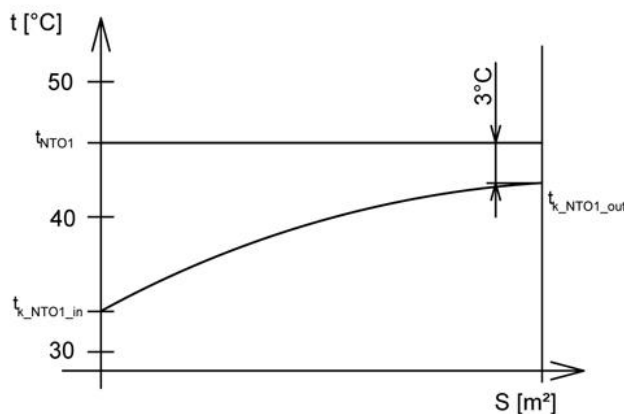
- ohriatie kondenzátu v KČ je zanedbateľné

entalpia za KČ:  $i_{KČ} = f(p_{KČ}; t_{KČ}) = 139,3060 \text{ kJ/kg}$  (3.60)

### 3.2.1 NTO1

Všetky nízkotlaké ohrievače systému regenerácie sú konštruované ako povrchové tepelné výmenníky, pričom para na medzi sýtosti prúdi do výmenníku kde kondenzuje a odovzdáva teplo napájacej vode.

Výpočet vychádza z teplôt regenerácie určených v kapitole 3.2. Stanovením koncového teplotného rozdielu, znázorneného na obr. 3.7, je možné približne odhadnúť rozdiel medzi teplotou privedenej sýtej pary a teplotou napájacej vody na výstupe z daného výmenníku. Tlak, ktorý odpovedá pare na medzi sýtosti je následne navýšený o tlakové straty v prívodnom potrubí z odberu, čím je daný skutočný tlak pary v odbere z turbíny. Takto stanovený tlak pary je smerodajný pri umiestňovaní odberu v prietocnej časti turbíny.



Obr. 3.7: Priebeh teplôt v NTO1.

Teplota kondenzátu na vstupe:  
 $t_{k\_NTO1\_in} = 33 \text{ °C}$  (3.61)

Tlak kondenzátu:  
 $p_{k\_NTO1} = p_{KČ} = 11,3402 \text{ bar}$  (3.62)

Entalpia kondenzátu na vstupe:  
 $i_{k\_NTO1\_in} = 139,3060 \text{ kJ/kg}$  (3.63)

Teplota kondenzátu na výstupe:  
 $t_{k\_NTO1\_out} = 42,5 \text{ °C}$  - upravená hodnota po iterácii (3.64)

Entalpia kondenzátu na výstupe:

$$i_{k\_NTO1\_out} = f(t_{k\_NTO1\_out}; x=0) = 177,9889 \text{ kJ/kg} \quad (3.65)$$

Koncový teplotný rozdiel:

$$\delta_{NTO1} = 3 \text{ } ^\circ\text{C} \quad (3.66)$$

Teplota odberovej pary na medzi sýtosti:

$$t_{NTO1} = t_{k\_NTO1\_out} + \delta_{NTO1} = 45,5 \text{ } ^\circ\text{C} \quad (3.67)$$

Tlak odberovej pary na medzi sýtosti:

$$p_{NTO1} = f(t_{NTO1}; x=1) = 0,0984 \text{ bar} \quad (3.68)$$

Entalpia kondenzátu odberovej pary:

$$i'_{NTO1} = f(t_{NTO1}; x=0) = 190,5269 \text{ kJ/kg} \quad (3.69)$$

Tlaková strata v odbernom potrubí:

$$\Delta p_{NTO1} = 9 \% \quad (3.70)$$

Tlak pary v mieste odberu:

$$p'_{NTO1} = (1+0,09) \cdot p_{NTO1} = 0,1073 \text{ bar} \quad (3.71)$$

Iz. entalpia v mieste odberu:

$$i'_{NTO1,iz} = f(p'_{NTO1}; s_{ST\_in}) = 2314,5897 \text{ kJ/kg} \quad (3.72)$$

Iz. entalpický spád k miestu odberu:

$$H_{NTO1,iz} = i_{ST\_in} - i'_{NTO1,iz} = 1286,1938 \text{ kJ/kg} \quad (3.73)$$

Entalpický spád k miestu odberu:

$$H_{NTO1} = H_{NTO1,iz} \cdot \eta_{tdi} = 1144,0694 \text{ kJ/kg} \quad (3.74)$$

- uvažovaná účinnosť odpovedá vnút. termodyn. účinnosti ST-NT dielu

Entalpia pary v mieste odberu:

$$i'_{NTO1} = i_{ST\_in} - H_{NTO1} = 2456,7141 \text{ kJ/kg} \quad (3.75)$$

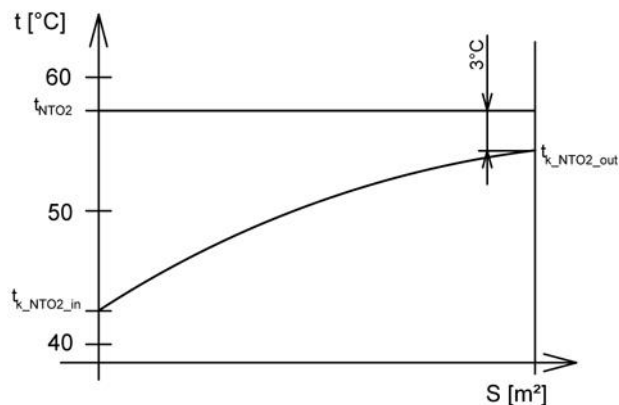
Teplota pary v mieste odberu:

$$t'_{NTO1} = f(p'_{NTO1}; i'_{NTO1}) = 47,1921 \text{ } ^\circ\text{C} \quad (3.76)$$

Merný objem pary v mieste odberu:

$$v'_{NTO1} = f(p'_{NTO1}; i'_{NTO1}) = 12,9849 \text{ m}^3/\text{kg} \quad (3.77)$$

### 3.2.2 NTO2



Obr. 3.8: Priebeh teplôt v NTO2.

Teplota kondenzátu na vstupe:

$$t_{k\_NTO2\_in} = 42,5 \text{ } ^\circ\text{C} \quad (3.78)$$

Entalpia kondenzátu na vstupe:

$$i_{k\_NTO2\_in} = i_{k\_NTO1\_out} = 177,9889 \text{ kJ/kg} \quad (3.79)$$

Teplota kondenzátu na výstupe:

$$t_{k\_NTO2\_out} = 54,5 \text{ } ^\circ\text{C} \quad \text{- upravená hodnota po iterácii} \quad (3.80)$$

Entalpia kondenzátu na výstupe:

$$i_{k\_NTO2\_out} = f(t_{k\_NTO2\_out}; x=0) = 228,1502 \text{ kJ/kg} \quad (3.81)$$

Koncový teplotný rozdiel:

$$\delta_{NTO2} = 3 \text{ } ^\circ\text{C} \quad (3.82)$$

Teplota odberovej pary na medzi sýtosti:

$$t_{NTO2} = t_{k\_NTO2\_out} + \delta_{NTO2} = 57,5 \text{ } ^\circ\text{C} \quad (3.83)$$

Tlak odberovej pary na medzi sýtosti:

$$p_{NTO2} = f(t_{NTO2}; x=1) = 0,1775 \text{ bar} \quad (3.84)$$

Entalpia kondenzátu odberovej pary:

$$i'_{NTO2} = f(t_{NTO2}; x=0) = 240,6965 \text{ kJ/kg} \quad (3.85)$$

Tlaková strata v odbernom potrubí:

$$\Delta p_{NTO2} = 9 \text{ \%} \quad (3.86)$$

Tlak pary v mieste odberu:

$$p'_{NTO2} = (1+0,09) \cdot p_{NTO2} = 0,1935 \text{ bar} \quad (3.87)$$

Iz. entalpia v mieste odberu:

$$i'_{NTO2,iz} = f(p'_{NTO2}; s_{ST\_in}) = 2393,9439 \text{ kJ/kg} \quad (3.88)$$

Iz. entalpický spád k miestu odberu:

$$H_{NTO2,iz} = i_{ST\_in} - i'_{NTO2,iz} = 1206,8396 \text{ kJ/kg} \quad (3.89)$$

Entalpický spád k miestu odberu:

$$H_{NTO2} = H_{NTO2,iz} \cdot \eta_{tdi} = 1073,4838 \text{ kJ/kg} \quad (3.90)$$

- uvažovaná účinnosť odpovedá vnút. termodyn. účinnosti ST-NT dielu

Entalpia pary v mieste odberu:

$$i'_{NTO2} = i_{ST\_in} - H_{NTO2} = 2527,2997 \text{ kJ/kg} \quad (3.91)$$

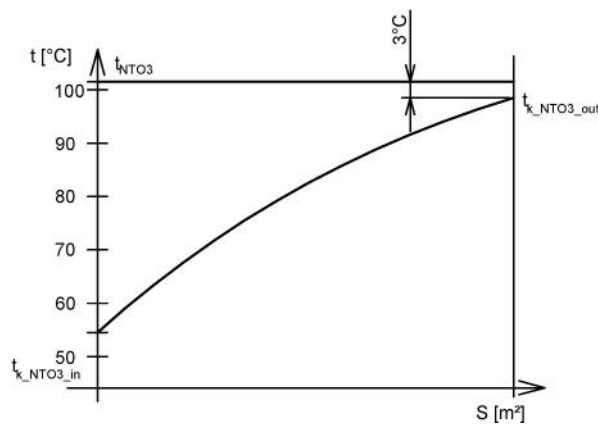
Teplota pary v mieste odberu:

$$t'_{NTO2} = f(p'_{NTO2}; i'_{NTO2}) = 59,3418 \text{ } ^\circ\text{C} \quad (3.92)$$

Merný objem pary v mieste odberu:

$$v'_{NTO2} = f(p'_{NTO2}; i'_{NTO2}) = 7,6217 \text{ m}^3/\text{kg} \quad (3.93)$$

### 3.2.3 NTO3



Obr. 3.9: Priebeh teplôt v NTO3.

Teplota kondenzátu na vstupe:

$$t_{k\_NTO3\_in} = 54,5 \text{ } ^\circ\text{C} \quad (3.94)$$

Entalpia kondenzátu na vstupe:

$$i_{k\_NTO3\_in} = i_{k\_NTO2\_out} = 228,1502 \text{ kJ/kg} \quad (3.95)$$

Teplota kondenzátu na výstupu:

$$t_{k\_NTO3\_out} = 103 \text{ °C} \quad - \text{ upravená hodnota po iterácii} \quad (3.96)$$

Entalpia kondenzátu na výstupu:

$$i_{k\_NTO3\_out} = f(t_{k\_NTO3\_out}; x=0) = 431,7634 \text{ kJ/kg} \quad (3.97)$$

Koncový teplotný rozdiel:

$$\delta_{NTO3} = 3 \text{ °C} \quad (3.98)$$

Teplota odberovej pary na medzi sýtosti:

$$t_{NTO3} = t_{k\_NTO3\_out} + \delta_{NTO3} = 106 \text{ °C} \quad (3.99)$$

Tlak odberovej pary na medzi sýtosti:

$$p_{NTO3} = f(t_{NTO3}; x=1) = 1,2515 \text{ bar} \quad (3.100)$$

Entalpia kondenzátu odberovej pary:

$$i'_{NTO3} = f(t_{NTO3}; x=0) = 444,4402 \text{ kJ/kg} \quad (3.101)$$

Tlaková strata v odbernom potrubí:

$$\Delta p_{NTO3} = 9 \% \quad (3.102)$$

Tlak pary v mieste odberu:

$$p'_{NTO3} = (1+0,09) \cdot p_{NTO3} = 1,3641 \text{ bar} \quad (3.103)$$

Iz. entalpia v mieste odberu:

$$i'_{NTO3,iz} = f(p'_{NTO3}; s_{ST\_in}) = 2696,9339 \text{ kJ/kg} \quad (3.104)$$

Iz. entalpický spád k miestu odberu:

$$H_{NTO3,iz} = i_{ST\_in} - i'_{NTO3,iz} = 903,8496 \text{ kJ/kg} \quad (3.105)$$

Entalpický spád k miestu odberu:

$$H_{NTO3} = H_{NTO3,iz} \cdot \eta_{tdi} = 803,9742 \text{ kJ/kg} \quad (3.106)$$

- uvažovaná účinnosť odpovedá vnút. termodyn. účinnosti ST-NT dielu

Entalpia pary v mieste odberu:

$$i'_{NTO3} = i_{ST\_in} - H_{NTO3} = 2796,8093 \text{ kJ/kg} \quad (3.107)$$

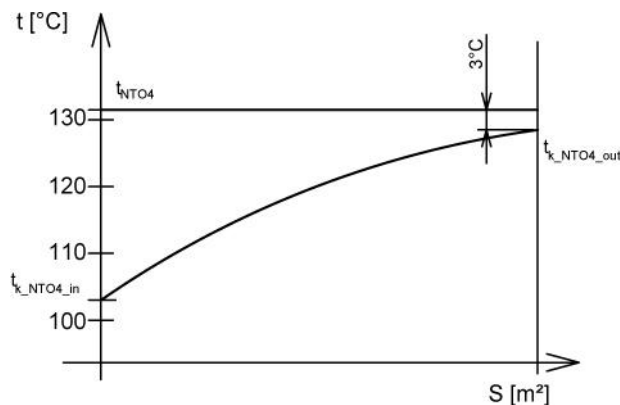
Teplota pary v mieste odberu:

$$t'_{NTO3} = f(p'_{NTO3}; i'_{NTO3}) = 161,4059 \text{ °C} \quad (3.108)$$

Merný objem pary v mieste odberu:

$$v'_{NTO3} = f(p'_{NTO3}; i'_{NTO3}) = 1,4554 \text{ m}^3/\text{kg} \quad (3.109)$$

### 3.2.4 NTO4



Obr. 3.10: Priebeh teplôt v NTO4.

Teplota kondenzátu na vstupe:

$$t_{k\_NTO4\_in} = 103 \text{ °C} \quad (3.110)$$

Entalpia kondenzátu na vstupe:

$$i_{k\_NTO4\_in} = i_{k\_NTO3\_out} = 431,7634 \text{ kJ/kg} \quad (3.111)$$

Teplota kondenzátu na výstupe:

$$t_{k\_NTO4\_out} = 128,5 \text{ }^\circ\text{C} \quad - \text{ upravená hodnota po iterácii} \quad (3.112)$$

Entalpia kondenzátu na výstupe:

$$i_{k\_NTO4\_out} = f(t_{k\_NTO4\_out}; x=0) = 539,9847 \text{ kJ/kg} \quad (3.113)$$

Koncový teplotný rozdiel:

$$\delta_{NTO4} = 3 \text{ }^\circ\text{C} \quad (3.114)$$

Teplota odberovej pary na medzi sýtosti:

$$t_{NTO4} = t_{k\_NTO4\_out} + \delta_{NTO4} = 131,5 \text{ }^\circ\text{C} \quad (3.115)$$

Tlak odberovej pary na medzi sýtosti:

$$p_{NTO4} = f(t_{NTO4}; x=1) = 2,8261 \text{ bar} \quad (3.116)$$

Entalpia kondenzátu odberovej pary:

$$i'_{NTO4} = f(t_{NTO4}; x=0) = 552,7957 \text{ kJ/kg} \quad (3.117)$$

Tlaková strata v odbernom potrubí:

$$\Delta p_{NTO4} = 9 \text{ \%} \quad (3.118)$$

Tlak pary v mieste odberu:

$$p'_{NTO4} = (1+0,09) \cdot p_{NTO4} = 3,0804 \text{ bar} \quad (3.119)$$

Iz. entalpia v mieste odberu:

$$i'_{NTO4,iz} = f(p'_{NTO4}; s_{ST\_in}) = 2854,0472 \text{ kJ/kg} \quad (3.120)$$

Iz. entalpický spád k miestu odberu:

$$H_{NTO4,iz} = i_{ST\_in} - i'_{NTO4,iz} = 746,7363 \text{ kJ/kg} \quad (3.121)$$

Entalpický spád k miestu odberu:

$$H_{NTO4} = H_{NTO4,iz} \cdot \eta_{tdi} = 664,2219 \text{ kJ/kg} \quad (3.122)$$

- uvažovaná účinnosť odpovedá vnút. termodyn. účinnosti ST-NT dielu

Entalpia pary v mieste odberu:

$$i'_{NTO4} = i_{ST\_in} - H_{NTO4} = 2936,5616 \text{ kJ/kg} \quad (3.123)$$

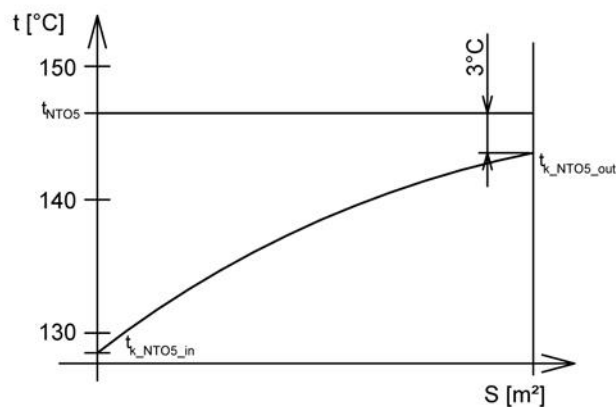
Teplota pary v mieste odberu:

$$t'_{NTO4} = f(p'_{NTO4}; i'_{NTO4}) = 234,7149 \text{ }^\circ\text{C} \quad (3.124)$$

Merný objem pary v mieste odberu:

$$v'_{NTO4} = f(p'_{NTO4}; i'_{NTO4}) = 0,7517 \text{ m}^3/\text{kg} \quad (3.125)$$

### 3.2.5 NTO5



Obr. 3.11: Priebeh teplôt v NTO5.

Teplota kondenzátu na vstupu:

$$t_{k\_NTO5\_in} = 128,5 \text{ °C} \quad (3.126)$$

Entalpia kondenzátu na vstupu:

$$i_{k\_NTO5\_in} = i_{k\_NTO4\_out} = 539,9847 \text{ kJ/kg} \quad (3.127)$$

Teplota kondenzátu na výstupe:

$$t_{k\_NTO5\_out} = 143,5 \text{ °C} - \textit{upravená hodnota po iterácii} \quad (3.128)$$

Entalpia kondenzátu na výstupe:

$$i_{k\_NTO5\_out} = f(t_{k\_NTO5\_out}; x=0) = 604,2394 \text{ kJ/kg} \quad (3.129)$$

Koncový teplotný rozdiel:

$$\delta_{NTO5} = 3 \text{ °C} \quad (3.130)$$

Teplota odberovej pary na medzi sýtosti:

$$t_{NTO5} = t_{k\_NTO5\_out} + \delta_{NTO5} = 146,5 \text{ °C} \quad (3.131)$$

Tlak odberovej pary na medzi sýtosti:

$$p_{NTO5} = f(t_{NTO5}; x=1) = 4,3309 \text{ bar} \quad (3.132)$$

Entalpia kondenzátu odberovej pary:

$$i'_{NTO5} = f(t_{NTO5}; x=0) = 617,1544 \text{ kJ/kg} \quad (3.133)$$

Tlaková strata v odbernom potrubí:

$$\Delta p_{NTO5} = 9 \% \quad (3.134)$$

Tlak pary v mieste odberu:

$$p'_{NTO5} = (1+0,09) \cdot p_{NTO5} = 4,7206 \text{ bar} \quad (3.135)$$

Iz. entalpia v mieste odberu:

$$i'_{NTO5,iz} = f(p'_{NTO5}; s_{ST\_in}) = 2949,2920 \text{ kJ/kg} \quad (3.136)$$

Iz. entalpický spád k miestu odberu:

$$H_{NTO5,iz} = i_{ST\_in} - i'_{NTO5,iz} = 651,4915 \text{ kJ/kg} \quad (3.137)$$

Entalpický spád k miestu odberu:

$$H_{NTO5} = H_{NTO5,iz} \cdot \eta_{tdi} = 579,5017 \text{ kJ/kg} \quad (3.138)$$

- *uvažovaná účinnosť odpovedá vnút. termodyn. účinnosti ST-NT dielu*

Entalpia pary v mieste odberu:

$$i'_{NTO5} = i_{ST\_in} - H_{NTO5} = 3021,2818 \text{ kJ/kg} \quad (3.139)$$

Teplota pary v mieste odberu:

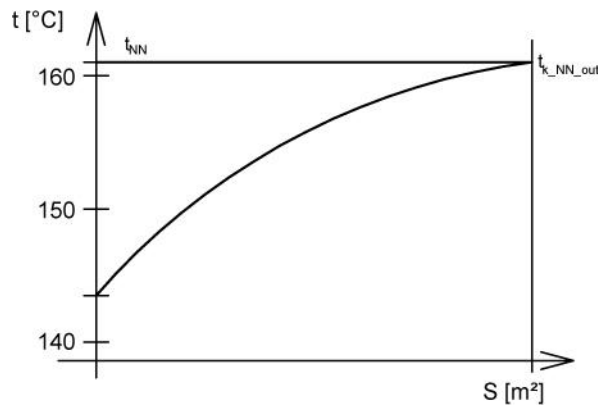
$$t'_{NTO5} = f(p'_{NTO5}; i'_{NTO5}) = 278,6483 \text{ °C} \quad (3.140)$$

Merný objem pary v mieste odberu:

$$v'_{NTO5} = f(p'_{NTO5}; i'_{NTO5}) = 0,5323 \text{ m}^3/\text{kg} \quad (3.141)$$

### 3.2.6 Napájacia nádrž s odplyňovačom – NN

Napájacia nádrž s odplyňovačom je typ zmiešavacieho tepelného výmenníku. Odberová para je v priamom kontakte s kondenzátom, tzn. hodnota koncového teplotného rozdielu je nula. Prívodom odberovej pary dochádza k zvyšovaniu teploty kondenzátu na bod varu, pričom sa odlučujú nežiadúce vo vode rozpustné plyny, ktoré sú príčinou zanášania a korózie. V napájacej nádrži taktiež dochádza ku kompenzácii netesností celého systému a to dopĺňaním prídavnej chemicky upravenej vody.



Obr. 3.12: Priebeh teplôt v NN.

Teplota kondenzátu na vstupe:

$$t_{k_{NN}_{in}} = 143,5 \text{ °C} \quad (3.142)$$

Entalpia kondenzátu na vstupe:

$$i_{k_{NN}_{in}} = i_{k_{NTO5}_{out}} = 604,2394 \text{ kJ/kg} \quad (3.143)$$

Teplota kondenzátu na výstupe:

$$t_{k_{NN}_{out}} = 161 \text{ °C} \quad - \text{ upravená hodnota po iterácii} \quad (3.144)$$

Entalpia kondenzátu na výstupe:

$$i_{k_{NN}_{out}} = f(t_{k_{NN}_{out}}; x=0) = 679,9233 \text{ kJ/kg} \quad (3.145)$$

Koncový teplotný rozdiel:

$$\delta_{NN} = 0 \text{ °C} \quad (3.146)$$

Teplota odberovej pary na medzi sýtosti:

$$t_{NN} = t_{k_{NN}_{out}} + \delta_{NN} = 161 \text{ °C} \quad (3.147)$$

Tlak odberovej pary na medzi sýtosti:

$$p_{NN} = f(t_{NN}; x=1) = 6,3402 \text{ bar} \quad (3.148)$$

Entalpia kondenzátu odberovej pary:

$$i''_{NN} = f(t_{NN}; x=0) = 679,9233 \text{ kJ/kg} \quad (3.149)$$

Tlaková strata v odbernom potrubí:

$$\Delta p_{NN} = 9 \% \quad (3.150)$$

Tlak pary v mieste odberu:

$$p'_{NN} = (1+0,09) \cdot p_{NN} = 6,9108 \text{ bar} \quad (3.151)$$

Iz. entalpia v mieste odberu:

$$i'_{NN,iz} = f(p'_{NN}; s_{ST_{in}}) = 3042,7231 \text{ kJ/kg} \quad (3.152)$$

Iz. entalpický spád k miestu odberu:

$$H_{NN,iz} = i_{ST_{in}} - i'_{NN,iz} = 558,0604 \text{ kJ/kg} \quad (3.153)$$

Entalpický spád k miestu odberu:

$$H_{NN} = H_{NN,iz} \cdot \eta_{tdi} = 496,3947 \text{ kJ/kg} \quad (3.154)$$

- uvažovaná účinnosť odpovedá vnút. termodyn. účinnosti ST-NT dielu

Entalpia pary v mieste odberu:

$$i'_{NN} = i_{ST_{in}} - H_{NN} = 3104,3888 \text{ kJ/kg} \quad (3.155)$$

Teplota pary v mieste odberu:

$$t'_{NN} = f(p'_{NN}; i'_{NN}) = 321,3505 \text{ °C} \quad (3.156)$$

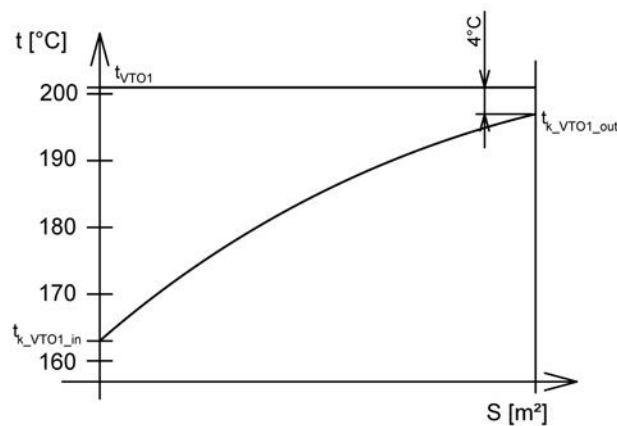
Merný objem pary v mieste odberu:

$$v'_{NN} = f(p'_{NN}; i'_{NN}) = 0,3912 \text{ m}^3/\text{kg} \quad (3.157)$$

### 3.2.7 VTO1

Vysokotlaké ohrievače sú taktiež navrhnuté ako povrchové tepelné výmenníky. Tieto tepelné výmenníky však pracujú pri značne vyšších tlakoch a teplotách ako výmenníky nízkotlaké, ich cena je preto pomerne vysoká. U vysokotlakých ohrievačov je teda vhodné voliť vyššiu hodnotu koncového teplotného rozdielu  $\delta_{VTO}$ , čím budú dosiahnuté menšie rozmery ohrievača, nižšia cena a menšie straty tepla do okolia.

Na vysokotlaké ohrievače často prúdi para v stave vysokého prehriatia. Z tohto dôvodu sú pre tento typ výmenníku typické tzv. zrážacie prehriatia, no pre zjednodušenie výpočtu nie sú v práci uvažované a počíta sa len s parametrami pary na vstupe a na výstupe z výmenníku.



Obr. 3.13: Priebeh teplôt vo VTO1.

Teplota kondenzátu na vstupe:

$$t_{k,VTO1,in} = 163 \text{ °C} \quad (3.158)$$

Entalpia kondenzátu na vstupe:

$$i_{k,VTO1,in} = i_{NČ} = 701,4622 \text{ kJ/kg} \quad (3.159)$$

Teplota kondenzátu na výstupe:

$$t_{k,VTO1,out} = 197 \text{ °C} \quad - \text{ upravená hodnota po iterácii} \quad (3.160)$$

Entalpia kondenzátu na výstupe:

$$i_{k,VTO1,out} = f(t_{k,VTO1,out}; x=0) = 838,8944 \text{ kJ/kg} \quad (3.161)$$

Koncový teplotný rozdiel:

$$\delta_{VTO1} = 4 \text{ °C} \quad (3.162)$$

Teplota odberovej pary na medzi sýtosti:

$$t_{VTO1} = t_{k,VTO1,out} + \delta_{VTO1} = 201 \text{ °C} \quad (3.163)$$

Tlak odberovej pary na medzi sýtosti:

$$p_{VTO1} = f(t_{VTO1}; x=1) = 15,8746 \text{ bar} \quad (3.164)$$

Entalpia kondenzátu odberovej pary:

$$i''_{VTO1} = f(t_{VTO1}; x=0) = 856,9027 \text{ kJ/kg} \quad (3.165)$$

Tlaková strata v odbernom potrubí:

$$\Delta p_{VTO1} = 9 \% \quad (3.166)$$

Tlak pary v mieste odberu:

$$p'_{VTO1} = (1+0,09) \cdot p_{VTO1} = 17,3033 \text{ bar} \quad (3.167)$$

Iz. entalpia v mieste odberu:

$$i'_{VTO1,iz} = f(p'_{VTO1}; s_{ST\_in}) = 3304,1111 \text{ kJ/kg} \quad (3.168)$$

Iz. entalpický spád k miestu odberu:

$$H_{VTO1,iz} = i_{ST\_in} - i'_{VTO1,iz} = 296,6724 \text{ kJ/kg} \quad (3.169)$$

Entalpický spád k miestu odberu:

$$H_{VTO1} = H_{VTO1,iz} \cdot \eta_{tdi} = 263,8901 \text{ kJ/kg} \quad (3.170)$$

- uvažovaná účinnosť odpovedá vnút. termodyn. účinnosti ST-NT dielu

Entalpia pary v mieste odberu:

$$i'_{VTO1} = i_{ST\_in} - H_{VTO1} = 3336,8934 \text{ kJ/kg} \quad (3.171)$$

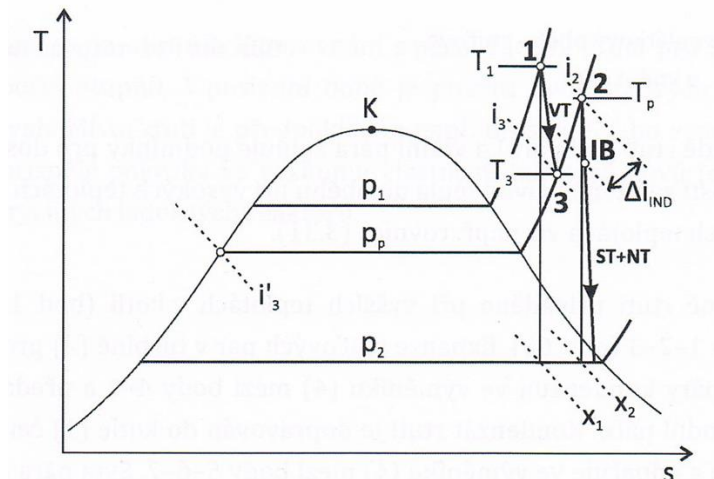
Teplota pary v mieste odberu:

$$t'_{VTO1} = f(p'_{VTO1}; i'_{VTO1}) = 438,6599 \text{ °C} \quad (3.172)$$

Merný objem pary v mieste odberu:

$$v'_{VTO1} = f(p'_{VTO1}; i'_{VTO1}) = 0,1864 \text{ m}^3/\text{kg} \quad (3.173)$$

Odber pre VTO1 predstavuje prvý odber z turbíny za prihrievaním, preto je vhodná kontrola umiestnenia odberu voči tzv. indiferentnému bodu. Výpočtami bolo dokázané, že odbery umiestnené na expanznej čiare nad indiferentným bodom (úsek 2 – IB na obr. 3.14) nezvyšujú hodnotu tepelnej účinnosti obehu. Vysoko energeticky kvalitná para by bola miesto vykonania práce znehodnotená v systéme regenerácie. Polohu indiferentného bodu je možné určiť s využitím vzťahov 3.174 a 3.175 na základe obrázku 3.14. [2]



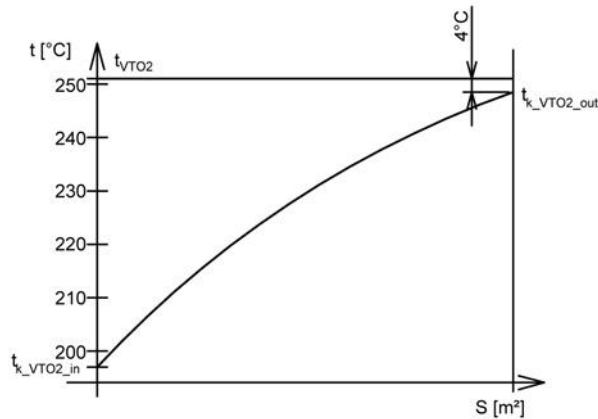
Obr. 3.14: Znázornenie polohy indiferentného bodu v tepelnom obehu. [2]

$$\Delta i_{IND} = \eta_{VT} \cdot (i_2 - i_3) \quad (3.174)$$

$$\eta_{VT} = \frac{i_1 - i_3}{i_1 - i'_3} \quad (3.175)$$

Hodnota  $\eta_{VT}$  predstavuje výpočtovú tepelnú účinnosť VT dielu turbíny. Po dosadení odpovedajúcich entalpií má entalpia indiferentného bodu hodnotu 3529,8071 kJ/kg, teda vyššiu ako je hodnota entalpie pary v mieste odberu na VTO1. Umiestnenie odberu je tým pádom vhodné a nedôjde k zbytočnému znehodnoteniu pary.

## 3.2.8 VTO2



Obr. 3.15: Priebeh teplôt vo VTO2.

Teplota kondenzátu na vstupe:

$$t_{k\_VTO2\_in} = 197 \text{ °C} \quad (3.176)$$

Entalpia kondenzátu na vstupe:

$$i_{k\_VTO2\_in} = i_{k\_VTO1\_out} = 838,8944 \text{ kJ/kg} \quad (3.177)$$

Teplota kondenzátu na výstupe:

$$t_{k\_VTO2\_out} = 247,8 \text{ °C} - \text{upravená hodnota po iterácii} \quad (3.178)$$

Entalpia kondenzátu na výstupe:

$$i_{k\_VTO2\_out} = f(t_{k\_VTO2\_out}; x=0) = 1075,0117 \text{ kJ/kg} \quad (3.179)$$

Koncový teplotný rozdiel:

$$\delta_{VTO2} = 4 \text{ °C} \quad (3.180)$$

Teplota odberovej pary na medzi sýtosti:

$$t_{VTO2} = t_{k\_VTO2\_out} + \delta_{VTO2} = 251,8 \text{ °C} \quad (3.181)$$

Tlak odberovej pary na medzi sýtosti:

$$p_{VTO2} = f(t_{VTO2}; x=1) = 40,9821 \text{ bar} \quad (3.182)$$

Entalpia kondenzátu odberovej pary:

$$i'_{VTO2} = f(t_{VTO2}; x=0) = 1094,4560 \text{ kJ/kg} \quad (3.183)$$

Tlaková strata v odbernom potrubí:

$$\Delta p_{VTO2} = 9 \% \quad (3.184)$$

Tlak pary v mieste odberu:

$$p'_{VTO2} = (1+0,09) \cdot p_{VTO2} = 44,6705 \text{ bar} \quad (3.185)$$

Iz. entalpia v mieste odberu:

$$i'_{VTO2,iz} = f(p'_{VTO2}; s_1) = 3077,1918 \text{ kJ/kg} \quad (3.186)$$

Iz. entalpický spád k miestu odberu:

$$H_{VTO2,iz} = i_1' - i'_{VTO2,iz} = 399,1441 \text{ kJ/kg} \quad (3.187)$$

Entalpický spád k miestu odberu:

$$H_{VTO2} = H_{VTO2,iz} \cdot \eta_{tdi} = 354,0807 \text{ kJ/kg} \quad (3.188)$$

- uvažovaná účinnosť odpovedá vnút. termodyn. účinnosti VT dielu

Entalpia pary v mieste odberu:

$$i'_{VTO2} = i_1' - H_{VTO2} = 3122,2551 \text{ kJ/kg} \quad (3.189)$$

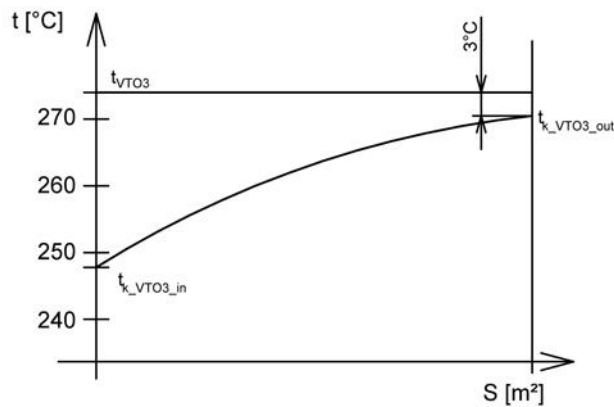
Teplota pary v mieste odberu:

$$t'_{VTO2} = f(p'_{VTO2}; i'_{VTO2}) = 365,7747 \text{ °C} \quad (3.190)$$

Merný objem pary v mieste odberu:

$$v'_{VTO2} = f(p'_{VTO2}; i'_{VTO2}) = 0,0610 \text{ m}^3/\text{kg} \quad (3.191)$$

### 3.2.9 VTO3



Obr. 3.16: Priebeh teplôt vo VTO3.

Teplota kondenzátu na vstupe:

$$t_{k,VTO3,in} = 247,8 \text{ °C} \quad (3.192)$$

Entalpia kondenzátu na vstupe:

$$i_{k,VTO3,in} = i_{k,VTO2,out} = 1075,0117 \text{ kJ/kg} \quad (3.193)$$

Teplota kondenzátu na výstupe:

$$t_{k,VTO3,out} = 270 \text{ °C} \quad - \text{ upravená hodnota po iterácii} \quad (3.194)$$

Entalpia kondenzátu na výstupe:

$$i_{k,VTO3,out} = f(t_{k,VTO3,out}; x=0) = 1185,0928 \text{ kJ/kg} \quad (3.195)$$

Koncový teplotný rozdiel:

$$\delta_{VTO3} = 4 \text{ °C} \quad (3.196)$$

Teplota odberovej pary na medzi sýtosti:

$$t_{VTO3} = t_{k,VTO3,out} + \delta_{VTO3} = 274 \text{ °C} \quad (3.197)$$

Tlak odberovej pary na medzi sýtosti:

$$p_{VTO3} = f(t_{VTO3}; x=1) = 58,5547 \text{ bar} \quad (3.198)$$

Entalpia kondenzátu odberovej pary:

$$i'_{VTO3} = f(t_{VTO3}; x=0) = 1205,5548 \text{ kJ/kg} \quad (3.199)$$

Tlaková strata v odbernom potrubí:

$$\Delta p_{VTO3} = 9 \% \quad (3.200)$$

Tlak pary v mieste odberu:

$$p'_{VTO3} = (1+0,09) \cdot p_{VTO3} = 63,8246 \text{ bar} \quad (3.201)$$

Iz. entalpia v mieste odberu:

$$i'_{VTO3,iz} = f(p'_{VTO3}; s_{1'}) = 3174,4674 \text{ kJ/kg} \quad (3.202)$$

Iz. entalpický spád k miestu odberu:

$$H_{VTO3,iz} = i_{1'} - i'_{VTO3,iz} = 301,8685 \text{ kJ/kg} \quad (3.203)$$

Entalpický spád k miestu odberu:

$$H_{VTO3} = H_{VTO3,iz} \cdot \eta_{tdi} = 267,7875 \text{ kJ/kg} \quad (3.204)$$

- uvažovaná účinnosť odpovedá vnút. termodyn. účinnosti VT dielu

Entalpia pary v mieste odberu:

$$i'_{VTO3} = i_{1'} - H_{VTO3} = 3208,5484 \text{ kJ/kg} \quad (3.205)$$

Teplota pary v mieste odberu:

$$t'_{VTO3} = f(p'_{VTO3}; i'_{VTO3}) = 414,5841 \text{ } ^\circ\text{C} \quad (3.206)$$

Merný objem pary v mieste odberu:

$$v'_{VTO3} = f(p'_{VTO3}; i'_{VTO3}) = 0,0457 \text{ m}^3/\text{kg} \quad (3.207)$$

### 3.3 Tepelná bilancia systému regenerácie

Pre výpočet hmotnostného toku pary v jednotlivých odberoch je potrebné zostaviť tepelnú bilanciu celého systému regenerácie. Výpočet začína určením pomerných veľkostí odberov, pričom je uvažovaná hodnota hmotnostného toku pary na turbínu 1 kg/s. Pri výpočte sa vychádzalo zo zákona zachovania energie.

Straty tepla do okolia sú zahrnuté v účinnostiach jednotlivých tepelných výmenníkov, ktoré sú volené nasledovne [1]:

$$\eta_{VTO} = 98 \%$$

$$\eta_{NTO} = 99 \% \quad - \text{ s ohľadom na nižšie prevádzkové teploty oproti VTO}$$

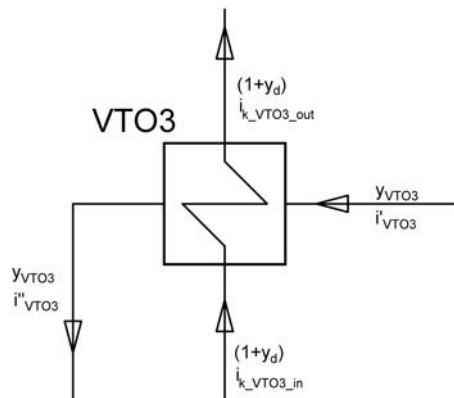
$$\eta_{NN} = 97 \%$$

Konštanty, ktoré budú vo výpočte použité sú:

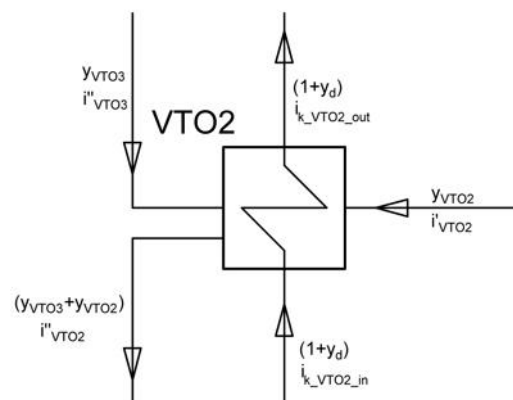
$$y_d = 4 \% \quad - \text{ množstvo prídavnej chemickej vody}$$

$$t_d = 50 \text{ } ^\circ\text{C} \quad - \text{ teplota prídavnej chemickej vody}$$

$$c_p = 4,1870 \text{ kJ/kgK} \quad - \text{ merná tepelná kapacita vody}$$



Obr. 3.17: Bilancia ohrievača VTO3.



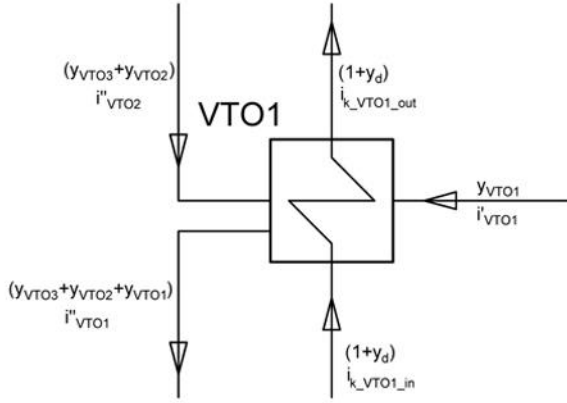
Obr. 3.18: Bilancia ohrievača VTO2

#### VTO3

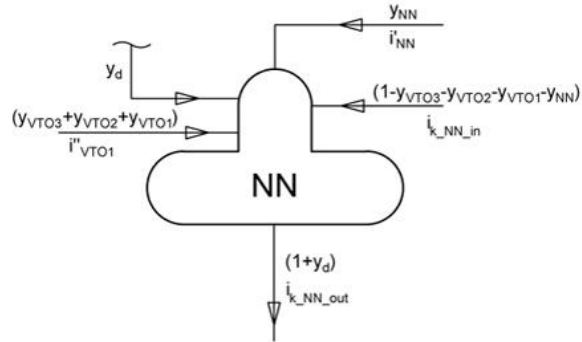
$$y_{VTO3} \cdot (i'_{VTO3} - i''_{VTO3}) \cdot \eta_{VTO} = (1 + y_d) \cdot (i_{k\_VTO3\_out} - i_{k\_VTO3\_in}) \quad (3.208)$$

#### VTO2

$$\begin{aligned} & [y_{VTO2} \cdot i'_{VTO2} + y_{VTO3} \cdot i''_{VTO3} - (y_{VTO3} + y_{VTO2}) \cdot i''_{VTO2}] \cdot \eta_{VTO} = \\ & = (1 + y_d) \cdot (i_{k\_VTO2\_out} - i_{k\_VTO2\_in}) \end{aligned} \quad (3.209)$$



Obr. 3.19: Bilancia ohrievača VTO1.



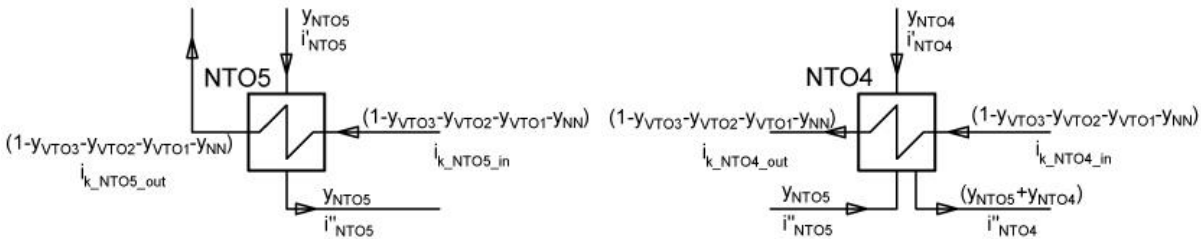
Obr. 3.20: Bilancia napájacej nádrže NN.

### VTO1

$$\begin{aligned} & [y_{VTO1} \cdot i'_{VTO1} + (y_{VTO3} + y_{VTO2}) \cdot i''_{VTO2} - (y_{VTO3} + y_{VTO2} + y_{VTO1}) \cdot i''_{VTO1}] \cdot \eta_{VTO} = \\ & = (1 + y_d) \cdot (i_{k\_VTO1\_out} - i_{k\_VTO1\_in}) \end{aligned} \quad (3.210)$$

### NN

$$\begin{aligned} & [y_{NN} \cdot i'_{NN} + (y_{VTO3} + y_{VTO2} + y_{VTO1}) \cdot i''_{VTO1} + \\ & + (1 - y_{VTO3} - y_{VTO2} - y_{VTO1} - y_{NN}) \cdot i_{k\_NN\_in} + y_d \cdot c_p \cdot t_d] \cdot \eta_{NN} = \\ & = y_d \cdot c_p \cdot t_{k\_NN\_out} + 1 \cdot i_{k\_NN\_out} \end{aligned} \quad (3.211)$$



Obr. 3.21: Bilancia ohrievača NTO5.

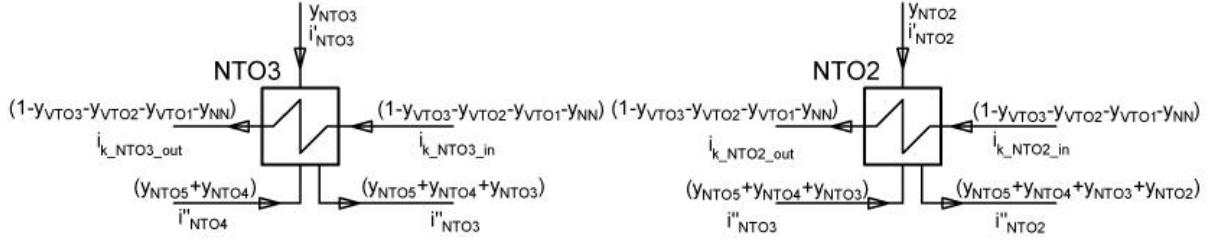
Obr. 3.22: Bilancia ohrievača NTO4.

### NTO5

$$\begin{aligned} & [y_{NTO5} \cdot (i'_{NTO5} - i''_{NTO5})] \cdot \eta_{NTO} = \\ & = [1 - (1 - y_{VTO3} - y_{VTO2} - y_{VTO1} - y_{NN})] \cdot (i_{k\_NTO5\_out} - i_{k\_NTO5\_in}) \end{aligned} \quad (3.212)$$

### NTO4

$$\begin{aligned} & [y_{NTO4} \cdot i'_{NTO4} + y_{NTO5} \cdot i''_{NTO5} - (y_{NTO5} + y_{NTO4}) \cdot i''_{NTO4}] \cdot \eta_{NTO} = \\ & = (1 - y_{VTO3} - y_{VTO2} - y_{VTO1} - y_{NN}) \cdot (i_{k\_NTO4\_out} - i_{k\_NTO4\_in}) \end{aligned} \quad (3.213)$$



Obr. 3.23: Bilancia ohrievača NTO3.

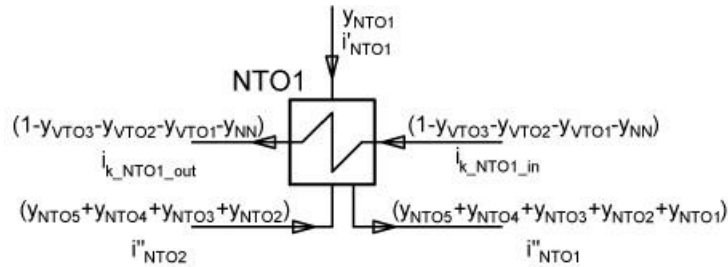
Obr. 3.24: Bilancia ohrievača NTO2.

### NTO3

$$\begin{aligned}
 & [y_{NTO3} \cdot i'_{NTO3} + (y_{NTO5} + y_{NTO4}) \cdot i''_{NTO4} - (y_{NTO5} + y_{NTO4} + y_{NTO3}) \cdot i''_{NTO3}] \cdot \eta_{NTO} = \\
 & = (1 - y_{VT03} - y_{VT02} - y_{VT01} - y_{NN}) \cdot (i'_{k\_NTO3\_out} - i'_{k\_NTO3\_in})
 \end{aligned} \quad (3.214)$$

### NTO2

$$\begin{aligned}
 & [y_{NTO2} \cdot i'_{NTO2} + (y_{NTO5} + y_{NTO4} + y_{NTO3}) \cdot i''_{NTO3} - \\
 & - (y_{NTO5} + y_{NTO4} + y_{NTO3} + y_{NTO2}) \cdot i''_{NTO2}] \cdot \eta_{NTO} = \\
 & = (1 - y_{VT03} - y_{VT02} - y_{VT01} - y_{NN}) \cdot (i'_{k\_NTO2\_out} - i'_{k\_NTO2\_in})
 \end{aligned} \quad (3.215)$$



Obr. 3.25: Bilancia ohrievača NTO1.

### NTO1

$$\begin{aligned}
 & [y_{NTO1} \cdot i'_{NTO1} + (y_{NTO5} + y_{NTO4} + y_{NTO3} + y_{NTO2}) \cdot i''_{NTO2} - \\
 & - (y_{NTO5} + y_{NTO4} + y_{NTO3} + y_{NTO2} + y_{NTO1}) \cdot i''_{NTO1}] \cdot \eta_{NTO} = \\
 & = (1 - y_{VT03} - y_{VT02} - y_{VT01} - y_{NN}) \cdot (i'_{k\_NTO1\_out} - i'_{k\_NTO1\_in})
 \end{aligned} \quad (3.216)$$

Tepelná bilancia pozostáva zo sústavy deviatich rovníc o deviatich neznámých. Na vyriešenie týchto rovníc a teda určenie jednotlivých pomerných veľkostí odberov bola použitá funkcia „solver“, súčasť programu Excel. Výsledné hodnoty sú uvedené v nasledujúcej tabuľke:

|       |        |     |
|-------|--------|-----|
| yVTO3 | 0,0583 | [-] |
| yVTO2 | 0,1204 | [-] |
| yVTO1 | 0,0417 | [-] |
| yNN   | 0,0242 | [-] |
| yNTO5 | 0,0204 | [-] |
| yNTO4 | 0,0341 | [-] |
| yNTO3 | 0,0635 | [-] |
| yNTO2 | 0,0062 | [-] |
| yNTO1 | 0,0103 | [-] |

Tab. 3.3: Hodnoty pomerných veľkostí odberov.

### 3.4 Výpočet množstva pary v systéme

Výpočet množstva pary na vstupe do turbíny vychádza zo zadanej hodnoty výkonu na svorkách generátoru. Túto hodnotu je potrebné navýšiť o jednotlivé straty v turbíne, vyjadrené pomocou účinností:

$$\begin{aligned} \text{mechanická účinnosť:} & \quad \eta_m = 99 \% \\ \text{účinnosť generátoru:} & \quad \eta_g = 98,5 \% \end{aligned}$$

$$\begin{aligned} \text{celková účinnosť:} & \quad \eta_c = \eta_m \cdot \eta_g = 97,5 \% \\ (3.217) \end{aligned}$$

Množstvo pary vstupujúcej do turbíny sa vypočíta nasledovne:

$$m_p = \frac{P}{\left\{ \left[ i_1' - i'_{VTO2} - y_{VTO3} \cdot (i'_{VTO3} - i'_{VTO2}) + (1 - y_{VTO3} - y_{VTO2}) \cdot (i'_{STNT\_in} - i_2) - y_{VTO1} \cdot (i'_{VTO1} - i_2) - \right. \right. \\ \left. \left. - y_{NN} \cdot (i'_{NN} - i_2) - y_{NTO5} \cdot (i'_{NTO5} - i_2) - y_{NTO5} \cdot (i'_{NTO5} - i_2) - y_{NTO4} \cdot (i'_{NTO4} - i_2) - y_{NTO4} \cdot (i'_{NTO4} - i_2) - \right. \right. \\ \left. \left. - y_{NTO3} \cdot (i'_{NTO3} - i_2) - y_{NTO2} \cdot (i'_{NTO2} - i_2) - y_{NTO1} \cdot (i'_{NTO1} - i_2) \right] \cdot \eta_c \right\}} \quad (3.218)$$

Z celkového množstva pary sa následne určí množstvo pary v jednotlivých odberoch:

$$m_{VTO3} = m_p \cdot y_{VTO3} \quad (3.219)$$

$$m_{VTO2} = m_p \cdot y_{VTO2} \quad (3.220)$$

$$m_{VTO1} = m_p \cdot y_{VTO1} \quad (3.221)$$

$$m_{NN} = m_p \cdot y_{NN} \quad (3.222)$$

$$m_{NTO5} = m_p \cdot y_{NTO5} \quad (3.223)$$

$$m_{NTO4} = m_p \cdot y_{NTO4} \quad (3.224)$$

$$m_{NTO3} = m_p \cdot y_{NTO3} \quad (3.225)$$

$$m_{NTO2} = m_p \cdot y_{NTO2} \quad (3.226)$$

$$m_{NTO1} = m_p \cdot y_{NTO1} \quad (3.227)$$

Výsledné hodnoty množství pary v systému sú uvedené v nasledujúcej tabuľke:

| mp    | 249,3286 | [kg/s] |
|-------|----------|--------|
| mVTO3 | 14,5416  | [kg/s] |
| mVTO2 | 30,0126  | [kg/s] |
| mVTO1 | 10,3951  | [kg/s] |
| mNN   | 6,0286   | [kg/s] |
| mNTO5 | 5,0849   | [kg/s] |
| mNTO4 | 8,5001   | [kg/s] |
| mNTO3 | 15,8419  | [kg/s] |
| mNTO2 | 1,5516   | [kg/s] |
| mNTO1 | 2,5617   | [kg/s] |

Tab. 3.4: Množstvo pary v systéme.

### 3.5 Výpočet výkonu turbíny

Pre overenie dosiahnutia požadovaného výkonu je potrebné spočítať tzv. vnútorný výkon turbíny, ktorý je daný súčtom výkonov v jednotlivých úsekoch turbíny medzi odbermi. Jednotlivé výkony sú vyjadrené ako súčin hmotnostného toku a entalpického spádu v danom úseku. Ako už bolo spomenuté, za 9. stupňom ST-NT dielu turbíny sa hmotnostný tok pary rozdeľuje na dva prúdy, pričom do dvojprúdového NT dielu prúdia 2/3 pary a 1/3 pary vstupuje do 10. stupňa ST-NT dielu turbíny.

Množstvo pary v jednotlivých úsekoch turbíny:

#### VT

$$\text{úsek I (1'-VTO3): } m_I = m_p = 249,3286 \text{ kg/s} \quad (3.228)$$

$$\text{úsek II (VTO3-VTO2): } m_{II} = m_I - m_{VTO3} = 234,7870 \text{ kg/s} \quad (3.229)$$

#### ST-NT

$$\text{úsek III (STNT_in-VTO1): } m_{III} = m_{II} - m_{VTO2} = 204,7744 \text{ kg/s} \quad (3.230)$$

$$\text{úsek IV (VTO1-NN): } m_{IV} = m_{III} - m_{VTO1} = 194,3793 \text{ kg/s} \quad (3.231)$$

$$\text{úsek V (NN-NTO5): } m_V = m_{IV} - m_{NN} = 188,3506 \text{ kg/s} \quad (3.232)$$

$$\text{úsek VI (NTO5-NTO4): } m_{VI} = m_V - m_{NTO5} = 183,2658 \text{ kg/s} \quad (3.233)$$

$$\text{úsek VII (NTO4-NTO3): } m_{VII} = 1/3 \cdot (m_{VI} - m_{NTO4}) = 58,2552 \text{ kg/s} \quad (3.234)$$

$$\text{úsek VIII (NTO3-K): } m_{VIII} = m_{VII} - m_{NTO3} = 42,4133 \text{ kg/s} \quad (3.235)$$

#### NT

$$\text{úsek IX (NTO4-NTO2): } m_{IX} = 2/3 \cdot (m_{VI} - m_{NTO4}) = 116,5105 \text{ kg/s} \quad (3.236)$$

$$\text{úsek X (NTO2-NTO1): } m_X = m_{IX} - m_{NTO2} = 114,9589 \text{ kg/s} \quad (3.237)$$

$$\text{úsek XI (NTO1-K): } m_{XI} = m_X - m_{NTO1} = 112,3972 \text{ kg/s} \quad (3.238)$$

Entalpické spády v jednotlivých úsekoch turbíny:

#### VT

$$\text{úsek I (1'-VTO3): } H_I = i_1' - i'_{VTO3} = 267,7875 \text{ kJ/kg} \quad (3.239)$$

$$\text{úsek II (VTO3-VTO2): } H_{II} = i'_{VTO3} - i'_{VTO2} = 86,2932 \text{ kJ/kg} \quad (3.240)$$

### ST-NT

$$\text{úsek III (STNT\_in-VTO1): } H_{III} = i_{STNT\_in} - i'_{VTO1} = 263,8901 \text{ kJ/kg} \quad (3.241)$$

$$\text{úsek IV (VTO1-NN): } H_{IV} = i'_{VTO1} - i'_{NN} = 232,5047 \text{ kJ/kg} \quad (3.242)$$

$$\text{úsek V (NN-NTO5): } H_V = i'_{NN} - i'_{NTO5} = 83,1070 \text{ kJ/kg} \quad (3.243)$$

$$\text{úsek VI (NTO5-NTO4): } H_{VI} = i'_{NTO5} - i'_{NTO4} = 84,7202 \text{ kJ/kg} \quad (3.244)$$

$$\text{úsek VII (NTO4-NTO3): } H_{VII} = i'_{NTO4} - i'_{NTO3} = 139,7523 \text{ kJ/kg} \quad (3.245)$$

$$\text{úsek VIII (NTO3-K): } H_{VIII} = i'_{NTO3} - i_2 = 416,8956 \text{ kJ/kg} \quad (3.246)$$

### NT

$$\text{úsek IX (NTO4-NTO2): } H_{IX} = i'_{NTO4} - i'_{NTO2} = 409,2619 \text{ kJ/kg} \quad (3.247)$$

$$\text{úsek X (NTO2-NTO1): } H_X = i'_{NTO2} - i'_{NTO1} = 70,5856 \text{ kJ/kg} \quad (3.248)$$

$$\text{úsek XI (NTO1-K): } H_{XI} = i'_{NTO1} - i_2 = 76,8004 \text{ kJ/kg} \quad (3.249)$$

Vnútrotný výkon turbíny je teda daný nasledovne:

$$P = \sum_{i=I}^{XI} m_i \cdot H_i \quad (3.250)$$

| VT diel                 |            |                      |  |             |
|-------------------------|------------|----------------------|--|-------------|
| úsek I (1'-VTO3)        | P_I        | 66767,0860 [kW]      |  | 87,0276 MW  |
| úsek II (VTO3-VTO2)     | P_II       | 20260,5305 [kW]      |  |             |
| ST-NT diel              |            |                      |  |             |
| úsek III (STNT_in-VTO1) | P_III      | 54037,9189 [kW]      |  | 156,2348 MW |
| úsek IV (VTO1-NN)       | P_IV       | 45194,0926 [kW]      |  |             |
| úsek V (NN-NTO5)        | P_V        | 15653,2490 [kW]      |  |             |
| úsek VI (NTO5-NTO4)     | P_VI       | 15526,3187 [kW]      |  |             |
| úsek VII (NTO4-NTO3)    | P_VII      | 8141,3019 [kW]       |  |             |
| úsek VIII (NTO3-K)      | P_VIII     | 17681,9237 [kW]      |  |             |
| NT diel                 |            |                      |  |             |
| úsek IX (NTO4-NTO2)     | P_IX       | 47683,2955 [kW]      |  | 64,4299 MW  |
| úsek X (NTO2-NTO1)      | P_X        | 8114,4449 [kW]       |  |             |
| úsek XI (NTO1-K)        | P_XI       | 8632,1461 [kW]       |  |             |
|                         | <b>P =</b> | <b>307,6923 [MW]</b> |  |             |

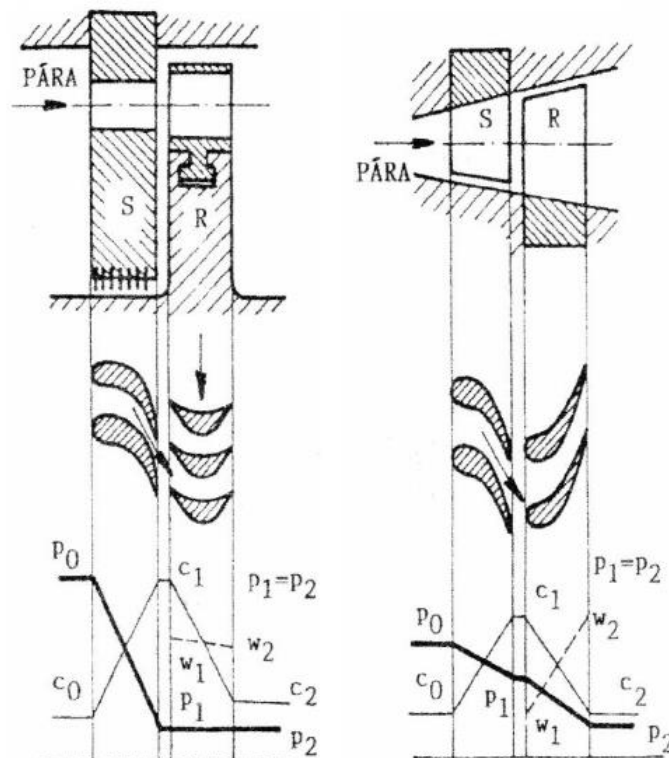
Tab. 3.5: Výkony v jednotlivých úsekoch turbíny.

Hodnota vypočítaného vnútrotného výkonu turbíny je približne 307,7 MW. Výpočtom určená hodnota výkonu turbíny je vyššia ako hodnota zadaná, z dôvodu zidealizovania niektorých procesov prebiehajúcich v systéme. V tejto fáze výpočtu taktiež nie je uvažovaný mierny pokles výkonu zapríčinený únikom pary turbínovými upchávkami, ktorý bude stanovený v kap. 6.

## 4 Návrh prietocnej časti ST-NT dielu turbíny

Návrh prietocnej časti turbíny je jedným z najdôležitejších procesov pri návrhu turbíny. Základ prietocnej časti tvorí lopatkový stupeň, ktorý sa skladá zo satorovej a rotorovej rady lopatiek. Turbíny vyšších výkonov sú konštruované ako mnohostupňové, môžu byť za sebou až desiatky stupňov, a v axiálnom prevedení. Pri vstupe do stupňa turbíny prechádza para satorovými (rozdávacími) lopatkami, ktoré sú ako súčasť rozdávacích kolies uchytené v príslušných drážkach, buď priamo v turbínovej skrini alebo na nosičoch rozdávacích kolies. Účel rozdávacích lopatkových mreží predstavuje urýchľovanie pary premenou tepelnej energie na kinetickú. Po prechode medzilopatkovým kanálom vstupuje urýchlená para do obežnej lopatkovej mreže. V rámci tradície spoločnosti DŠP je lopatkovanie turbíny navrhnuté ako rovnotlaké (akčné), pričom sa jedná o diskovú koncepciu rotoru turbíny. Jednotlivé obežné lopatky sú teda vsadené do drážok diskov hriadeľa rotoru. V obežnej lopatkovej mreži dochádza k prenosu kinetickej energie na rotor, pripojený na alternátor.

Podľa pomeru veľkostí spracovaného entalpického spádu na rozdávacích a obežných lopatkách sa rozlišujú dve konštrukčné varianty lopatkovania turbín. V prípade pretlakového lopatkovania dochádza k spracovávaniu približne rovnakého entalpického spádu na rozdávacích aj obežných lopatkách. Pri rovnotlakom lopatkovaní je celkový entalpický spád spracovaný na rozdávacích lopatkách. Ako už bolo spomenuté, v tejto práci bude navrhnutý rovnotlaký typ lopatkovania, no s tým rozdielom, že v obežnej lopatkovej mreži dôjde k spracovaniu malého entalpického spádu. Tento postup je v dnešnej dobe bežne využívaný a vykazuje väčšiu stabilitu prúdu pary a menšie straty.



Obr. 4.1: Znárodnenie rovnotlakého lopatkovania (vľavo) a pretlakového lopatkovania (vpravo) turbíny. [3]

Návrh prietočnej časti ST-NT dielu bude rozdelený do niekoľkých celkov. V prvej časti budú určené základné parametre prietočného kanálu, na základe ktorých sa následne zvolia vhodné profily rozvádzacích a obežných lopatiek. Nakoniec dôjde ku kontrole lopatiek a príslušných závesov z pevnostného hľadiska, pričom v prípade nedostatkov v tomto výpočte sa upravia predtým zvolené hodnoty.

## 4.1 Základné parametre prietočného kanálu

V tejto kapitole budú stanovené základné parametre, ktoré definujú tvar prietočného kanálu. Sú to priemery lopatkovania a dĺžky rozvádzacích lopatiek, následne zobrazené v lopatkovom pláne. Pre spresnenie tepelného výpočtu budú určené skutočné vlastnosti odberovej pary a skutočná účinnosť turbíny. Priebeh expanzie pary v ST-NT diele turbíny bude nakoniec znázornená v i-s diagrame.

V praxi sa pri návrhu novej turbíny vychádza zo skúseností s inými modelmi podobnej konštrukcie a s porovnateľnými prevádzkovými parametrami. Keďže sa v tomto prípade jedná o modernizáciu turbíny, musia byť dodržané určité rozmery prietočného kanálu z dôvodu využitia pôvodnej turbínovej skrine v čo najväčšej miere. Pre ST-NT diel to znamená dodržanie hodnôt pätných priemerov a to v nasledovných medziach:

ST diel: cca 1150 až 1600 mm  
Nt diel: cca 1700 až 1800 mm

Pre dosiahnutie čo najväčšej konkurencieschopnosti turbíny je dôležité maximalizovať účinnosť jednotlivých stupňov a tým pádom aj celej turbíny. Rozhodujúci vplyv na účinnosť lopatkového stupňa má rýchlostný pomer  $u/c_{iz}$ . V prípade rovnotlakého lopatkovania sa táto hodnota volí v rozmedzí 0,4 až 0,5 (na päte lopatky), pričom optimum sa dosahuje pri cca 0,48. Hodnota výstupného uhlu z rozvádzacej lopatkovej mreže  $\alpha_l$  je volená v rozmedzí 13 až 18°, pričom sa uprednostňuje dolná hranica doporučených hodnôt. V tejto fáze návrhu bude uvažovaný nulový entalpický spád spracovaný v obežnej lopatkovej mreži. Stupeň reakcie  $R_p$ , vyjadrujúci pomer entalpického spádu spracovaného obežnou lopatkovou mrežou a celkového entalpického spádu spracovaného v stupni, bude zavedený v kap. 4.2.

### 4.1.1 Prehľad vzorcov použitých pri výpočte

Parametre pary na vstupe do lopatkového stupňa, resp. rozvádzacej lopatkovej mreže:

hmotnostný tok:  $m$  [kg/s]  
tlak:  $p_0$  [bar]  
teplota:  $t_0$  [°C]  
entalpia:  $i_0$  [kJ/kg]  
entropia:  $s_0$  [kJ/kgK]  
merný objem:  $v_0$  [m<sup>3</sup>/kg]  
suchosť:  $x_0$  [-]

- parametre pary na vstupe do prvého stupňa odpovedajú parametrom určeným v kap. 3.1.2
- parametre pary na vstupe do ďalších stupňov odpovedajú parametrom na výstupe z obežnej lopatkovej mreže predchádzajúceho stupňa

Pätný priemer lopatkovania:  
 $D_p$  [m]

- volený na základe doporučeného rozmedzia

Stredný priemer lopatkovania:

$$D_s = D_p + L_p \quad [\text{m}] \quad (4.1)$$

- výpočet dĺžky rozvádzacej lopatky  $L_p$  je uvedený ďalej

Obvodová rýchlosť na  $D_s$ :

$$u = \frac{\pi \cdot D_s \cdot n}{60} \quad [\text{m/s}] \quad (4.2)$$

- otáčky rotoru turbíny  $n = 3000 \text{ min}^{-1}$  sú dané zadáním práce

Rýchlostný pomer na  $D_p$ :

$$\left( \frac{u}{c_{iz}} \right)_p \quad [-]$$

- optimum volené na základe doporučenia

Rýchlostný pomer na  $D_s$ :

$$\left( \frac{u}{c_{iz}} \right)_s = \left( \frac{u}{c_{iz}} \right)_p \cdot \frac{D_s}{D_p} \quad [-] \quad (4.3)$$

Izoentropická rýchlosť na výstupe z rozv. lopatky:

$$c_{iz} = \frac{u}{\left( \frac{u}{c_{iz}} \right)_s} \quad [\text{m/s}] \quad (4.4)$$

Skutočná rýchlosť na výstupe z rozv. lopatky:

$$c_1 = \varphi \cdot c_{iz} \quad [\text{m/s}] \quad (4.5)$$

- hodnota rýchlostného súčiniteľa  $\varphi$  pre rozv. lopatky je volená ako 0,97

Izoentropický spád spracovaný v stupni:

$$h_{iz} = \frac{c_{iz}^2}{2000} \quad [\text{kJ/kg}] \quad (4.6)$$

Izoentropická entalpia za rozv. lopatkou:

$$i_{1iz} = i_0 - h_{iz} \quad [\text{kJ/kg}] \quad (4.7)$$

Strata v statore:

$$z_0 = (1 - \varphi^2) \cdot h_{iz} \quad [\text{kJ/kg}] \quad (4.8)$$

Entalpia za rozv. lopatkou:

$$i_1 = i_{1iz} + z_0 \quad [\text{kJ/kg}] \quad (4.9)$$

Merný objem za rozv. lopatkou:

$$v_l = f(p_2; i_l) \text{ [m}^3\text{/kg]} \quad (4.10)$$

- hodnota tlaku  $p_2$  bude určená ďalej

Výstupný uhol z rozv. lopatky:

$$\alpha_l \text{ [}^\circ\text{]}$$

- volený na základe doporučeného rozmedzia

Dĺžka rozvážacej lopatky pri totálnom ostreku:

$$L_t = \frac{m \cdot v_l}{\pi \cdot D_s \cdot c_1 \cdot \sin \alpha_l \cdot \varepsilon_r} \text{ [mm]} \quad (4.11)$$

- vzťah vychádza z rovnice kontinuity;

- dĺžka rozv. lopatiek všetkých stupňov vychádza dostatočná, preto nie je nutné použitie parciálneho ostreku;

- hodnota kontrakčného súčiniteľa  $\varepsilon_r$ , zohľadňujúceho hrúbku výstupnej hrany rozv. lopatky, je volená ako 0,9.

- dĺžka rozv. lopatky modulových stupňov 12 a 13 je priamo zadaná spoločnosťou DŠP

Zaokrúhlená hodnota dĺžky rozvážacej lopatky:

$$L_p \text{ [mm]} \quad (4.12)$$

Určenie typu lopatky

$$\frac{L_p}{D_s} \leq 0,1 \text{ - valcové lopatky (V)} \quad (4.13)$$

$$\frac{L_p}{D_s} > 0,1 \text{ - zbortené lopatky (Z)} \quad (4.14)$$

Účinnosť nekonečne dlhej lopatky:

$$\eta_\infty = 3,74 \cdot \left(1 - \left(\frac{u}{c_{iz}_s}\right)\right) \cdot \left(\frac{u}{c_{iz}_s}\right) \text{ [-]} \quad (4.15)$$

Strata okrajová a netesnosťou v bandáži lopatky (tesnený stupeň):

$$Z_L = \eta_\infty \cdot \frac{0,0029}{L_p} \text{ [-]} \quad (4.16)$$

Strata rozvejárením:

$$Z_{ROZV} = 0,5 \cdot \left(\frac{L_p}{D_s}\right)^2 \text{ [-]} \quad (4.17)$$

Strata trením disku:

$$Z_{VK} = 0,003 \cdot \frac{D}{L_p} \left(\frac{u}{c_{iz}_s}\right)^3 \text{ [-]} \quad (4.18)$$

Strata vplyvom vlhkosti pary:

$$Z_x = 1 - x_0 \quad [-] \quad (4.19)$$

Vnútorná termodynamická účinnosť stupňa:

$$\eta_{idi} = \eta_\infty - (Z_L + Z_{ROZV} + Z_{VK} + Z_x) \quad [-] \quad (4.20)$$

Užitočný spád spracovaný v stupni:

$$h = h_{iz} \cdot \eta_{idi} \quad [\text{kJ/kg}] \quad (4.21)$$

Vnútorný výkon stupňa:

$$P_{ST} = m \cdot h \quad [\text{kW}] \quad (4.22)$$

Parametre pary na výstupe z lopatkového stupňa, resp. obežnej lopatkovej mreže:

|           |                                      |        |
|-----------|--------------------------------------|--------|
| entalpia: | $i_2 = i_0 - h \quad [\text{kJ/kg}]$ | (4.23) |
|-----------|--------------------------------------|--------|

|       |  |        |
|-------|--|--------|
| tlak: | $p_2 = f(p_2; i_2) \quad [\text{bar}]$ | (4.24) |
|-------|--|--------|

|          |  |        |
|----------|--|--------|
| teplota: | $t_2 = f(p_2; i_2) \quad [^\circ\text{C}]$ | (4.25) |
|----------|--|--------|

|           |   |        |
|-----------|---|--------|
| entropia: | $s_2 = f(p_2; i_2) \quad [\text{kJ/kgK}]$ | (4.26) |
|-----------|---|--------|

|              |  |        |
|--------------|--|--------|
| merný objem: | $v_2 = f(p_2; i_2) \quad [\text{m}^3/\text{kg}]$ | (4.27) |
|--------------|--|--------|

|          |                               |        |
|----------|-------------------------------|--------|
| suchosť: | $x_2 = f(p_2; i_2) \quad [-]$ | (4.28) |
|----------|-------------------------------|--------|

#### 4.1.2 Súhrn vypočítaných hodnôt

| ÚSEK                               |                      | III       |           |           |           | IV        |           |           |
|------------------------------------|----------------------|-----------|-----------|-----------|-----------|-----------|-----------|-----------|
| STUPEŇ                             |                      | 1         | 2         | 3         | 4         | 5         | 6         | 7         |
| m                                  | [kg/s]               | 204,7744  | 204,7744  | 204,7744  | 204,7744  | 194,3793  | 194,3793  | 194,3793  |
| p <sub>0</sub>                     | [bar]                | 40,7289   | 33,6677   | 27,4357   | 21,9196   | 17,1930   | 13,1475   | 9,7137    |
| t <sub>0</sub>                     | [°C]                 | 568,0000  | 537,4316  | 505,4363  | 471,4283  | 435,9071  | 398,2506  | 357,7725  |
| i <sub>0</sub>                     | [kJ/kg]              | 3600,7835 | 3537,6667 | 3472,0493 | 3402,8086 | 3331,0454 | 3255,5970 | 3175,2176 |
| s <sub>0</sub>                     | [kJ/kgK]             | 7,2759    | 7,2854    | 7,2953    | 7,3059    | 7,3171    | 7,3293    | 7,3432    |
| v <sub>0</sub>                     | [m <sup>3</sup> /kg] | 0,0932    | 0,1087    | 0,1283    | 0,1537    | 0,1868    | 0,2316    | 0,2948    |
| x <sub>0</sub>                     | [-]                  | 1,0000    | 1,0000    | 1,0000    | 1,0000    | 1,0000    | 1,0000    | 1,0000    |
| D <sub>p</sub>                     | [m]                  | 1,1500    | 1,1700    | 1,2000    | 1,2200    | 1,2500    | 1,2900    | 1,3200    |
| D <sub>s</sub>                     | [m]                  | 1,2280    | 1,2590    | 1,3000    | 1,3360    | 1,3800    | 1,4430    | 1,4950    |
| u                                  | [m/s]                | 192,8938  | 197,7633  | 204,2035  | 209,8584  | 216,7699  | 226,6659  | 234,8341  |
| (u/c <sub>1iz</sub> ) <sub>p</sub> | [-]                  | 0,4800    | 0,4800    | 0,4800    | 0,4800    | 0,4800    | 0,4800    | 0,4800    |
| (u/c <sub>1iz</sub> ) <sub>s</sub> | [-]                  | 0,5126    | 0,5165    | 0,5200    | 0,5256    | 0,5299    | 0,5369    | 0,5436    |
| c <sub>1iz</sub>                   | [m/s]                | 376,3366  | 382,8816  | 392,6991  | 399,2441  | 409,0615  | 422,1515  | 431,9690  |
| φ                                  | [-]                  | 0,9700    | 0,9700    | 0,9700    | 0,9700    | 0,9700    | 0,9700    | 0,9700    |
| c <sub>1</sub>                     | [m/s]                | 365,0465  | 371,3952  | 380,9181  | 387,2667  | 396,7897  | 409,4870  | 419,0099  |
| h <sub>iz</sub>                    | [kJ/kg]              | 70,8146   | 73,2992   | 77,1063   | 79,6979   | 83,6657   | 89,1059   | 93,2986   |
| i <sub>1iz</sub>                   | [kJ/kg]              | 3529,9689 | 3464,3676 | 3394,9430 | 3323,1107 | 3247,3797 | 3166,4911 | 3081,9190 |
| z <sub>0</sub>                     | [kJ/kg]              | 4,1851    | 4,3320    | 4,5570    | 4,7101    | 4,9446    | 5,2662    | 5,5139    |
| i <sub>1</sub>                     | [kJ/kg]              | 3534,1540 | 3468,6995 | 3399,5000 | 3327,8208 | 3252,3243 | 3171,7572 | 3087,4329 |
| v <sub>1</sub>                     | [m <sup>3</sup> /kg] | 0,1085    | 0,1280    | 0,1534    | 0,1864    | 0,2310    | 0,2940    | 0,3848    |
| α <sub>1</sub>                     | [°]                  | 13,0000   | 13,0000   | 13,0000   | 13,0000   | 13,0000   | 13,0000   | 14,0000   |
| L <sub>t</sub>                     | [mm]                 | 77,9305   | 88,1470   | 99,7181   | 115,9833  | 128,9253  | 152,0747  | 174,5466  |
| L <sub>p</sub>                     | [mm]                 | 78,0000   | 89,0000   | 100,0000  | 116,0000  | 129,0000  | 153,0000  | 175,0000  |
| ε                                  | [-]                  | 1,0000    | 1,0000    | 1,0000    | 1,0000    | 1,0000    | 1,0000    | 1,0000    |
| L <sub>p</sub> /D <sub>s</sub>     | [-]                  | 0,0635    | 0,0707    | 0,0769    | 0,0868    | 0,0935    | 0,1060    | 0,1171    |
| typ lopatky                        |                      | V         | V         | V         | V         | V         | Z         | Z         |
| η <sub>∞</sub>                     | [-]                  | 0,9344    | 0,9340    | 0,9335    | 0,9325    | 0,9317    | 0,9299    | 0,9279    |
| Z <sub>L</sub>                     | [-]                  | 0,0347    | 0,0304    | 0,0271    | 0,0233    | 0,0209    | 0,0176    | 0,0154    |
| Z <sub>ROZV</sub>                  | [-]                  | 0,0020    | 0,0025    | 0,0030    | 0,0038    | 0,0044    | 0,0056    | 0,0069    |
| Z <sub>VK</sub>                    | [-]                  | 0,0064    | 0,0058    | 0,0055    | 0,0050    | 0,0048    | 0,0044    | 0,0041    |
| Δη <sub>D</sub>                    | [-]                  | 0,0000    | 0,0000    | 0,0000    | 0,0000    | 0,0000    | 0,0000    | 0,0000    |
| Z <sub>x</sub>                     | [-]                  | 0,0000    | 0,0000    | 0,0000    | 0,0000    | 0,0000    | 0,0000    | 0,0000    |
| η <sub>tdi</sub>                   | [-]                  | 0,8913    | 0,8952    | 0,8980    | 0,9004    | 0,9016    | 0,9023    | 0,9015    |
| h                                  | [kJ/kg]              | 63,1168   | 65,6175   | 69,2407   | 71,7632   | 75,4299   | 80,3979   | 84,1118   |
| P <sub>ST</sub>                    | [MW]                 | 12,9247   | 13,4368   | 14,1788   | 14,6953   | 14,6620   | 15,6277   | 16,3496   |
| i <sub>2</sub>                     | [kJ/kg]              | 3537,6667 | 3472,0493 | 3402,8086 | 3331,0454 | 3255,6155 | 3175,1991 | 3091,1058 |
| p <sub>2</sub>                     | [bar]                | 33,6677   | 27,4357   | 21,9196   | 17,1930   | 13,1475   | 9,7137    | 6,9250    |
| t <sub>2</sub>                     | [°C]                 | 537,4316  | 505,4363  | 471,4283  | 435,9071  | 398,2592  | 357,7638  | 315,0133  |
| s <sub>2</sub>                     | [kJ/kgK]             | 7,2854    | 7,2953    | 7,3059    | 7,3171    | 7,3293    | 7,3432    | 7,3588    |
| v <sub>2</sub>                     | [m <sup>3</sup> /kg] | 0,1087    | 0,1283    | 0,1537    | 0,1868    | 0,2316    | 0,2948    | 0,3860    |
| x <sub>2</sub>                     | [-]                  | 1,0000    | 1,0000    | 1,0000    | 1,0000    | 1,0000    | 1,0000    | 1,0000    |

Tab. 4.1: Parametre prietocnej casti ST-NT dielu.

| ÚSEK                               |                      | V         | VI        | VII       | VIII      |           |           |
|------------------------------------|----------------------|-----------|-----------|-----------|-----------|-----------|-----------|
| STUPEŇ                             |                      | 8         | 9         | 10        | 11        | 12        | 13        |
| m                                  | [kg/s]               | 188,3506  | 183,2658  | 58,2552   | 42,4133   | 42,4133   | 42,4133   |
| p <sub>0</sub>                     | [bar]                | 6,9249    | 4,7294    | 3,0642    | 1,3737    | 0,5258    | 0,1759    |
| t <sub>0</sub>                     | [°C]                 | 315,0044  | 269,8536  | 222,4177  | 144,4069  | 82,5741   | 57,3095   |
| i <sub>0</sub>                     | [kJ/kg]              | 3091,0873 | 3003,1113 | 2911,5546 | 2762,5482 | 2612,8442 | 2472,7776 |
| s <sub>0</sub>                     | [kJ/kgK]             | 7,3588    | 7,3766    | 7,3977    | 7,4362    | 7,4790    | 7,5542    |
| v <sub>0</sub>                     | [m <sup>3</sup> /kg] | 0,3860    | 0,5223    | 0,7365    | 1,3857    | 3,0449    | 8,1486    |
| x <sub>0</sub>                     | [-]                  | 1,0000    | 1,0000    | 1,0000    | 1,0000    | 0,9850    | 0,9444    |
| D <sub>p</sub>                     | [m]                  | 1,3500    | 1,3800    | 1,7550    | 1,7550    | 1,7550    | 1,7300    |
| D <sub>s</sub>                     | [m]                  | 1,5310    | 1,6000    | 1,8760    | 1,9430    | 2,2090    | 2,6850    |
| u                                  | [m/s]                | 240,4889  | 251,3274  | 294,6814  | 305,2057  | 346,9889  | 421,7588  |
| (u/c <sub>1iz</sub> ) <sub>p</sub> | [-]                  | 0,4800    | 0,4800    | 0,4800    | 0,4800    | 0,4800    | 0,4800    |
| (u/c <sub>1iz</sub> ) <sub>s</sub> | [-]                  | 0,5444    | 0,5565    | 0,5131    | 0,5314    | 0,6042    | 0,7450    |
| c <sub>1iz</sub>                   | [m/s]                | 441,7865  | 451,6039  | 574,3224  | 574,3224  | 574,3224  | 566,1412  |
| φ                                  | [-]                  | 0,9700    | 0,9700    | 0,9700    | 0,9700    | 0,9700    | 0,9700    |
| c <sub>1</sub>                     | [m/s]                | 428,5329  | 438,0558  | 557,0927  | 557,0927  | 557,0927  | 549,1569  |
| h <sub>iz</sub>                    | [kJ/kg]              | 97,5876   | 101,9731  | 164,9231  | 164,9231  | 164,9231  | 160,2579  |
| i <sub>1iz</sub>                   | [kJ/kg]              | 2993,4997 | 2901,1382 | 2746,6315 | 2597,6251 | 2447,9211 | 2312,5196 |
| z <sub>0</sub>                     | [kJ/kg]              | 5,7674    | 6,0266    | 9,7470    | 9,7470    | 9,7470    | 9,4712    |
| i <sub>1</sub>                     | [kJ/kg]              | 2999,2671 | 2907,1648 | 2756,3784 | 2607,3720 | 2457,6680 | 2321,9909 |
| v <sub>1</sub>                     | [m <sup>3</sup> /kg] | 0,5204    | 0,7332    | 1,3750    | 3,0376    | 8,0935    | 23,7809   |
| α <sub>1</sub>                     | [°]                  | 17,0000   | 18,0000   | 13,0000   | 13,0000   | 17,0000   | 20,0000   |
| L <sub>t</sub>                     | [mm]                 | 180,7414  | 219,4091  | 120,5012  | 187,1317  | -         | -         |
| L <sub>p</sub>                     | [mm]                 | 181,0000  | 220,0000  | 121,0000  | 188,0000  | 454,0000  | 955,0000  |
| ε                                  | [-]                  | 1,0000    | 1,0000    | 1,0000    | 1,0000    | 1,0000    | 1,0000    |
| L <sub>p</sub> /D <sub>s</sub>     | [-]                  | 0,1182    | 0,1375    | 0,0645    | 0,0968    | 0,2055    | 0,3557    |
| typ lopatky                        |                      | Z         | Z         | V         | V         | Z         | Z         |
| η <sup>∞</sup>                     | [-]                  | 0,9276    | 0,9231    | 0,9344    | 0,9313    | 0,8944    | 0,7106    |
| Z <sub>L</sub>                     | [-]                  | 0,0149    | 0,0122    | 0,0224    | 0,0144    | 0,0057    | 0,0022    |
| Z <sub>ROZV</sub>                  | [-]                  | 0,0070    | 0,0095    | 0,0021    | 0,0047    | 0,0211    | 0,0633    |
| Z <sub>VK</sub>                    | [-]                  | 0,0041    | 0,0038    | 0,0063    | 0,0047    | 0,0032    | 0,0035    |
| Δη <sub>D</sub>                    | [-]                  | 0,0000    | 0,0000    | 0,0000    | 0,0000    | 0,0000    | 0,0000    |
| Z <sub>x</sub>                     | [-]                  | 0,0000    | 0,0000    | 0,0000    | 0,0000    | 0,0150    | 0,0556    |
| η <sub>tdi</sub>                   | [-]                  | 0,9017    | 0,8977    | 0,9036    | 0,9076    | 0,8494    | 0,5861    |
| h                                  | [kJ/kg]              | 87,9945   | 91,5382   | 149,0249  | 149,6855  | 140,0839  | 93,9261   |
| P <sub>ST</sub>                    | [MW]                 | 16,5738   | 16,7758   | 8,6815    | 6,3487    | 5,9414    | 3,9837    |
| i <sub>2</sub>                     | [kJ/kg]              | 3003,0928 | 2911,5731 | 2762,5297 | 2612,8626 | 2472,7602 | 2378,8515 |
| p <sub>2</sub>                     | [bar]                | 4,7294    | 3,0643    | 1,3737    | 0,5258    | 0,1759    | 0,0536    |
| t <sub>2</sub>                     | [°C]                 | 269,8445  | 222,4269  | 144,3975  | 82,5756   | 57,30;79  | 34,1105   |
| s <sub>2</sub>                     | [kJ/kgK]             | 7,3766    | 7,3978    | 7,4362    | 7,4790    | 7,5542    | 7,7701    |
| v <sub>2</sub>                     | [m <sup>3</sup> /kg] | 0,5223    | 0,7365    | 1,3857    | 3,0448    | 8,1491    | 24,3995   |
| x <sub>2</sub>                     | [-]                  | 1,0000    | 1,0000    | 1,0000    | 0,9850    | 0,9444    | 0,9239    |

Tab. 4.2: Parametre prietočnej časti ST-NT dielu (pokračovanie).

### 4.1.3 Lopatkový plán

Návrh lopatkového kanálu je graficky zobrazený na nasledujúcom obrázku, pričom sú znázornené pätné priemery a dĺžky rozvádzacích lopatiek. Pri návrhu sa prihliadalo na požadované parametre regenerácie, plynulosť tvaru lopatkového kanálu a čo najmenší počet stupňov, z dôvodu zachovania pôvodnej ložiskovej vzdialenosti a z ekonomického hľadiska.



Obr. 4.2: Lopatkový plán.

Prietočná časť ST-NT dielu turbíny teda pozostáva z 13 stupňov, regeneračné odbery boli umiestnené za 4., 7., 8., 9. a 10. stupeň.

### 4.1.4 Výpočet skutočného výkonu a účinnosti ST-NT dielu

Vnútorňý výkon jednotlivých úsekov:

$$P_i = \sum_{i=III}^{VIII} P_{ST_i} \text{ [kW]} \quad (4.29)$$

Užitočný spád spracovaný v jednotlivých úsekoch:

$$H = \sum_{i=III}^{VIII} h_i \text{ [kJ/kg]} \quad (4.30)$$

Izoentropický spád spracovaný v jednotlivých úsekoch:

$$H_{iz} = i_0 - i_{2,iz} \text{ [kJ/kg]} \quad (4.31)$$

- entalpia  $i_0$  v tomto prípade predstavuje entalpiu pary na vstupe do daného úseku
- entalpia  $i_{2,iz}$  predstavuje izoentropickú entalpiu pary na výstupe z daného úseku

Vnútorňá termodynamická účinnosť

$$\eta_{tdi} = \frac{H}{H_{iz}} \cdot 100 \text{ [%]} \quad (4.32)$$

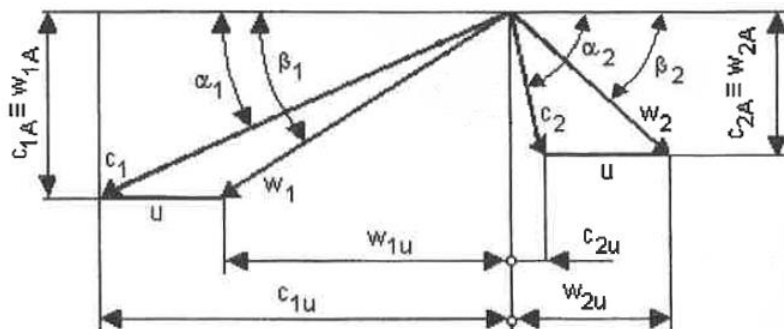
Teplo vznikajúce zo strát v každom stupni mnohostupňovej turbíny je čiastočne využité v stupni nasledujúcom. Pri uvažovaní strát bude teda v i-s diagrame teplota a entalpia pre



## 4.2 Výpočet rýchlostí v rýchlostných trojuholníkoch

Rýchlostné trojuholníky predstavujú detailné grafické znázornenie jednotlivých rýchlostí v lopatkovom kanále. Výpočtom, ktorý predchádza tomuto znázorneniu, budú stanovené veľkosti a smery rýchlostí pary v mieste medzi lopatkovými mrežami a na výstupe z lopatkového stupňa.

Para vstupuje do lopatkového kanála s absolútnou rýchlosťou  $c_0$  a je urýchlená v rozvádzacej lopatkovej mreži na rýchlosť  $c_1$ . Vzhľadom k hodnote veľkosti rýchlosti  $c_1$  je možné rýchlosť  $c_0$ , ktorá je približne zhodná s rýchlosťou pary v prívodnom potrubí, vo výpočte zanedbať. Otáčanie rotoru obvodovou rýchlosťou  $u$  spôsobí, že sa rýchlosť  $c_1$  javí voči statickému súradnému systému rotoru ako relatívna. Rýchlosť pary na vstupe do obežnej lopatkovej mreže je preto označovaná ako relatívna rýchlosť  $w_1$  a predstavuje vektorový rozdiel absolútnej rýchlosti  $c_1$  a obvodovej rýchlosti  $u$ . Ako už bolo spomenuté, v tejto kapitole bude uvažovaný malý entalpický spád spracovávaný obežnými lopatkami. Z tohto dôvodu dochádza v medzilopatkovom kanále rotoru aj k čiastočnému urýchľovaniu pary. Absolútna rýchlosť pary na výstupe z lopatkového stupňa  $c_2$  je potom daná vektorovým súčtom relatívnej rýchlosti  $w_2$  a obvodovej rýchlosti  $u$ . Pomocou stanovených rýchlostí je následne možné goniometrickými funkciami určiť uhly prúdu pary v uvažovaných miestach  $\alpha_1, \beta_1, \alpha_2$  a  $\beta_2$ .



Obr. 4.4: Rýchlostný trojuholník s označením jednotlivých rýchlostí a uhlov. [3]

Pri návrhu lopatkového kanálu sa kladie dôraz na čo najplynulejší prechod prúdu pary z obežnej lopatkovej mreže do rozvádzacej lopatkovej mreže nasledujúceho stupňa. Z tohto dôvodu je snahou dosiahnuť hodnotu  $\alpha_2$  blízku  $90^\circ$  pre každý stupeň. U zborných lopatiek budú všetky hodnoty výpočtu uvažované na pätnom priemere. Tento postup predstavuje zjednodušenie, pretože detailný výpočet s uvažovaním premenlivej obvodovej rýchlosti po celej dĺžke lopatky je nad rámec práce.

### 4.2.1 Prehľad vzorcov použitých pri výpočte

Obvodová rýchlosť:

$$u = \frac{\pi \cdot D_s \cdot n}{60} \text{ [m/s]} - \text{valcové lopatky} \quad (4.34)$$

$$u = \frac{\pi \cdot D_p \cdot n}{60} \text{ [m/s]} - \text{zbortené lopatky} \quad (4.35)$$

Stupeň reakcie na  $D_p$ :

$R_p$  [-]

- hodnota volená na základe doporučenia ako 0,03

Stupeň reakcie na  $D_s$ :

$$R_s = 1 - \left( \frac{D_p}{D_s} \right)^{2(\varphi \cdot \cos \alpha_1)^2} \cdot (1 - R_p) \quad (4.36)$$

Absolútna rýchlosť na výstupe z rozv. lopatiek:

$$c_1 = \varphi \cdot \sqrt{2000 \cdot (1 - R_s) \cdot h_{iz}} \quad [\text{m/s}] \quad (4.37)$$

- pre zbortené lopatky je uvažovaný stupeň reakcie  $R_p$

Zložky rýchlostí do obvodového smeru:

$$c_{1u} = c_1 \cdot \cos \alpha \quad [\text{m/s}] \quad (4.38)$$

$$w_{1u} = c_{1u} - u \quad [\text{m/s}] \quad (4.39)$$

Zložky rýchlostí do axiálneho smeru:

$$c_{1a} = c_1 \cdot \sin \alpha \quad [\text{m/s}] \quad (4.40)$$

$$w_{1a} = c_{1a} \quad [\text{m/s}] \quad (4.41)$$

Relatívna rýchlosť na výstupe z rozv. lopatiek:

$$w_1 = \sqrt{w_{1u}^2 + w_{1a}^2} \quad [\text{m/s}] \quad (4.42)$$

Uhol relatívnej rýchlosti  $w_1$ :

$$\beta_1 = \arccos \left( \frac{w_{1u}}{w_1} \right) \quad [^\circ] \quad (4.43)$$

Rýchlostný súčiniteľ  $\psi$  pre ob. lopatky:

$$\psi = -1,0714 \cdot 10^{-5} \cdot (\beta_1 + \beta_2)^2 + 0,002964 \cdot (\beta_1 + \beta_2) + 0,7507 \quad [-] \quad (4.44)$$

Uhol relatívnej rýchlosti  $w_2$ :

$\beta_2$  [°]

- hodnota volená na základe uhla  $\beta_1$  daného profilu v kap. 4.4

Relatívna rýchlosť na výstupe z ob. lopatiek:

$$w_2 = \psi \cdot \sqrt{w_1^2 + 2000 \cdot R_s \cdot h_{iz}} \quad [\text{m/s}] \quad (4.45)$$

- pre zbortené lopatky je opäť uvažovaný stupeň reakcie  $R_p$

Zložky rýchlostí do obvodového smeru:

$$w_{2u} = w_2 \cdot \cos \beta_2 \quad [\text{m/s}] \quad (4.46)$$

$$c_{2u} = w_{2u} - u \quad [\text{m/s}] \quad (4.47)$$

Zložky rýchlostí do axiálneho smeru:

$$w_{2a} = w_2 \cdot \sin \beta_2 \text{ [m/s]} \quad (4.48)$$

$$w_{2a} = c_{2a} \text{ [m/s]} \quad (4.49)$$

Absolútna rýchlosť na výstupe z ob. lopatiek:

$$c_2 = \sqrt{c_{2u}^2 + c_{2a}^2} \text{ [m/s]} \quad (4.50)$$

Uhol absolútnej rýchlosti  $c_2$ :

$$\alpha_2 = \arccos\left(\frac{c_{2u}}{c_2}\right) [^\circ] \quad (4.51)$$

#### 4.2.2 Súhrn vypočítaných hodnôt

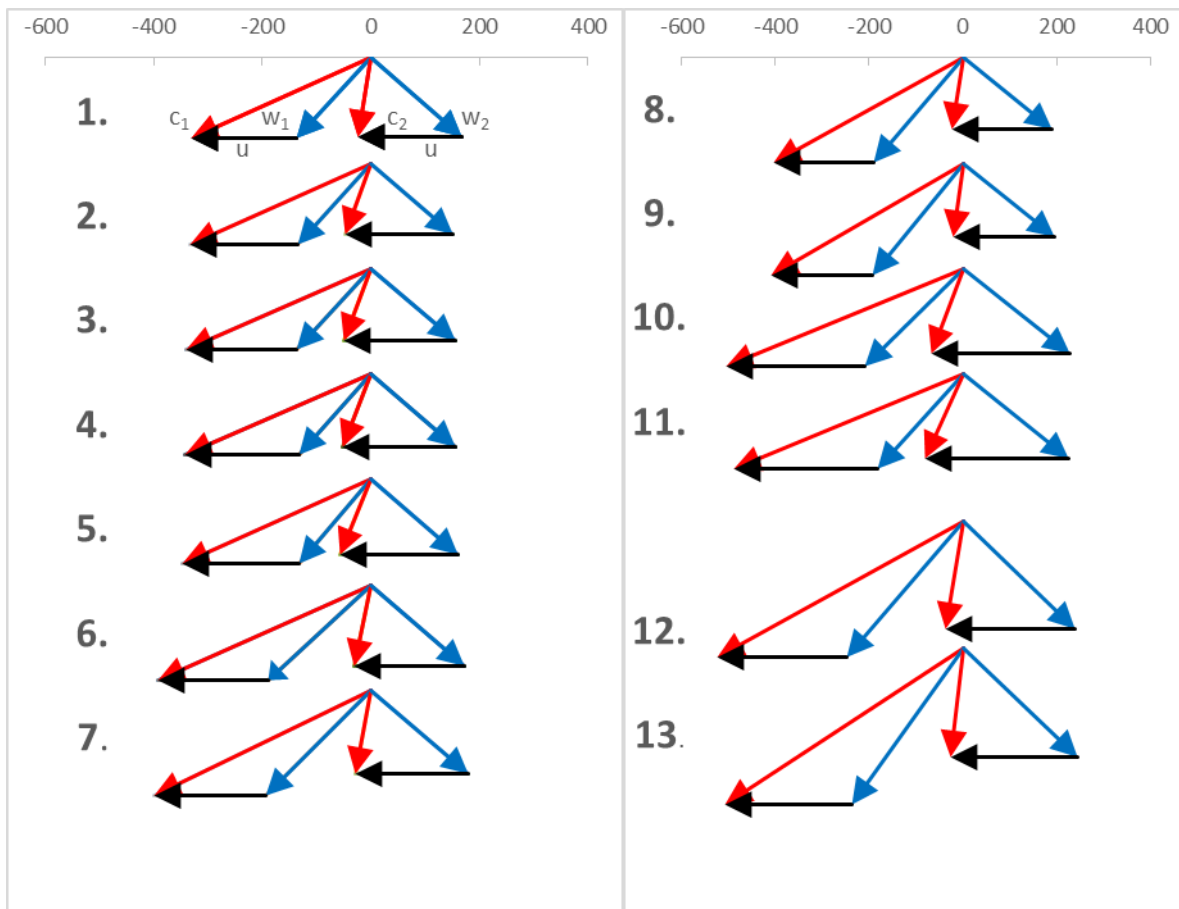
| ÚSEK            |         | III      |          |          |          | IV       |          |          |
|-----------------|---------|----------|----------|----------|----------|----------|----------|----------|
| STUPEŇ          |         | 1        | 2        | 3        | 4        | 5        | 6        | 7        |
| typ lopatky     |         | V        | V        | V        | V        | V        | Z        | Z        |
| $D_p$           | [m]     | 1,1500   | 1,1700   | 1,2000   | 1,2200   | 1,2500   | 1,2900   | 1,3200   |
| $D_s$           | [m]     | 1,2280   | 1,2590   | 1,3000   | 1,3360   | 1,3790   | 1,4430   | 1,4950   |
| $u$             | [m/s]   | 192,8938 | 197,7633 | 204,2035 | 209,8584 | 216,6128 | 202,6327 | 207,3451 |
| $h_{iz}$        | [kJ/kg] | 70,8146  | 73,2992  | 77,1063  | 79,6979  | 83,6657  | 89,1059  | 93,2986  |
| $\alpha_1$      | [°]     | 13,0000  | 13,0000  | 13,0000  | 13,0000  | 13,0000  | 13,0000  | 14,0000  |
| $R_p$           | [-]     | 0,0300   | 0,0300   | 0,0300   | 0,0300   | 0,0300   | 0,0300   | 0,0300   |
| $R_s$           | [-]     | 0,1373   | 0,1491   | 0,1593   | 0,1753   | 0,1861   | 0,2060   | 0,2220   |
| $c_1$           | [m/s]   | 339,0587 | 342,5941 | 349,2729 | 351,6891 | 357,9676 | 403,2979 | 412,6769 |
| $c_{1u}$        | [m/s]   | 330,3687 | 333,8135 | 340,3211 | 342,6753 | 348,7929 | 392,9614 | 400,4186 |
| $w_{1u}$        | [m/s]   | 137,4749 | 136,0502 | 136,1176 | 132,8169 | 132,1801 | 190,3287 | 193,0735 |
| $c_{1a}=w_{1a}$ | [m/s]   | 76,2716  | 77,0669  | 78,5693  | 79,1128  | 80,5252  | 90,7223  | 99,8356  |
| $w_1$           | [m/s]   | 157,2155 | 156,3617 | 157,1659 | 154,5936 | 154,7769 | 210,8448 | 217,3581 |
| $\beta_1$       | [°]     | 29,0217  | 29,5298  | 29,9943  | 30,7803  | 31,3501  | 25,4853  | 27,3428  |
| $\psi$          | [-]     | 0,8777   | 0,8787   | 0,8795   | 0,8809   | 0,8819   | 0,8711   | 0,8746   |
| $\beta_2$       | [°]     | 24,0000  | 24,0000  | 24,0000  | 24,0000  | 24,0000  | 24,0000  | 24,0000  |
| $w_2$           | [m/s]   | 184,4587 | 165,2646 | 169,1309 | 171,4284 | 175,3403 | 189,1167 | 195,6598 |
| $w_{2u}$        | [m/s]   | 168,5114 | 150,9767 | 154,5088 | 156,6077 | 160,1813 | 172,7667 | 178,7442 |
| $c_{2u}$        | [m/s]   | -24,3824 | -46,7865 | -49,6947 | -53,2507 | -56,4315 | -29,8661 | -28,6010 |
| $c_{2a}=w_{2a}$ | [m/s]   | 75,0261  | 67,2192  | 68,7918  | 69,7262  | 71,3173  | 76,9207  | 79,5820  |
| $c_2$           | [m/s]   | 78,8886  | 81,8987  | 84,8638  | 87,7347  | 90,9433  | 82,5153  | 84,5654  |
| $\alpha_2$      | [°]     | 108,0034 | 124,8390 | 125,8441 | 127,3694 | 128,3536 | 111,2197 | 109,7679 |

Tab. 4.3: Rýchlostné trojuholníky.

| ÚSEK            |         | V        | VI       | VII      | VIII     |          |          |
|-----------------|---------|----------|----------|----------|----------|----------|----------|
| STUPEŇ          |         | 8        | 9        | 10       | 11       | 12       | 13       |
| typ lopatky     |         | Z        | Z        | V        | V        | Z        | Z        |
| $D_p$           | [m]     | 1,3500   | 1,3800   | 1,7550   | 1,7550   | 1,7550   | 1,7300   |
| $D_s$           | [m]     | 1,5310   | 1,6000   | 1,8760   | 1,9430   | 2,2090   | 2,6850   |
| $u$             | [m/s]   | 212,0575 | 216,7699 | 294,6814 | 305,2057 | 275,6748 | 271,7478 |
| $h_{iz}$        | [kJ/kg] | 97,5876  | 101,9731 | 164,9231 | 164,9231 | 164,9231 | 160,2579 |
| $\alpha_1$      | [°]     | 17,0000  | 18,0000  | 13,0000  | 13,0000  | 17,0000  | 20,0000  |
| $R_p$           | [-]     | 0,0300   | 0,0300   | 0,0300   | 0,0300   | 0,0300   | 0,0300   |
| $R_s$           | [-]     | 0,2188   | 0,2459   | 0,1389   | 0,1913   | 0,3471   | 0,5327   |
| $C_1$           | [m/s]   | 422,0559 | 431,4350 | 516,9489 | 500,9956 | 548,6727 | 540,8569 |
| $C_{1u}$        | [m/s]   | 403,6141 | 410,3190 | 503,6995 | 488,1551 | 524,6983 | 508,2392 |
| $w_{1u}$        | [m/s]   | 191,5566 | 193,5491 | 209,0181 | 182,9494 | 249,0236 | 236,4914 |
| $C_{1a}=w_{1a}$ | [m/s]   | 123,3972 | 133,3207 | 116,2882 | 112,6995 | 160,4164 | 184,9839 |
| $w_1$           | [m/s]   | 227,8614 | 235,0227 | 239,1893 | 214,8759 | 296,2198 | 300,2453 |
| $\beta_1$       | [°]     | 32,7889  | 34,5599  | 29,0896  | 31,6337  | 32,7889  | 38,0326  |
| $\psi$          | [-]     | 0,8845   | 0,8875   | 0,8779   | 0,8824   | 0,8913   | 0,8997   |
| $\beta_2$       | [°]     | 24,0000  | 24,0000  | 24,0000  | 24,0000  | 28,0000  | 28,0000  |
| $w_2$           | [m/s]   | 207,1406 | 214,2883 | 248,4882 | 245,9985 | 271,3582 | 277,2418 |
| $w_{2u}$        | [m/s]   | 189,2323 | 195,7621 | 227,0053 | 224,7308 | 239,5951 | 244,7900 |
| $C_{2u}$        | [m/s]   | -22,8252 | -21,0078 | -67,6761 | -80,4749 | -36,0797 | -26,9578 |
| $C_{2a}=w_{2a}$ | [m/s]   | 84,2517  | 87,1589  | 101,0693 | 100,0566 | 127,3950 | 130,1571 |
| $C_2$           | [m/s]   | 87,2888  | 89,6549  | 121,6349 | 128,4038 | 132,4055 | 132,9195 |
| $\alpha_2$      | [°]     | 105,1585 | 103,5515 | 123,8063 | 128,8095 | 105,8127 | 101,7015 |

Tab. 4.4: Rýchlostné trojuholníky (pokračovanie).

### 4.2.3 Grafické znázornenie rýchlostných trojuholníkov



Obr. 4.5: Rýchlostné trojuholníky stupňov ST-NT dielu.

### 4.3 Parametre pary za lopatkovými mrežami

Parametre pary za jednotlivými lopatkovými mrežami budú určené na základe energetických strát, ktoré vychádzajú zo stupňov reakcie a rýchlostných súčiniteľov stanovených v predchádzajúcej kapitole.

Izoentropický spád spracovaný v rozv. lopatkovej mreži:

$$\text{- valcové lopatky: } h_{iz}^{RL} = (1 - R_s) \cdot h_{iz} \text{ [kJ/kg]} \quad (4.52)$$

$$\text{- zborné lopatky: } h_{iz}^{RL} = (1 - R_p) \cdot h_{iz} \text{ [kJ/kg]} \quad (4.53)$$

Energetické straty v rozv. lopatkovej mreži:

$$Z^{RL} = (1 - \varphi^2) \cdot h_{iz}^{RL} \text{ [kJ/kg]} \quad (4.54)$$

Parametre pary za rozv. lopatkovou mrežou:

$$\text{iz. entalpia: } i_{1iz}^{RL} = i_0 - h_{iz}^{RL} \text{ [kJ/kg]} \quad (4.55)$$

$$\text{entalpia: } i_1^{RL} = i_{1iz}^{RL} + Z^{RL} \text{ [kJ/kg]} \quad (4.56)$$

$$\text{tlak:} \quad p_1^{RL} = f(i_{1iz}^{RL}; s_0) \text{ [bar]} \quad (4.57)$$

$$\text{teplota:} \quad t_1^{RL} = f(p_1^{RL}; i_1^{RL}) \text{ [}^\circ\text{C]} \quad (4.58)$$

$$\text{entropia:} \quad s_1^{RL} = f(p_1^{RL}; i_1^{RL}) \text{ [kJ/kgK]} \quad (4.59)$$

$$\text{merný objem:} \quad v_1^{RL} = f(p_1^{RL}; i_1^{RL}) \text{ [m}^3\text{/kg]} \quad (4.60)$$

Izoentropický spád spracovaný v ob. lopatkovej mreži:

$$\text{- valcové lopatky:} \quad h_{iz}^{OL} = R_s \cdot h_{iz} \text{ [kJ/kg]} \quad (4.61)$$

$$\text{- zborné lopatky:} \quad h_{iz}^{OL} = R_p \cdot h_{iz} \text{ [kJ/kg]} \quad (4.62)$$

Energetické straty v ob. lopatkovej mreži:

$$Z^{OL} = (1 - \psi^2) \cdot \frac{w_1^2}{2000} \text{ [kJ/kg]} \quad (4.63)$$

Parametre pary za rozv. lopatkovou mrežou:

$$\text{iz. entalpia:} \quad i_{2iz}^{OL} = i_1^{RL} - h_{iz}^{OL} \text{ [kJ/kg]} \quad (4.64)$$

$$\text{entalpia:} \quad i_2^{OL} = i_{2iz}^{OL} + Z^{OL} \text{ [kJ/kg]} \quad (4.65)$$

$$\text{tlak:} \quad p_2^{OL} = f(i_{2iz}^{OL}; s_1^{RL}) \text{ [bar]} \quad (4.66)$$

$$\text{teplota:} \quad t_2^{OL} = f(p_2^{OL}; i_2^{OL}) \text{ [}^\circ\text{C]} \quad (4.67)$$

$$\text{entropia:} \quad s_2^{OL} = f(p_2^{OL}; i_2^{OL}) \text{ [kJ/kgK]} \quad (4.68)$$

$$\text{merný objem:} \quad v_2^{OL} = f(p_2^{OL}; i_2^{OL}) \text{ [m}^3\text{/kg]} \quad (4.69)$$

Výsledné hodnoty sú uvedené v tabuľke:

| ÚSEK           |                      | III       |           |           |           | IV        |           |           |
|----------------|----------------------|-----------|-----------|-----------|-----------|-----------|-----------|-----------|
| STUPEŇ         |                      | 1         | 2         | 3         | 4         | 5         | 6         | 7         |
| $h_{iz}$       | [kJ/kg]              | 70,8146   | 73,2992   | 77,1063   | 79,6979   | 83,6657   | 89,1059   | 93,2986   |
| $R_p$          | [-]                  | 0,0300    | 0,0300    | 0,0300    | 0,0300    | 0,0300    | 0,0300    | 0,0300    |
| $R_s$          | [-]                  | 0,1373    | 0,1491    | 0,1593    | 0,1753    | 0,1861    | 0,2060    | 0,2220    |
| $h_{iz}^{RL}$  | [kJ/kg]              | 61,0909   | 62,3715   | 64,8271   | 65,7271   | 68,0948   | 86,4328   | 90,4996   |
| $Z^{RL}$       | [kJ/kg]              | 3,6105    | 3,6862    | 3,8313    | 3,8845    | 4,0244    | 5,1082    | 5,3485    |
| $i_{1iz}^{RL}$ | [kJ/kg]              | 3539,6926 | 3475,2952 | 3407,2222 | 3337,0815 | 3262,9505 | 3169,1827 | 3084,6995 |
| $i_1^{RL}$     | [kJ/kg]              | 3543,3031 | 3478,9813 | 3411,0535 | 3340,9660 | 3266,9750 | 3174,2909 | 3090,0480 |
| $p_1^{RL}$     | [bar]                | 34,5756   | 28,3021   | 22,7342   | 17,9579   | 13,8376   | 9,8054    | 6,9983    |
| $t_1^{RL}$     | [°C]                 | 540,3072  | 508,9502  | 475,6058  | 440,9387  | 404,0491  | 357,4189  | 314,5904  |
| $s_1^{RL}$     | [kJ/kgK]             | 7,2803    | 7,2901    | 7,3004    | 7,3113    | 7,3230    | 7,3374    | 7,3523    |
| $v_1^{RL}$     | [m <sup>3</sup> /kg] | 0,1062    | 0,1249    | 0,1490    | 0,1801    | 0,2218    | 0,2919    | 0,3816    |
| $h_{iz}^{OL}$  | [kJ/kg]              | 9,7237    | 10,9276   | 12,2792   | 13,9708   | 15,5709   | 2,6732    | 2,7990    |
| $Z^{OL}$       | [kJ/kg]              | 2,8372    | 2,7866    | 2,7971    | 2,6765    | 2,6614    | 5,3595    | 5,5515    |
| $i_{2iz}^{OL}$ | [kJ/kg]              | 3533,5793 | 3468,0537 | 3398,7743 | 3326,9951 | 3251,4041 | 3171,6177 | 3087,2491 |
| $i_2^{OL}$     | [kJ/kg]              | 3536,4166 | 3470,8403 | 3401,5713 | 3329,6717 | 3254,0655 | 3176,9772 | 3092,8005 |
| $p_2^{OL}$     | [bar]                | 33,6688   | 27,4373   | 21,9220   | 17,1957   | 13,1500   | 9,7144    | 6,9254    |
| $t_2^{OL}$     | [°C]                 | 536,8802  | 504,8967  | 470,8694  | 435,2786  | 397,5402  | 358,6030  | 315,8242  |
| $s_2^{OL}$     | [kJ/kgK]             | 7,2838    | 7,2937    | 7,3041    | 7,3151    | 7,3269    | 7,3459    | 7,3617    |
| $v_2^{OL}$     | [m <sup>3</sup> /kg] | 0,1086    | 0,1282    | 0,1536    | 0,1866    | 0,2313    | 0,2952    | 0,3865    |

Tab. 4.5: Parametre pary za lopatkovými radami.

| ÚSEK           |                      | V         | VI        | VII       | VIII      |           |           |
|----------------|----------------------|-----------|-----------|-----------|-----------|-----------|-----------|
| STUPEŇ         |                      | 8         | 9         | 10        | 11        | 12        | 13        |
| $h_{iz}$       | [kJ/kg]              | 97,5876   | 101,9731  | 164,9231  | 164,9231  | 164,9231  | 160,2579  |
| $R_p$          | [-]                  | 0,0300    | 0,0300    | 0,0300    | 0,0300    | 0,0300    | 0,0300    |
| $R_s$          | [-]                  | 0,2188    | 0,2459    | 0,1389    | 0,1913    | 0,3471    | 0,5327    |
| $h_{iz}^{RL}$  | [kJ/kg]              | 94,6600   | 98,9139   | 142,0109  | 133,3811  | 159,9754  | 155,4502  |
| $Z^{RL}$       | [kJ/kg]              | 5,5944    | 5,8458    | 8,3928    | 7,8828    | 9,4545    | 9,1871    |
| $i_{1iz}^{RL}$ | [kJ/kg]              | 2996,4458 | 2904,1789 | 2769,5621 | 2629,1486 | 2452,8872 | 2317,3101 |
| $i_1^{RL}$     | [kJ/kg]              | 3002,0402 | 2910,0247 | 2777,9550 | 2637,0314 | 2462,3418 | 2326,4972 |
| $p_1^{RL}$     | [bar]                | 4,7863    | 3,1064    | 1,5505    | 0,6397    | 0,1821    | 0,0556    |
| $t_1^{RL}$     | [°C]                 | 269,4179  | 221,7532  | 152,6860  | 87,5780   | 58,0503   | 34,7903   |
| $s_1^{RL}$     | [kJ/kgK]             | 7,3692    | 7,3884    | 7,4176    | 7,4580    | 7,5076    | 7,5840    |
| $v_1^{RL}$     | [m <sup>3</sup> /kg] | 0,5156    | 0,7254    | 1,2515    | 2,5521    | 7,8445    | 22,9804   |
| $h_{iz}^{OL}$  | [kJ/kg]              | 2,9276    | 3,0592    | 22,9122   | 31,5420   | 4,9477    | 4,8077    |
| $Z^{OL}$       | [kJ/kg]              | 5,6519    | 5,8630    | 6,5611    | 5,1090    | 9,0206    | 8,5880    |
| $i_{2iz}^{OL}$ | [kJ/kg]              | 2999,1126 | 2906,9656 | 2755,0428 | 2605,4894 | 2457,3941 | 2321,6894 |
| $i_2^{OL}$     | [kJ/kg]              | 3004,7645 | 2912,8285 | 2761,6038 | 2610,5984 | 2466,4147 | 2330,2774 |
| $p_2^{OL}$     | [bar]                | 4,7298    | 3,0644    | 1,3754    | 0,5261    | 0,1759    | 0,0536    |
| $t_2^{OL}$     | [°C]                 | 270,6551  | 223,0423  | 143,9464  | 82,5909   | 57,3127   | 34,1118   |
| $s_2^{OL}$     | [kJ/kgK]             | 7,3796    | 7,4003    | 7,4334    | 7,4724    | 7,5349    | 7,6120    |
| $v_2^{OL}$     | [m <sup>3</sup> /kg] | 0,5231    | 0,7375    | 1,3823    | 3,0400    | 8,1242    | 23,8677   |

Tab. 4.6: Parametre pary za lopatkovými radami (pokračovanie).

Mierna odchýlka hodnôt parametrov pary oproti hodnotám stanoveným v kap. 4.1 vznikla z dôvodu odlišnej metodiky výpočtu, na presnosť výpočtu však vplyv nemá.

#### 4.4 Voľba profilov lopatiek

Profily lopatiek sú volené na základe katalógu normalizovaných profilov rozvádzacích a obežných lopatiek z prílohy č. 1. Jednotlivé profily sú zoradené podľa charakteristík, ktoré sú smerodajné pri výbere vhodného profilu. Jedná sa hlavne o hodnoty vstupného a výstupného uhlu prúdu pary, ktoré boli určené v predchádzajúcej kapitole, a o optimálny rozsah Machových čísel, pre ktoré sú profily projektované. Pri nevhodnom návrhu by z tohto hľadiska mohlo dochádzať k odklonu prúdu pary na výstupe z lopatkovej mreži. Podľa veľkosti Machového čísla sa profily rozdeľujú do štyroch skupín [1]:

|        |                   |                                 |
|--------|-------------------|---------------------------------|
| typ: A | $0,7 < Ma < 0,9$  | (podzvukové prúdenie)           |
| B      | $0,9 < Ma < 1,15$ | (transonické prúdenie)          |
| C      | $1,1 < Ma < 1,3$  | (nadzvukové prúdenie)           |
| D      | $Ma > 1,3 - 1,5$  | (rozširujúce sa, Lavalové dýzy) |

Pri výpočte charakteristík lopatkovania bude pre valcové lopatky uvažovaný stredný priemer  $D_s$ , pretože nedochádza k zmene profilu po dĺžke lopatky. Pre zbertené lopatky bude zavedený predpoklad, že lopatka má daný katalógový profil na päte, tým pádom bude pri výpočte opäť uvažovaný pätný priemer  $D_p$ . Posledné dva stupne lopatkovania sú optimalizované spoločnosťou DŠP ako modulové stupne M5, nie sú preto do výpočtu zahrnuté.

##### 4.4.1 Výpočet Machového čísla

Rýchlosť zvuku:

- prehriata para:  $a = f(p; i)$  [m/s] (4.70)

- mokrá para:  $a = a_0 + x \cdot (a_1 - a_0)$  [m/s], (4.71)

kde  $a_0 = f(p; x=0)$  [m/s]; (4.72)

$a_1 = f(p; x=1)$  [m/s]; (4.73)

$x = f(p; i)$  [-] (4.74)

- *uvažované hodnoty tlaku a entalpie za rozvádzacou a obežnou lopatkovou mrežou budú upresnené v nasledujúcej kapitole; výpočet má teda iteračný charakter*

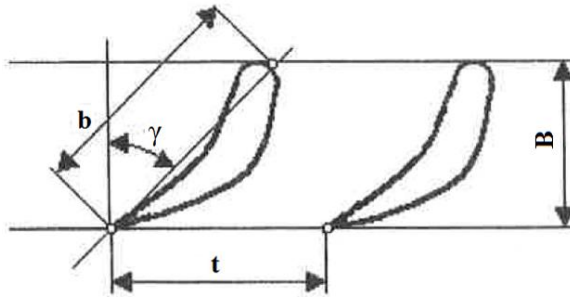
Machové číslo:

- rozv. lopatky:  $Ma_1 = \frac{c_1}{a_1}$  [-] (4.75)

- ob. lopatky:  $Ma_2 = \frac{w_2}{a_2}$  [-] (4.76)

#### 4.4.2 Určenie charakteristík lopatkovania

V tejto podkapitole budú charakteristiky rozvádzacej lopatkovej mreže označené indexom  $r$ , charakteristiky obežnej lopatkovej mreže indexom  $o$ .



Obr. 4.6: Označenie rozmerov charakterizujúcich profil lopatky. [3]

Dĺžka tetivy profilu:

$b_r$  [cm]

$b_o$  [cm]

Plocha profilu na pätnom priemere:

$S_0$  [cm<sup>2</sup>]

Ohybový prierezový modul:

$W_{0min}$  [cm<sup>3</sup>]

Uhol nastavenia profilu v lopatkovej mreži:

$$\gamma_r = \arccos\left(\frac{B_r}{b_r}\right) [^\circ] \quad (4.77)$$

$$\gamma_o = \arccos\left(\frac{B_o}{b_o}\right) [^\circ] \quad (4.78)$$

- hodnota  $B$  predstavuje šírku lopatky (2,5 cm); v ďalšej kapitole dôjde k prepočtu jednotlivých charakteristík podľa skutočných širok lopatiek

Optimálna pomerná rozteč lopatiek:

$t_{opt}$  [-]

- hodnota volená na základe daného rozsahu

Rozstup lopatiek:

$$t_r = t_{opt} \cdot b_r \text{ [mm]} \quad (4.79)$$

$$t_o = t_{opt} \cdot b_o \text{ [mm]} \quad (4.80)$$

Počet lopatiek:

$$z_r = \frac{\pi \cdot D_s}{t_r} [-] \quad (4.81)$$

$$z_o = \frac{\pi \cdot D_s}{t_o} [-] \quad (4.82)$$

- hodnota počtu lopatiek sa následne zaokrúhľuje a to nasledovne: počet rozv. lopatiek na nepárne číslo; počet ob. lopatiek na párne číslo. Tento rozdiel v počte lopatiek prispieva k znižovaniu vibrácií.

Skutočný rozstup lopatiek:

$$t_{r,skut} = \frac{\pi \cdot D_s}{z_{r,zaokr}} [-] \quad (4.83)$$

$$t_{o,skut} = \frac{\pi \cdot D_s}{z_{o,zaokr}} [-] \quad (4.84)$$

Výsledné hodnoty sú uvedené v tabuľke:

| ÚSEK                 |                    | III          |           |           |           | IV        |           |           |
|----------------------|--------------------|--------------|-----------|-----------|-----------|-----------|-----------|-----------|
| STUPEŇ               |                    | 1            | 2         | 3         | 4         | 5         | 6         | 7         |
| x <sub>1</sub>       | [-]                | 1,0000       | 1,0000    | 1,0000    | 1,0000    | 1,0000    | 1,0000    | 1,0000    |
| i <sub>1</sub>       | [kJ/kg]            | 3543,3031    | 3478,9813 | 3411,0535 | 3340,9660 | 3267,0579 | 3174,2724 | 3090,0665 |
| p <sub>1</sub>       | [bar]              | 34,5756      | 28,3021   | 22,7342   | 17,9579   | 13,8416   | 9,8053    | 6,9984    |
| c <sub>1</sub>       | [m/s]              | 339,0587     | 342,5941  | 349,2729  | 351,6891  | 357,9676  | 403,2979  | 412,6769  |
| a <sub>1</sub>       | [m/s]              | 683,7417     | 671,5397  | 658,2586  | 644,0791  | 628,5420  | 608,0809  | 588,4802  |
| Ma <sub>1</sub>      | [-]                | 0,4959       | 0,5102    | 0,5306    | 0,5460    | 0,5695    | 0,6632    | 0,7013    |
| α <sub>1</sub>       | [°]                | 13,0000      | 13,0000   | 13,0000   | 13,0000   | 13,0000   | 13,0000   | 14,0000   |
| profil               |                    | S-90-15A     |           |           |           |           |           |           |
| α <sub>1</sub>       | [°]                | 13 až 14     |           |           |           |           |           |           |
| α <sub>0</sub>       | [°]                | 70 až 120    |           |           |           |           |           |           |
| t <sub>opt</sub>     | [-]                | 0,70 až 0,85 |           |           |           |           |           |           |
| Ma <sub>opt</sub>    | [-]                | do 0,85      |           |           |           |           |           |           |
| b <sub>r</sub>       | [cm]               | 5,1500       |           |           |           |           |           |           |
| S <sub>0</sub>       | [cm <sup>2</sup> ] | 3,3000       |           |           |           |           |           |           |
| J <sub>0 min</sub>   | [cm <sup>4</sup> ] | 0,3600       |           |           |           |           |           |           |
| W <sub>0 min</sub>   | [cm <sup>3</sup> ] | 0,4500       |           |           |           |           |           |           |
| B <sub>r</sub>       | [cm]               | 2,5000       |           |           |           |           |           |           |
| γ <sub>r</sub>       | [°]                | 60,9589      |           |           |           |           |           |           |
| t <sub>opt</sub>     | [-]                | 0,8000       |           |           |           |           |           |           |
| t <sub>r</sub>       | [mm]               | 41,2000      |           |           |           |           |           |           |
| z <sub>r</sub>       | [-]                | 93,6378      | 96,0016   | 99,1279   | 101,8730  | 105,1519  | 98,3654   | 100,6530  |
| z <sub>r_zaokr</sub> | [-]                | 95,0000      | 97,0000   | 101,0000  | 103,0000  | 107,0000  | 99,0000   | 101,0000  |
| t <sub>r_skut</sub>  | [mm]               | 40,6092      | 40,7759   | 40,4363   | 40,7492   | 40,4884   | 40,9359   | 41,0584   |

Tab. 4.7: Profily rozvážacích lopatiek.

| ÚSEK                 |                    | V          | VI        | VII          | VIII      |           |           |
|----------------------|--------------------|------------|-----------|--------------|-----------|-----------|-----------|
| STUPEŇ               |                    | 8          | 9         | 10           | 11        | 12        | 13        |
| x <sub>1</sub>       | [-]                | 1,0000     | 1,0000    | 1,0000       | 0,9919    | 0,9394    | 0,9017    |
| i <sub>1</sub>       | [kJ/kg]            | 3002,0217  | 2910,0432 | 2777,9365    | 2637,0499 | 2462,3233 | 2326,5145 |
| p <sub>1</sub>       | [bar]              | 4,7862     | 3,1065    | 1,5504       | 0,6397    | 0,1821    | 0,0556    |
| c <sub>1</sub>       | [m/s]              | 422,0559   | 431,4350  | 516,9489     | 500,9956  | 548,6727  | 540,8569  |
| a <sub>1</sub>       | [m/s]              | 566,7951   | 542,6631  | 504,8753     | 474,4760  | 515,1686  | 540,2174  |
| Ma <sub>1</sub>      | [-]                | 0,7446     | 0,7950    | 1,0239       | 1,0559    | 1,0650    | 1,0012    |
| α <sub>1</sub>       | [°]                | 17,0000    | 18,0000   | 13,0000      | 13,0000   | 17,0000   | 20,0000   |
| profil               |                    | S-90-18A   |           | S-90-15B     | M5        | M5        |           |
| α <sub>1</sub>       | [°]                | 16 až 20   |           | 13 až 17     | -         | -         |           |
| α <sub>0</sub>       | [°]                | 70 až 120  |           | 70 až 120    | -         | -         |           |
| t <sub>opt</sub>     | [-]                | 0,7 až 0,8 |           | 0,7 až 0,85  | -         | -         |           |
| Ma <sub>opt</sub>    | [-]                | do 0,9     |           | 0,85 až 1,15 | -         | -         |           |
| b <sub>r</sub>       | [cm]               | 4,7100     |           | 5,2000       | -         | -         |           |
| S <sub>0</sub>       | [cm <sup>2</sup> ] | 2,7200     |           | 3,2100       | -         | -         |           |
| J <sub>0 min</sub>   | [cm <sup>4</sup> ] | 0,2430     |           | 0,3260       | -         | -         |           |
| W <sub>0 min</sub>   | [cm <sup>3</sup> ] | 0,3330     |           | 0,4130       | -         | -         |           |
| B <sub>r</sub>       | [cm]               | 2,5000     |           | 2,5000       | -         | -         |           |
| γ <sub>r</sub>       | [°]                | 57,9415    |           | 61,2643      | -         | -         |           |
| t <sub>opt</sub>     | [-]                | 0,8000     |           | 0,8000       | -         | -         |           |
| t <sub>r</sub>       | [mm]               | 37,6800    |           | 41,6000      | -         | -         |           |
| Z <sub>r</sub>       | [-]                | 112,5571   | 115,0583  | 141,6737     | 146,7335  | -         | -         |
| Z <sub>r_zaokr</sub> | [-]                | 113,0000   | 117,0000  | 143,0000     | 147,0000  | -         | -         |
| t <sub>r_skut</sub>  | [mm]               | 37,5323    | 37,0547   | 41,2142      | 41,5246   | -         | -         |

Tab. 4.8: Profily rozvádzacích lopatiek (pokračovanie).

| ÚSEK           |                    | III          |           |           |           | IV        |           |           |
|----------------|--------------------|--------------|-----------|-----------|-----------|-----------|-----------|-----------|
| STUPEŇ         |                    | 1            | 2         | 3         | 4         | 5         | 6         | 7         |
| $x_2$          | [-]                | 1,0000       | 1,0000    | 1,0000    | 1,0000    | 1,0000    | 1,0000    | 1,0000    |
| $i_2$          | [kJ/kg]            | 3536,4166    | 3470,8403 | 3401,5713 | 3329,6717 | 3254,0460 | 3176,9588 | 3092,8190 |
| $p_2$          | [bar]              | 33,6688      | 27,4373   | 21,9220   | 17,1957   | 13,1500   | 9,7144    | 6,9255    |
| $w_2$          | [m/s]              | 184,4587     | 165,2646  | 169,1309  | 171,4284  | 175,3403  | 189,1167  | 195,6598  |
| $a_2$          | [m/s]              | 682,4571     | 669,9763  | 656,3758  | 641,7505  | 625,7443  | 608,7116  | 589,1608  |
| $Ma_2$         | [-]                | 0,2703       | 0,2467    | 0,2577    | 0,2671    | 0,2802    | 0,3107    | 0,3321    |
| $\beta_1$      | [°]                | 29,0217      | 29,5298   | 29,9943   | 30,7803   | 31,3501   | 25,4853   | 27,3428   |
| profil         |                    | R-30-21A     |           |           |           |           |           |           |
| $\beta_2$      | [°]                | 19 až 24     |           |           |           |           |           |           |
| $\beta_1$      | [°]                | 25 až 40     |           |           |           |           |           |           |
| $t_{opt}$      | [-]                | 0,58 až 0,68 |           |           |           |           |           |           |
| $Ma_{opt}$     | [-]                | do 0,9       |           |           |           |           |           |           |
| $b_o$          | [cm]               | 2,5600       |           |           |           |           |           |           |
| $S_o$          | [cm <sup>2</sup> ] | 1,8500       |           |           |           |           |           |           |
| $J_{0\ min}$   | [cm <sup>4</sup> ] | 0,2050       |           |           |           |           |           |           |
| $W_{0\ min}$   | [cm <sup>3</sup> ] | 0,2340       |           |           |           |           |           |           |
| $B_o$          | [cm]               | 2,5000       |           |           |           |           |           |           |
| $\gamma_o$     | [°]                | 12,4293      |           |           |           |           |           |           |
| $t_{opt}$      | [-]                | 0,6500       |           |           |           |           |           |           |
| $t_r$          | [mm]               | 16,6400      |           |           |           |           |           |           |
| $z_o$          | [-]                | 231,8435     | 237,6962  | 245,4369  | 252,2336  | 260,3519  | 243,5489  | 249,2129  |
| $z_o\_{zaokr}$ | [-]                | 232,0000     | 238,0000  | 246,0000  | 254,0000  | 262,0000  | 244,0000  | 250,0000  |
| $t_r\_{skut}$  | [mm]               | 16,6288      | 16,6188   | 16,6019   | 16,5243   | 16,5353   | 16,6092   | 16,5876   |

Tab. 4.9: Profily obežných lopatiek.

| ÚSEK                 |                    | V            | VI        | VII       | VIII      |           |           |
|----------------------|--------------------|--------------|-----------|-----------|-----------|-----------|-----------|
| STUPEŇ               |                    | 8            | 9         | 10        | 11        | 12        | 13        |
| x <sub>2</sub>       | [-]                | 1,0000       | 1,0000    | 1,0000    | 0,9850    | 0,9444    | 0,9239    |
| i <sub>2</sub>       | [kJ/kg]            | 3004,7460    | 2912,8470 | 2761,5854 | 2610,6169 | 2466,3963 | 2330,2947 |
| p <sub>2</sub>       | [bar]              | 4,7297       | 3,0645    | 1,3754    | 0,5262    | 0,1759    | 0,0536    |
| w <sub>2</sub>       | [m/s]              | 207,1406     | 214,2883  | 248,4882  | 245,9985  | 271,3582  | 277,2418  |
| a <sub>2</sub>       | [m/s]              | 567,5090     | 543,4462  | 499,9197  | 479,2538  | 509,1755  | 515,5366  |
| Ma <sub>2</sub>      | [-]                | 0,3650       | 0,3943    | 0,4971    | 0,5133    | 0,5329    | 0,5378    |
| β <sub>1</sub>       | [°]                | 32,7889      | 34,5599   | 29,0896   | 31,6337   | 32,7889   | 38,0326   |
| profil               |                    | R-30-21A     |           |           |           | M5        | M5        |
| β <sub>2</sub>       | [°]                | 19 až 24     |           |           |           | -         | -         |
| β <sub>1</sub>       | [°]                | 25 až 40     |           |           |           | -         | -         |
| t <sub>opt</sub>     | [-]                | 0,58 až 0,68 |           |           |           | -         | -         |
| Ma <sub>opt</sub>    | [-]                | do 0,9       |           |           |           | -         | -         |
| b <sub>o</sub>       | [cm]               | 2,5600       |           |           |           | -         | -         |
| S <sub>o</sub>       | [cm <sup>2</sup> ] | 1,8500       |           |           |           | -         | -         |
| J <sub>o min</sub>   | [cm <sup>4</sup> ] | 0,2050       |           |           |           | -         | -         |
| W <sub>o min</sub>   | [cm <sup>3</sup> ] | 0,2340       |           |           |           | -         | -         |
| B <sub>o</sub>       | [cm]               | 2,5000       |           |           |           | -         | -         |
| γ <sub>o</sub>       | [°]                | 12,4293      |           |           |           | -         | -         |
| t <sub>opt</sub>     | [-]                | 0,6500       |           |           |           | -         | -         |
| t <sub>r</sub>       | [mm]               | 16,6400      |           |           |           | -         | -         |
| z <sub>o</sub>       | [-]                | 254,8768     | 260,5407  | 354,1844  | 366,8338  | -         | -         |
| z <sub>o_zaokr</sub> | [-]                | 256,0000     | 262,0000  | 356,0000  | 368,0000  | -         | -         |
| t <sub>r_skut</sub>  | [mm]               | 16,5670      | 16,5473   | 16,5551   | 16,5873   | -         | -         |

Tab. 4.10: Profily obežných lopatiek (pokračovanie).

Profil S-90-15B bol volený z dôvodu dosiahnutia transonického prúdenia v 10. a 11. stupni. Z pevnostného hľadiska bol pre 8. a 9. stupeň vhodnejší profil S-90-18A. Tento profil je charakteristický vyššou optimálnou hodnotou uhlu  $\alpha_1$ , čím je možné dosiahnuť menšie dĺžky lopatiek a tým pádom menšie hodnoty namáhania v pevnostnom výpočte.

## 4.5 Dĺžky lopatiek

V kapitole 4.1 boli dĺžky rozvádzacích lopatiek už určené. Tieto hodnoty predstavujú dĺžky výstupnej hrany rozv. lopatky. Z dôvodu plynulosti prúdenia pary prietochným kanálom budú dĺžky vstupnej hrany rozvádzacích lopatiek na výkrese mierne upravené. Uvedená dĺžka rozvádzacej lopatky je teda kótovaná na výstupnej hrane lopatky.

Dĺžky obežných lopatiek sú oproti dĺžkam rozvádzacích lopatiek zväčšené o presah lopatiek  $\Delta$ . Hodnoty presahu sú volené zvlášť pre každý lopatkový stupeň na základe doporučenia spoločnosti DŠP.

$$L^{OL} = L^{RL} + \Delta \quad (4.85)$$

Délky vstupnej a výstupnej hrany obežnej lopatky sú zhodné, no v prípade potreby môžu byť tak ako vstupné hrany rozvádzačích lopatiek na výkrese mierne upravené. Uvedená dĺžka obežnej lopatky je potom kótovaná v ose lopatky.

| ÚSEK            |      | III     |         |          |          | IV       |          |          |
|-----------------|------|---------|---------|----------|----------|----------|----------|----------|
| STUPEŇ          |      | 1       | 2       | 3        | 4        | 5        | 6        | 7        |
| L <sub>RL</sub> | [mm] | 78,0000 | 89,0000 | 100,0000 | 116,0000 | 130,0000 | 153,0000 | 175,0000 |
| ΔL              | [mm] | 2,0000  | 2,0000  | 3,0000   | 3,0000   | 4,0000   | 5,0000   | 6,0000   |
| L <sub>OL</sub> | [mm] | 80,0000 | 91,0000 | 103,0000 | 119,0000 | 134,0000 | 158,0000 | 181,0000 |

Tab. 4.11: Dĺžky rozvádzačích a obežných lopatiek.

| ÚSEK            |      | V        | VI       | VII      | VIII     |          |           |
|-----------------|------|----------|----------|----------|----------|----------|-----------|
| STUPEŇ          |      | 8        | 9        | 10       | 11       | 12       | 13        |
| L <sub>RL</sub> | [mm] | 181,0000 | 220,0000 | 121,0000 | 188,0000 | 454,0000 | 955,0000  |
| ΔL              | [mm] | 9,0000   | 11,0000  | 3,0000   | 9,0000   | -        | -         |
| L <sub>OL</sub> | [mm] | 190,0000 | 231,0000 | 124,0000 | 197,0000 | 536,0000 | 1060,0000 |

Tab. 4.12: Dĺžky rozvádzačích a obežných lopatiek (pokračovanie).

## 5 Pevnostný výpočet

V prvej fáze pevnostného výpočtu prebehne kontrola namáhania obežných lopatiek a ich závesov, v ďalšej časti bude kontrolované namáhanie rozvádzacích kôl a rozvádzacích lopatiek. Nevyhovujúce výsledné hodnoty namáhania vo výpočte môžu mať za následok úpravu návrhu prietokového kanálu z kap. 4.1. Výpočet vychádza z [1] a z podkladov poskytnutých spoločnosťou DŠP.

Posledné dva modulové stupne dodané spoločnosťou DŠP nebudú do výpočtu zahrnuté z dôvodu bližšie nešpecifikovaných parametrov.

### 5.1 Namáhanie obežných lopatiek

Obežné lopatky sú namáhané ohybom od obvodovej sily odpovedajúcej výkonu stupňa pripadajúceho na jednu lopatku a ťahom od odstredivej sily hmoty, ktorá sa nachádza nad kontrolovaným prierezom profilu [1]. Pri kontrole namáhania budú uvažované charakteristiky profilu volené v predchádzajúcej kapitole, odpovedajúce šírke profilu 25 mm. V prípade hodnôt namáhania väčších ako hodnoty dovolené, dôjde k úprave jednotlivých širok profilu a k prepočtu charakteristík na skutočné hodnoty, označené apostrofom, podľa nasledujúcich vzorcov.

Dĺžka tetivy profilu:

$$b'_o = b_o \cdot \frac{B'_o}{B_o} \text{ [mm]} \quad (5.1)$$

Plocha profilu na pätnom priemere:

$$S'_o = S_o \cdot \left( \frac{B'_o}{B_o} \right)^2 \text{ [cm}^2\text{]} \quad (5.2)$$

Ohybový prierezový modul:

$$W'_{0\min} = W_{0\min} \cdot \left( \frac{B'_o}{B_o} \right)^3 \text{ [cm}^3\text{]} \quad (5.3)$$

Skutočný rozstup a počet lopatiek sú určené analogicky ako v kap. 4.4.2.

#### 5.1.1 Namáhanie ohybom

Krútiaci moment na celý stupeň:

$$M_{k,c} = \frac{P_{ST}}{\omega} = \frac{P_{ST}}{2 \cdot \pi \cdot n} \text{ [Nm]} \quad (5.4)$$

60

Obvodová síla na celý stupeň:

$$F_{u,c} = \frac{2 \cdot M_{k,c}}{D_s} \text{ [N]} \quad (5.5)$$

- u zbortěných lopatek je opět uvažovaný průměr  $D_p$

Obvodová síla na jednu lopatku:

$$F_{u,lop} = \frac{F_{u,c}}{z_{o,zaokr}} \text{ [N]} \quad (5.6)$$

Polomer lopatky:

$$R_{OL} = \frac{L_{OL}}{2} \text{ [mm]} \quad (5.7)$$

Ohybový moment na lopatku:

$$M_{o,lop} = F_{u,lop} \cdot R_{OL} \text{ [Nm]} \quad (5.8)$$

Napětí v ohybe:

$$\sigma_o = \frac{M_{o,lop}}{W_{0min}} \text{ [MPa]} \quad (5.9)$$

Hodnoty dovoleného napätia v ohybe pre jednotlivé stupne sú volené podľa doporučenia spoločnosti DŠP nasledovne:

$$\sigma_{o,dov} = 20 \text{ [MPa]} \quad - \text{ radové stupne}$$

$$\sigma_{o,dov} = 16 \text{ [MPa]} \quad - \text{ stupeň prvý, posledný a stupeň pred odberom}$$

Výsledné hodnoty sú uvedené v tabuľke:

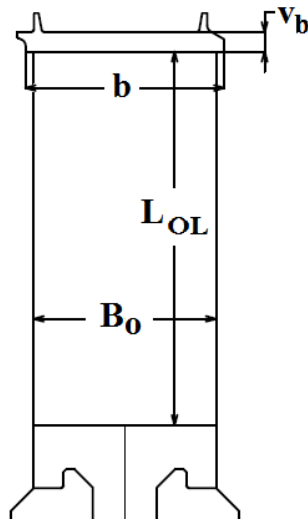
| ÚSEK              |                    | III            |                |                |                | IV             |
|-------------------|--------------------|----------------|----------------|----------------|----------------|----------------|
| STUPEŇ            |                    | 1              | 2              | 3              | 4              | 5              |
| profil            |                    | R-30-21A       |                |                |                |                |
| typ lopatky       |                    | V              | V              | V              | V              | V              |
| $D_p$             | [m]                | 1,1500         | 1,1700         | 1,2000         | 1,2200         | 1,2500         |
| $D_s$             | [m]                | 1,2280         | 1,2590         | 1,3000         | 1,3360         | 1,3790         |
| $P_{st}$          | [kW]               | 12924,6991     | 13436,7727     | 14178,7161     | 14695,2685     | 14665,5936     |
| $B_o$             | [mm]               | 25,0000        |                |                |                |                |
| $b_o$             | [mm]               | 25,6000        |                |                |                |                |
| $t_{opt}$         | [-]                | 0,6000         |                |                |                |                |
| $S_o$             | [cm <sup>2</sup> ] | 1,8500         |                |                |                |                |
| $Z_o_{zaokr}$     | [-]                | 232,0000       | 238,0000       | 246,0000       | 254,0000       | 262,0000       |
| $\omega$          | [s <sup>-1</sup> ] | 314,1593       |                |                |                |                |
| $W_{0\ min}$      | [cm <sup>3</sup> ] | 0,2340         |                |                |                |                |
| $M_{k,c}$         | [Nm]               | 41140,5951     | 42770,5759     | 45132,2552     | 46776,4923     | 46682,0342     |
| $F_{u,c}$         | [N]                | 67004,2266     | 67943,7266     | 69434,2388     | 70024,6891     | 67704,1830     |
| $F_{u,lop}$       | [N]                | 288,8113       | 285,4778       | 282,2530       | 275,6878       | 258,4129       |
| $R_{OL}$          | [mm]               | 40,0000        | 45,5000        | 51,5000        | 59,5000        | 67,0000        |
| $M_{o,lop}$       | [Nm]               | 11,5525        | 12,9892        | 14,5360        | 16,4034        | 17,3137        |
| $\sigma_o$        | [MPa]              | <b>49,3695</b> | <b>55,5096</b> | <b>62,1198</b> | <b>70,1001</b> | <b>73,9900</b> |
| $\sigma_{o,dov}$  | [MPa]              | 16,0000        | 20,0000        | 20,0000        | 16,0000        | 20,0000        |
| $B'_o$            | [mm]               | <b>45,0000</b> | <b>45,0000</b> | <b>45,0000</b> | <b>55,0000</b> | <b>50,0000</b> |
| $b'_o$            | [mm]               | 46,0800        | 46,0800        | 46,0800        | 56,3200        | 51,2000        |
| $t'_o$            | [mm]               | 27,6480        | 27,6480        | 27,6480        | 33,7920        | 30,7200        |
| $z'$              | [-]                | 140,0000       | 144,0000       | 148,0000       | 126,0000       | 142,0000       |
| $S'_o$            | [cm <sup>2</sup> ] | 5,9940         | 5,9940         | 5,9940         | 8,9540         | 7,4000         |
| $W'_{o\ min}$     | [cm <sup>3</sup> ] | 1,3647         | 1,3647         | 1,3647         | 2,4916         | 1,8720         |
| $M'_{k,c}$        | [Nm]               | 41140,5951     | 42770,5759     | 45132,2552     | 46776,4923     | 46682,0342     |
| $F'_{u,c}$        | [N]                | 67004,2266     | 67943,7266     | 69434,2388     | 70024,6891     | 67704,1830     |
| $F'_{u,lop}$      | [N]                | 478,6016       | 471,8314       | 469,1503       | 555,7515       | 476,7900       |
| $M'_{o,lop}$      | [Nm]               | 19,1441        | 21,4683        | 24,1612        | 33,0672        | 31,9449        |
| $\sigma'_o$       | [MPa]              | <b>14,0282</b> | <b>15,7313</b> | <b>17,7046</b> | <b>13,2713</b> | <b>17,0646</b> |
| $\sigma'_{o,dov}$ | [MPa]              | 16,0000        | 20,0000        | 20,0000        | 16,0000        | 20,0000        |

Tab. 5.1: Namáhanie obežných lopatiek na ohyb.

| ÚSEK              | IV                 |                 | V               | VI              | VII             | VIII           |                |
|-------------------|--------------------|-----------------|-----------------|-----------------|-----------------|----------------|----------------|
| STUPEŇ            | 6                  | 7               | 8               | 9               | 10              | 11             |                |
| profil            | R-30-21A           |                 |                 |                 |                 |                |                |
| typ lopatky       | Z                  | Z               | Z               | Z               | V               | V              |                |
| $D_p$             | [m]                | 1,2900          | 1,3200          | 1,3500          | 1,3800          | 1,7550         | 1,7550         |
| $D_s$             | [m]                | 1,4430          | 1,4950          | 1,5310          | 1,6000          | 1,8760         | 1,9430         |
| $P_{st}$          | [kW]               | 15627,6834      | 16349,5953      | 16573,8270      | 16775,8215      | 8681,4788      | 6348,6594      |
| $B_o$             | [mm]               | 25,0000         |                 |                 |                 |                |                |
| $b_o$             | [mm]               | 25,6000         |                 |                 |                 |                |                |
| $t_{opt}$         | [-]                | 0,6000          |                 |                 |                 |                |                |
| $S_o$             | [cm <sup>2</sup> ] | 1,8500          |                 |                 |                 |                |                |
| $Z_{o\_zaokr}$    | [-]                | 244,0000        | 250,0000        | 256,0000        | 262,0000        | 356,0000       | 368,0000       |
| $\omega$          | [s <sup>-1</sup> ] | 314,1593        |                 |                 |                 |                |                |
| $W_{o\ min}$      | [cm <sup>3</sup> ] | 0,2340          |                 |                 |                 |                |                |
| $M_{k,c}$         | [Nm]               | 49744,4611      | 52042,3783      | 52756,1298      | 53399,0984      | 27634,0052     | 20208,4106     |
| $F_{u,c}$         | [N]                | 77123,1956      | 78852,0883      | 78157,2293      | 77389,9977      | 29460,5599     | 20801,2462     |
| $F_{u,lop}$       | [N]                | 316,0787        | 315,4084        | 305,3017        | 295,3817        | 82,7544        | 56,5251        |
| $R_{oL}$          | [mm]               | 79,0000         | 90,5000         | 95,0000         | 115,5000        | 62,0000        | 98,5000        |
| $M_{o,lop}$       | [Nm]               | 24,9702         | 28,5445         | 29,0037         | 34,1166         | 5,1308         | 5,5677         |
| $\sigma_o$        | [MPa]              | <b>106,7103</b> | <b>121,9849</b> | <b>123,9473</b> | <b>145,7974</b> | <b>21,9264</b> | <b>23,7937</b> |
| $\sigma_{o,dov}$  | [MPa]              | 20,0000         | 16,0000         | 16,0000         | 16,0000         | 16,0000        | 20,0000        |
| $B'_o$            | [mm]               | <b>60,0000</b>  | <b>70,0000</b>  | <b>70,0000</b>  | <b>75,0000</b>  | <b>30,0000</b> | <b>40,0000</b> |
| $b'_o$            | [mm]               | 61,4400         | 71,6800         | 71,6800         | 76,8000         | 30,7200        | 40,9600        |
| $t'_o$            | [mm]               | 36,8640         | 43,0080         | 43,0080         | 46,0800         | 18,4320        | 24,5760        |
| $z'$              | [-]                | 110,0000        | 98,0000         | 100,0000        | 96,0000         | 320,0000       | 250,0000       |
| $S'_o$            | [cm <sup>2</sup> ] | 10,6560         | 14,5040         | 14,5040         | 16,6500         | 2,6640         | 4,7360         |
| $W'_{o\ min}$     | [cm <sup>3</sup> ] | 3,2348          | 5,1368          | 5,1368          | 6,3180          | 0,4044         | 0,9585         |
| $M'_{k,c}$        | [Nm]               | 49744,4611      | 52042,3783      | 52756,1298      | 53399,0984      | 27634,0052     | 20208,4106     |
| $F'_{u,c}$        | [N]                | 77123,1956      | 78852,0883      | 78157,2293      | 77389,9977      | 29460,5599     | 20801,2462     |
| $F'_{u,lop}$      | [N]                | 701,1200        | 804,6131        | 781,5723        | 806,1458        | 92,0642        | 83,2050        |
| $M'_{o,lop}$      | [Nm]               | 55,3885         | 72,8175         | 74,2494         | 93,1098         | 5,7080         | 8,1957         |
| $\sigma'_o$       | [MPa]              | <b>17,1226</b>  | <b>14,1757</b>  | <b>14,4545</b>  | <b>14,7372</b>  | <b>14,1164</b> | <b>8,5509</b>  |
| $\sigma'_{o,dov}$ | [MPa]              | 20,0000         | 16,0000         | 16,0000         | 16,0000         | 16,0000        | 20,0000        |

Tab. 5.2: Namáhanie obežných lopatiek na ohyb (pokračovanie).

### 5.1.2 Namáhanie ťahom a celkové napätie



Obr. 5.1: Znáznornenie obežnej lopatky a bandáže.

Hmotnosť lopatky:

$$m_{lop} = \rho \cdot S_0 \cdot L_{OL} \text{ [kg]} \quad (5.10)$$

- uvažovaná hustota materiálu lopatky je  $7850 \text{ kg/m}^3$  (ocel)

Odstredivá sila na lopatku:

$$O_{lop} = m_{lop} \cdot \frac{D_s}{2} \cdot \omega'^2 \text{ [N]} \quad (5.11)$$

$$\omega' = \frac{2 \cdot \pi \cdot n \cdot 1,1}{60} \text{ [s}^{-1}\text{]} \quad (5.12)$$

- uhlová rýchlosť je z bezpečnostného hľadiska navýšená o 10 %
- v tomto prípade je priemer  $D_s$  uvažovaný aj u zbortených lopatiek

Šírka bandáže:

$$b = B_0 \text{ [mm]} \quad (5.13)$$

Výška bandáže:

$v_b$  [mm]

- výška bandáže je na základe doporučenia volená približne ako desatina šírky bandáže

Stredný priemer bandáže:

$$D_b = D_s + L_{OL} + v_b \text{ [m]} \quad (5.14)$$

Hmotnosť bandáže:

$$m_b = \rho \cdot \left( \frac{\pi \cdot D_b}{z_{o,zaokr}} \cdot b \right) \cdot v_b \text{ [kg]} \quad (5.15)$$

- v praxi je medzi šírkou bandáže a šírkou ob. lopatky mierny rozdiel (znázornený na výkrese); nárast hmotnosti vyplývajúci z väčšej šírky bandáže je však v rámci výpočtu zanedbateľný

Odstredivá sila na bandáž:

$$O_b = m_b \cdot \frac{D_b}{2} \cdot \omega^2 \quad [\text{N}] \quad (5.16)$$

Celková odstredivá sila na lopatku:

$$O_{(lop+b)} = O_{lop} + O_b \quad [\text{N}] \quad (5.17)$$

Napätie v ťahu:

$$\sigma_t = \frac{O_{(lop+b)}}{S_0} \cdot \frac{1}{k} \quad [\text{MPa}] \quad (5.18)$$

- z dôvodu premenlivého tvaru profilu po dĺžke je pre zbortené lopatky zavedený súčiniteľ odľahčenia  $k$ , určený z prílohy č. 3. Pre valcové lopatky platí hodnota  $k = 1$

Celkové napätie:

$$\sigma_c = 2 \cdot \sigma_o + \sigma_t \quad [\text{MPa}] \quad (5.19)$$

Hodnoty celkového napätia jednotlivých stupňov nesmú presiahnuť hodnoty napätia dovoleného, určené z katalógu v prílohe č. 2 na základe zvoleného materiálu a povrchovej teploty ob. lopatky. Približnú hodnotu povrchovej teploty ob. lopatky je možné vypočítať nasledovne

$$t_p^{OL} = t_1^{RL} - 50 \quad [^\circ\text{C}] \quad (5.20)$$

- teplota pary za rozv. lopatkovou mrežou bola stanovená v kap. 4.3

Výsledné hodnoty sú uvedené v tabuľke:

| ÚSEK                         |                      | III            |                |                 |                 | IV              |
|------------------------------|----------------------|----------------|----------------|-----------------|-----------------|-----------------|
| STUPEŇ                       |                      | 1              | 2              | 3               | 4               | 5               |
| profil                       |                      | R-30-21A       |                |                 |                 |                 |
| typ lopatky                  |                      | V              | V              | V               | V               | V               |
| D <sub>p</sub>               | [m]                  | 1,1500         | 1,1700         | 1,2000          | 1,2200          | 1,2500          |
| D <sub>s</sub>               | [m]                  | 1,2280         | 1,2590         | 1,3000          | 1,3360          | 1,3790          |
| ρ <sub>ocel</sub>            | [kg/m <sup>3</sup> ] | 7850,0000      |                |                 |                 |                 |
| ω'                           | [s <sup>-1</sup> ]   | 345,5752       |                |                 |                 |                 |
| m <sub>lop</sub>             | [kg]                 | 0,3764         | 0,4282         | 0,4846          | 0,8364          | 0,7784          |
| O <sub>lop</sub>             | [N]                  | 27601,3211     | 32189,0855     | 37620,2860      | 66726,0300      | 64095,2080      |
| b                            | [mm]                 | 45,0000        | 45,0000        | 45,0000         | 55,0000         | 50,0000         |
| v <sub>b</sub>               | [mm]                 | 5,0000         | 5,0000         | 5,0000          | 6,0000          | 5,0000          |
| D <sub>b</sub>               | [m]                  | 1,3130         | 1,3550         | 1,4080          | 1,4610          | 1,5180          |
| m <sub>b</sub>               | [kg]                 | 0,0520         | 0,0522         | 0,0528          | 0,0944          | 0,0659          |
| O <sub>b</sub>               | [N]                  | 4079,9852      | 4224,4801      | 4438,1376       | 8232,2486       | 5974,0638       |
| O <sub>(lop+b)</sub>         | [N]                  | 31681,3062     | 36413,5655     | 42058,4235      | 74958,2786      | 70069,2718      |
| k                            | [-]                  | 1,0000         | 1,0000         | 1,0000          | 1,0000          | 1,0000          |
| σ <sub>t</sub>               | [MPa]                | <b>52,8550</b> | <b>60,7500</b> | <b>70,1675</b>  | <b>83,7149</b>  | <b>94,6882</b>  |
| t <sub>p</sub> <sup>OL</sup> | [°C]                 | 490,3072       | 458,9502       | 425,6058        | 390,9387        | 354,0491        |
| σ <sub>c</sub>               | [MPa]                | <b>80,9114</b> | <b>92,2126</b> | <b>105,5767</b> | <b>110,2575</b> | <b>128,8174</b> |
| σ <sub>dov</sub>             | [MPa]                | 142,0000       | 167,0000       | 167,0000        | 181,0000        | 186,0000        |
| materiál                     |                      | PAK 2MV.7      | PAK 2MV.7      | PAK 2MV.7       | PAK 2MV.7       | PAK 2MV.7       |

Tab. 5.3: Namáhanie obežných lopatiek na ťah a celkové napätie.

| ÚSEK                         |                      | IV              |                 | V               | VI              | VII             | VIII            |
|------------------------------|----------------------|-----------------|-----------------|-----------------|-----------------|-----------------|-----------------|
| STUPEŇ                       |                      | 6               | 7               | 8               | 9               | 10              | 11              |
| profil                       |                      | R-30-21A        |                 |                 |                 |                 |                 |
| typ lopatky                  |                      | Z               | Z               | Z               | Z               | V               | V               |
| D <sub>p</sub>               | [m]                  | 1,2900          | 1,3200          | 1,3500          | 1,3800          | 1,7550          | 1,7550          |
| D <sub>s</sub>               | [m]                  | 1,4430          | 1,4950          | 1,5310          | 1,6000          | 1,8760          | 1,9430          |
| ρ <sub>ocel</sub>            | [kg/m <sup>3</sup> ] | 7850,0000       |                 |                 |                 |                 |                 |
| ω'                           | [s <sup>-1</sup> ]   | 345,5752        |                 |                 |                 |                 |                 |
| m <sub>lop</sub>             | [kg]                 | 1,3217          | 2,0608          | 2,1633          | 3,0192          | 0,2593          | 0,7324          |
| O <sub>lop</sub>             | [N]                  | 113878,6753     | 183963,7845     | 197761,3233     | 288450,2882     | 29047,8181      | 84971,9329      |
| b                            | [mm]                 | 60,0000         | 70,0000         | 70,0000         | 75,0000         | 30,0000         | 40,0000         |
| v <sub>b</sub>               | [mm]                 | 6,0000          | 7,0000          | 7,0000          | 8,0000          | 3,0000          | 4,0000          |
| D <sub>b</sub>               | [m]                  | 1,6070          | 1,6830          | 1,7280          | 1,8390          | 2,0030          | 2,1440          |
| m <sub>b</sub>               | [kg]                 | 0,1297          | 0,2075          | 0,2088          | 0,2835          | 0,0139          | 0,0338          |
| O <sub>b</sub>               | [N]                  | 12445,6109      | 20855,1293      | 21545,5808      | 31125,6282      | 1661,6099       | 4332,1570       |
| O <sub>(lop+b)</sub>         | [N]                  | 126324,2862     | 204818,9138     | 219306,9041     | 319575,9164     | 30709,4280      | 89304,0898      |
| k                            | [-]                  | 1,2000          | 1,3000          | 1,4500          | 1,7000          | 1,0000          | 1,0000          |
| σ <sub>t</sub>               | [MPa]                | <b>98,7896</b>  | <b>108,6273</b> | <b>104,2789</b> | <b>112,9044</b> | <b>115,2756</b> | <b>188,5644</b> |
| t <sub>p</sub> <sup>OL</sup> | [°C]                 | 307,4189        | 264,5904        | 219,4179        | 171,7532        | 102,6860        | 37,5780         |
| σ <sub>c</sub>               | [MPa]                | <b>133,0348</b> | <b>136,9788</b> | <b>133,1879</b> | <b>142,3789</b> | <b>143,5084</b> | <b>205,6661</b> |
| σ <sub>dov</sub>             | [MPa]                | 191,0000        | 255,0000        | 255,0000        | 262,0000        | 260,0000        | 294,0000        |
| materiál                     |                      | PAK 2MV.7       | X12CrNiMo12     | X12CrNiMo12     | X12CrNiMo12     | P-AK 1 TD       | X12CrNiMo12     |

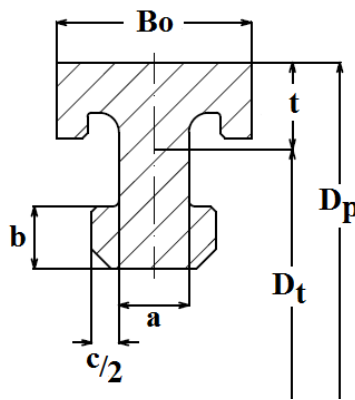
Tab. 5.4: Namáhanie obežných lopatiek na ťah a celkové napätie (pokračovanie).

V prípade stupňov 7, 8, 9 a 11 bol z dôvodu vysokého zaťaženia použitý špeciálny materiál X12CrNiMo12 dodaný spoločnosťou DŠP.

## 5.2 Namáhanie závesov obežných lopatiek

Závesy obežných lopatiek sú rozdelené na tri typy: závesy typu „T“, rozvidlené závesy a stromčekové závesy. Pri výpočte namáhania sa vychádzalo zo závesov typu „T“, no u viac namáhaných stupňov bolo nutné tieto závesy nahradiť závesmi rozvidlenými, ktoré vykazujú menšie hodnoty namáhania. Na doporučenie spoločnosti DŠP je rozvidlený záves použitý na prvom stupni a bližšie nešpecifikované stromčekové závesy použité na 12. a 13. modulovom stupni (znázornené na výkrese).

### 5.2.1 Závesy typu „T“



Obr. 5.2: Záves typu „T“.

Ťažiskový priemer závesu:

$$D_t = D_p - 2 \cdot t \quad [\text{m}]$$

(5.21)

- hodnota  $t$  určuje vzdialenosť ťažiska závesu od päty (pätného priemeru) lopatky; je vyčítaná z výkresu daného závesu dodaného spoločnosťou DŠP

Ťažiskový rozstup závesu:

$$t_t = \frac{\pi \cdot D_t}{z_{o,zaokr}} \quad [\text{m}] \quad (5.22)$$

Hmotnosť závesu:

$$m_z = \rho \cdot S_z \cdot t_t \quad [\text{kg}] \quad (5.23)$$

- uvažovaná hustota materiálu závesu je zhodná s hustotou materiálu lopatky, tzn.  $7850 \text{ kg/m}^3$  (ocel)
- plocha závesu  $S_z$  je vyčítaná z výkresu závesu

Odstredivá sila na záves:

$$O_z = m_z \cdot \frac{D_t}{2} \cdot \omega^2 \quad [\text{N}] \quad (5.24)$$

Celková odstredivá sila na jednu lopatku:

$$O_{celk} = \frac{O_{(lop+b)}}{k} + O_z \text{ [N]} \quad (5.25)$$

Plocha závesu namáhaná na ťah:

$$A_\sigma = a \cdot t_t \text{ [mm}^2\text{]} \quad (5.26)$$

Plocha závesu namáhaná na šmyk:

$$A_\tau = 2 \cdot b \cdot t_t \text{ [mm}^2\text{]} \quad (5.27)$$

Plocha závesu namáhaná otláčením:

$$A_p = c \cdot t_t \text{ [mm}^2\text{]} \quad (5.28)$$

- koeficienty  $a$ ,  $b$  a  $c$  sú vyčítané z výkresu závesu na základe obrázku 5.2

Namáhanie ťahom:

$$\sigma = \frac{O_{celk}}{A_\sigma} < \sigma_{dov} \text{ [MPa]} \quad (5.29)$$

Namáhanie šmykom:

$$\tau = \frac{O_{celk}}{A_\tau} < \tau_{dov} = 0,65 \cdot \sigma_{dov} \text{ [MPa]} \quad (5.30)$$

Namáhanie otláčením:

$$p = \frac{O_{celk}}{A_p} < p_{dov} = 1,5 \cdot \sigma_{dov} \text{ [MPa]} \quad (5.31)$$

Hodnota dovoleného napätia  $\sigma_{dov}$  je zhodná s hodnotou dovoleného napätia pre namáhanie ob. lopatky ťahom (kap. 5.1.2).

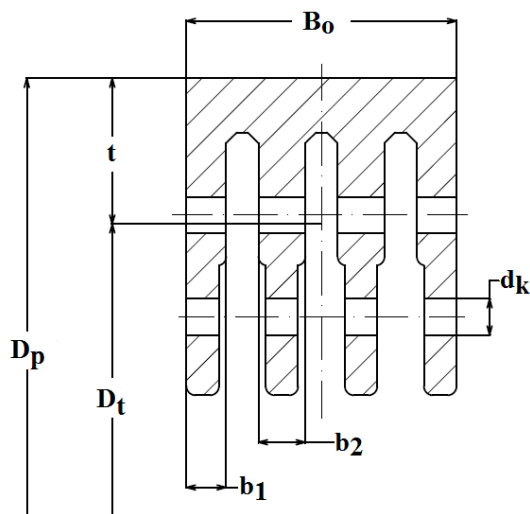
Výsledné hodnoty sú uvedené v tabuľke:

| ÚSEK           |                    | III             |                 | VII             |
|----------------|--------------------|-----------------|-----------------|-----------------|
| STUPEŇ         |                    | 2               | 3               | 10              |
| $D_p$          | [m]                | 1,1700          | 1,2000          | 1,7550          |
| $B'_o$         | [mm]               | 45,0000         | 45,0000         | 30,0000         |
| $z'$           | [-]                | 144,0000        | 148,0000        | 320,0000        |
| $t$            | [mm]               | 19,6000         | 19,6000         | 14,2000         |
| $a$            | [mm]               | 16,0000         | 16,0000         | 10,0000         |
| $b$            | [mm]               | 14,0000         | 14,0000         | 9,0000          |
| $c$            | [mm]               | 12,4000         | 12,4000         | 8,2000          |
| $S_z$          | [cm <sup>2</sup> ] | 13,0600         | 13,0600         | 6,4600          |
| $D_t$          | [m]                | 1,1308          | 1,1608          | 1,7266          |
| $t_t$          | [mm]               | 24,6702         | 24,6403         | 16,9509         |
| $m_z$          | [kg]               | 0,2529          | 0,2526          | 0,0860          |
| $O_z$          | [N]                | 17077,6038      | 17509,3857      | 8862,1819       |
| $O_c$          | [N]                | 53491,1693      | 59567,8093      | 39571,6100      |
| $A_s$          | [mm <sup>2</sup> ] | 394,7237        | 394,2444        | 169,5086        |
| $A_t$          | [mm <sup>2</sup> ] | 690,7664        | 689,9277        | 305,1154        |
| $A_p$          | [mm <sup>2</sup> ] | 305,9108        | 305,5394        | 138,9970        |
| $\sigma$       | [MPa]              | <b>135,5155</b> | <b>151,0936</b> | <b>233,4490</b> |
| $\sigma_{dov}$ | [MPa]              | 167,0000        | 167,0000        | 260,0000        |
| $\tau$         | [MPa]              | <b>77,4374</b>  | <b>86,3392</b>  | <b>129,6939</b> |
| $\tau_{dov}$   | [MPa]              | 108,5500        | 108,5500        | 169,0000        |
| $p$            | [MPa]              | <b>174,8587</b> | <b>194,9595</b> | <b>284,6939</b> |
| $p_{dov}$      | [MPa]              | 250,5000        | 250,5000        | 390,0000        |

Tab. 5.5: Namáhanie závesov obežných lopatiek typu „T“.

## 5.2.2 Rozvidlené závesy

Postup výpočtu charakteristických parametrov rozvidleného závesu a odstředivých síl je zhodný s výpočtem závesu typu „T“. Použité vzorce v této podkapitole boli konzultované so spoločnosťou DŠP.



Obr. 5.3: Rozvidlený záves.

Plocha závesu namáhaná na ťah:

$$A_{\sigma} = (t_t - d_k) \cdot (2 \cdot b_1 + 2 \cdot b_2) \text{ [mm}^2\text{]} \quad (5.32)$$

- vzťah platí pre uvažovaný počet rozvidlenia  $n_v = 4$
- hodnota  $d_k$  predstavuje dovolený max. priemer kolíku; je vyčítaná z výkresu závesu

Plocha kolíku namáhaná na šmyk:

$$A_{\tau,k} = 2 \cdot \frac{\pi \cdot d_k^2}{4} \cdot n_v \cdot n_k \text{ [mm}^2\text{]} \quad (5.33)$$

- hodnota  $n_v$  predstavuje počet rozvidlenia
- hodnota  $n_k$  predstavuje počet kolíkov v závese

Plocha závesu namáhaná otláčením:

$$A_p = d_k \cdot (2 \cdot b_1 + 2 \cdot b_2) \text{ [mm}^2\text{]} \quad (5.34)$$

- vzťah platí pre uvažovaný počet rozvidlenia  $n_v = 4$
- koeficienty  $b_1$  a  $b_2$  sú vyčítané z výkresu závesu na základe obrázku 5.3

Namáhanie ťahom:

$$\sigma = \frac{O_{celk}}{A_{\sigma}} < \sigma_{dov} \text{ [MPa]} \quad (5.35)$$

Namáhanie šmykom:

$$\tau = \frac{O_{celk}}{A_{\tau}} < \tau_{dov} \text{ [MPa]} \quad (5.36)$$

- hodnota dovoleného napätia  $\tau_{dov}$  je určená z katalógu v prílohe č. 2 na základe materiálu kolíku a povrchovej teploty lopatky

Namáhanie otláčením:

$$p = \frac{O_{celk}}{A_p} < p_{dov} = 1,5 \cdot \sigma_{dov} \text{ [MPa]} \quad (5.37)$$

Hodnota dovoleného napätia  $\sigma_{dov}$  je zhodná s hodnotou dovoleného napätia uvažovanou v prípade závesu typu „T“.

Z dôvodu vysokého zaťaženia závesov obežných lopatiek bol použitý špeciálny typ rozvidleného závesu Tp-0914 poskytnutý spoločnosťou DŠP.

Výsledné hodnoty sú uvedené v tabuľke:

| ÚSEK            |                    | III             |                 | IV              |                 |                 |
|-----------------|--------------------|-----------------|-----------------|-----------------|-----------------|-----------------|
| STUPEŇ          |                    | 1               | 4               | 5               | 6               | 7               |
| $D_p$           | [m]                | 1,1500          | 1,2200          | 1,2500          | 1,2900          | 1,3200          |
| $B'_o$          | [mm]               | 45,0000         | 55,0000         | 50,0000         | 60,0000         | 70,0000         |
| $z'$            | [-]                | 140,0000        | 126,0000        | 142,0000        | 110,0000        | 98,0000         |
| $t$             | [mm]               | 31,4170         | 31,4170         | 31,4170         | 31,4170         | 31,4170         |
| $b_1$           | [mm]               | 13,0000         | 13,0000         | 13,0000         | 13,0000         | 13,0000         |
| $b_2$           | [mm]               | 15,0000         | 15,0000         | 15,0000         | 15,0000         | 15,0000         |
| $dk$            | [mm]               | 12,5000         | 12,5000         | 12,5000         | 12,5000         | 12,5000         |
| $nv$            | [-]                | 4,0000          | 4,0000          | 4,0000          | 4,0000          | 4,0000          |
| $nk$            | [-]                | 2,0000          | 2,0000          | 2,0000          | 2,0000          | 2,0000          |
| $S_z$           | [cm <sup>2</sup> ] | 28,5030         | 28,5030         | 28,5030         | 28,5030         | 28,5030         |
| $D_t$           | [m]                | 1,0872          | 1,1572          | 1,1872          | 1,2272          | 1,2572          |
| $t_t$           | [mm]               | 24,3959         | 28,8519         | 26,2647         | 35,0478         | 40,3011         |
| $m_z$           | [kg]               | 0,5459          | 0,6456          | 0,5877          | 0,7842          | 0,9017          |
| $O_z$           | [N]                | 35434,7122      | 44605,2529      | 41658,1307      | 57461,7920      | 67689,9823      |
| $O_c$           | [N]                | 67116,0185      | 119563,5315     | 111727,4025     | 162732,0305     | 225242,9929     |
| $A_s$           | [mm <sup>2</sup> ] | 666,1731        | 915,7085        | 770,8250        | 1262,6756       | 1556,8591       |
| $A_{t,k}$       | [mm <sup>2</sup> ] | 1963,4954       | 1963,4954       | 1963,4954       | 1963,4954       | 1963,4954       |
| $A_p$           | [mm <sup>2</sup> ] | 700,0000        | 700,0000        | 700,0000        | 700,0000        | 700,0000        |
| $\sigma$        | [MPa]              | <b>100,7486</b> | <b>130,5694</b> | <b>144,9452</b> | <b>128,8787</b> | <b>144,6778</b> |
| $\sigma_{dov}$  | [MPa]              | 142,0000        | 181,0000        | 186,0000        | 191,0000        | 255,0000        |
| materiál kolíku |                    | 15 320.9        |                 |                 |                 |                 |
| $\tau_k$        | [MPa]              | <b>34,1819</b>  | <b>60,8932</b>  | <b>56,9023</b>  | <b>82,8787</b>  | <b>114,7153</b> |
| $\tau_{dov}$    | [MPa]              | 63,0000         | 105,0000        | 110,0000        | 115,0000        | 125,0000        |
| $p_k$           | [MPa]              | <b>95,8800</b>  | <b>170,8050</b> | <b>159,6106</b> | <b>232,4743</b> | <b>321,7757</b> |
| $p_{dov}$       | [MPa]              | 213,0000        | 271,5000        | 279,0000        | 286,5000        | 382,5000        |

Tab. 5.5: Namáhání rozvidlených závesov obežných lopatiek.

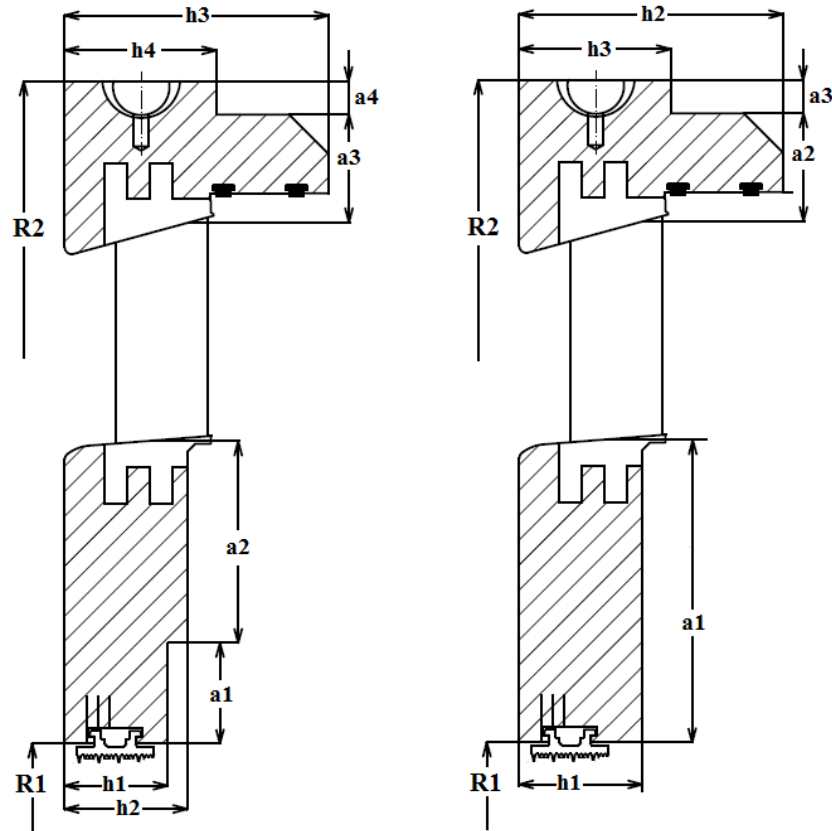
| ÚSEK                 |                    | V               | VI              | VIII            |
|----------------------|--------------------|-----------------|-----------------|-----------------|
| STUPEŇ               |                    | 8               | 9               | 11              |
| D <sub>p</sub>       | [m]                | 1,3500          | 1,3800          | 1,7550          |
| B' <sub>o</sub>      | [mm]               | 70,0000         | 75,0000         | 40,0000         |
| z'                   | [-]                | 100,0000        | 96,0000         | 250,0000        |
| t                    | [mm]               | 31,4170         | 31,4170         | 31,4170         |
| b <sub>1</sub>       | [mm]               | 13,0000         | 13,0000         | 13,0000         |
| b <sub>2</sub>       | [mm]               | 15,0000         | 15,0000         | 15,0000         |
| dk                   | [mm]               | 12,5000         | 12,5000         | 12,5000         |
| nv                   | [-]                | 4,0000          | 4,0000          | 4,0000          |
| nk                   | [-]                | 2,0000          | 2,0000          | 2,0000          |
| S <sub>z</sub>       | [cm <sup>2</sup> ] | 28,5030         | 28,5030         | 28,5030         |
| D <sub>t</sub>       | [m]                | 1,2872          | 1,3172          | 1,6922          |
| t <sub>t</sub>       | [mm]               | 40,4375         | 43,1042         | 21,2644         |
| m <sub>z</sub>       | [kg]               | 0,9048          | 0,9644          | 0,4758          |
| O <sub>z</sub>       | [N]                | 69539,9448      | 75853,3931      | 48074,0978      |
| O <sub>c</sub>       | [N]                | 220786,0855     | 263839,2263     | 137378,1877     |
| A <sub>s</sub>       | [mm <sup>2</sup> ] | 1564,5007       | 1713,8328       | 490,8056        |
| A <sub>t,k</sub>     | [mm <sup>2</sup> ] | 1963,4954       | 1963,4954       | 1963,4954       |
| A <sub>p</sub>       | [mm <sup>2</sup> ] | 700,0000        | 700,0000        | 700,0000        |
| <b>σ</b>             | <b>[MPa]</b>       | <b>141,1224</b> | <b>153,9469</b> | <b>279,9035</b> |
| σ <sub>dov</sub>     | [MPa]              | 255,0000        | 262,0000        | 294,0000        |
| materiál kolíku      |                    | 15 320.9        |                 |                 |
| <b>τ<sub>k</sub></b> | <b>[MPa]</b>       | <b>112,4454</b> | <b>134,3722</b> | <b>69,9661</b>  |
| τ <sub>dov</sub>     | [MPa]              | 125,0000        | 144,0000        | 150,0000        |
| <b>p<sub>k</sub></b> | <b>[MPa]</b>       | <b>315,4087</b> | <b>376,9132</b> | <b>196,2546</b> |
| p <sub>dov</sub>     | [MPa]              | 382,5000        | 393,0000        | 441,0000        |

Tab. 5.6: Namáhanie rozvidlených závesov obežných lopatiek (pokračovanie).

### 5.3 Namáhanie rozvážacích kolies

Rozvážacie koleso predstavuje kruhový nosič rozvážacích lopatiek uchytený po obvode v drážkach nosičov rozvážacích kolies alebo priamo v turbínovej skrini. U rozvážacích kolies sa kontroluje namáhanie na ohyb spôsobené tlakovým rozdielom pred a za rozvážacím kolesom. Detailný výpočet je značne zložitý, najmä kvôli vplyvu rozv. lopatky na tuhosť kolesa, preto je uvažované nižšie uvedené zjednodušenie. [1]

Pri výpočte podľa Taylora je rozvážacie koleso nahradené ekvivalentnou kruhovou pólenou doskou o šírke  $h_0$ , ktorá je vyjadrená z kvadratických momentov jednotlivých častí kolesa. Pre takto určenú kruhovú dosku je následne stanovené maximálne ohybové napätie a maximálny priehyb.



Obr. 5.4: Označenie rozmerov rozvádzacích kolies.

Kvadratický moment průřezu rozv. kola:

$$J = \frac{a_1 \cdot h_1^3}{12} + \frac{a_2 \cdot h_2^3}{12} + \frac{a_3 \cdot h_3^3}{12} + \frac{a_4 \cdot h_4^3}{12} \quad [\text{mm}^4] \quad (5.38)$$

Šírka ekvivalentnej kruhovej dosky:

$$J = \frac{(R_2 - R_1) \cdot h_0^3}{12} \Rightarrow h_0 = \sqrt[3]{\frac{12 \cdot J}{(R_2 - R_1)}} \quad [\text{mm}] \quad (5.39)$$

Pretlak na rozv. koleso:

$$\Delta p = p_0 - p_1^{RL} \quad [\text{MPa}] \quad (5.40)$$

Súčiniteľ  $\varphi$  pre výpočet namáhania rozv. kola:

$$\varphi = f\left(\frac{R_1}{R_2}; \frac{h_0}{R_2 - R_1}\right) \quad (5.41)$$

- určený z diagramu v prílohe č. 4

Maximálne ohybové napätie:

$$\sigma_{\max} = \varphi \cdot \Delta p \cdot \left(\frac{R_2}{h_0}\right)^2 \quad [\text{MPa}] \quad (5.42)$$

Hodnoty maximálneho ohybového napätia nesmú presiahnuť hodnoty napätia dovoleného, určené z katalógu v prílohe č. 2 na základe zvoleného materiálu a povrchovej teploty rozv. kolies. Približnú hodnotu povrchovej teploty rozv. kolies je možné vypočítať nasledovne

$$t_p^{RK} = t_0 - 50 \text{ [}^\circ\text{C]} \quad (5.43)$$

- *teplota pary na vstupe do rozv. lopatkovej mreži bola stanovená v kap. 4.3*

Súčiniteľ  $\mu$  pre výpočet priehybu rozv. kolesa:

$$\mu = f\left(\frac{R_1}{R_2}; \frac{h_0}{R_2 - R_1}\right) \quad (5.44)$$

- *určený z diagramu v prílohe č. 5*

Maximálny priehyb:

$$y_{\max} = \mu \cdot \Delta p \cdot \frac{R_2^4}{E \cdot h_0^3} \text{ [mm]} \quad (5.45)$$

- *modul pružnosti v ťahu  $E$  pre daný materiál je v závislosti na povrchovej teplote rozv. kolesa určený z diagramu v prílohe č. 6 (krivka b)*

Hodnota dovoleného priehybu:

$$y_{dov} = 0,002 \cdot R_2 \quad (5.46)$$

Výsledné hodnoty sú uvedené v nasledujúcej tabuľke:

| ÚSEK            |                    | III            |                |                | IV             |                |                |
|-----------------|--------------------|----------------|----------------|----------------|----------------|----------------|----------------|
| STUPEŇ          |                    | 2              | 3              | 4              | 5              | 6              | 7              |
| $h_1$           | [mm]               | 81,0000        | 77,0000        | 81,0000        | 81,5000        | 73,0000        | 80,5000        |
| $h_2$           | [mm]               | 94,0000        | 90,0000        | 94,0000        | 94,5000        | 87,0000        | 94,5000        |
| $h_3$           | [mm]               | 161,0000       | 161,0000       | 199,5000       | 179,5000       | 187,0000       | 195,5000       |
| $h_4$           | [mm]               | 106,0000       | 92,0000        | 90,5000        | 86,5000        | 107,5000       | 110,5000       |
| $a_1$           | [mm]               | 71,2000        | 71,2000        | 71,2000        | 71,2000        | 71,2000        | 71,2000        |
| $a_2$           | [mm]               | 86,3000        | 101,3000       | 111,3000       | 126,3000       | 146,3000       | 161,3000       |
| $a_3$           | [mm]               | 70,0000        | 70,0000        | 65,0000        | 100,0000       | 75,0000        | 80,0000        |
| $a_4$           | [mm]               | 23,5000        | 23,5000        | 23,5000        | 23,5000        | 23,5000        | 23,5000        |
| $R_1$           | [mm]               | 427,5000       | 427,5000       | 427,5000       | 427,5000       | 427,5000       | 427,5000       |
| $R_2$           | [mm]               | 764,5000       | 790,0000       | 814,0000       | 850,0000       | 894,0000       | 939,0000       |
| $J$             | [cm <sup>4</sup> ] | 3580,3045      | 3473,1807      | 5531,7580      | 6155,7695      | 5363,9267      | 6689,4695      |
| $h_0$           | [mm]               | 108,4319       | 104,7611       | 119,7563       | 120,4700       | 111,3279       | 116,2097       |
| $\Delta p$      | [MPa]              | 0,5366         | 0,4702         | 0,3962         | 0,3351         | 0,3342         | 0,2715         |
| $R_1/R_2$       | [-]                | 0,5592         | 0,5411         | 0,5252         | 0,5029         | 0,4782         | 0,4553         |
| $h_0/(R_2-R_1)$ | [-]                | 0,3218         | 0,2890         | 0,3098         | 0,2851         | 0,2386         | 0,2272         |
| $\varphi$       | [-]                | 1,4000         | 1,4200         | 1,5000         | 1,5800         | 1,6700         | 1,7500         |
| $\mu$           | [-]                | 0,8000         | 0,7900         | 0,8700         | 0,9300         | 1,0000         | 1,0700         |
| $t_p^{RK}$      | [°C]               | 487,4316       | 455,4363       | 421,4283       | 385,9071       | 348,2592       | 307,7638       |
| material        |                    | 15 128.5       |                |                |                |                |                |
| $E$             | [GPa]              | 176,0000       | 179,0000       | 183,0000       | 185,0000       | 188,0000       | 192,0000       |
| $\sigma_{max}$  | [MPa]              | <b>37,3413</b> | <b>37,9647</b> | <b>27,4550</b> | <b>26,3611</b> | <b>35,9919</b> | <b>31,0248</b> |
| $\sigma_{dov}$  | [MPa]              | 84,0000        | 109,0000       | 125,0000       | 132,0000       | 139,0000       | 139,0000       |
| $\gamma_{max}$  | [MPa]              | <b>0,6535</b>  | <b>0,7029</b>  | <b>0,4814</b>  | <b>0,5030</b>  | <b>0,8230</b>  | <b>0,7496</b>  |
| $\gamma_{dov}$  | [MPa]              | 1,5290         | 1,5800         | 1,6280         | 1,7000         | 1,7880         | 1,8780         |

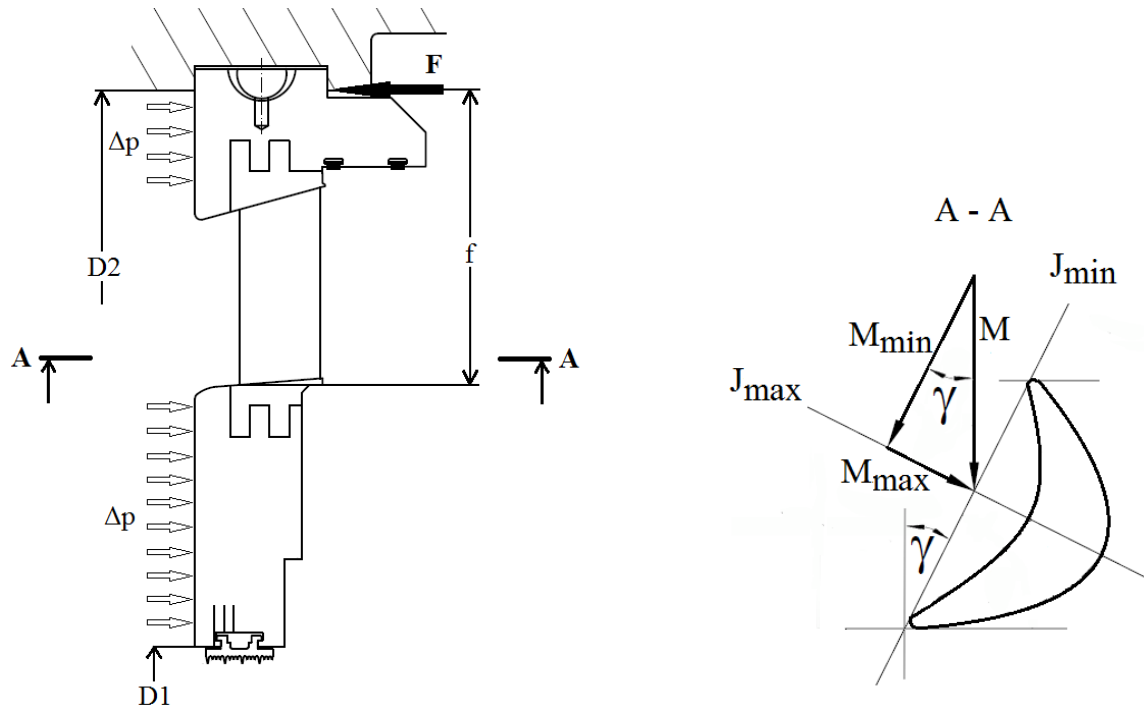
Tab. 5.7: Namáhanie rozvádzačích kolies.

| ÚSEK            |                    | V              | VI             | VII            | VIII           |
|-----------------|--------------------|----------------|----------------|----------------|----------------|
| STUPEŇ          |                    | 8              | 9              | 10             | 11             |
| $h_1$           | [mm]               | 95,0000        | 118,0000       | 93,0000        | 92,0000        |
| $h_2$           | [mm]               | 109,0000       | 243,0000       | 218,0000       | 179,0000       |
| $h_3$           | [mm]               | 203,0000       | 120,0000       | 147,5000       | 124,5000       |
| $h_4$           | [mm]               | 101,0000       | 0,0000         | 0,0000         | 0,0000         |
| $a_1$           | [mm]               | 71,2000        | 258,0000       | 311,5000       | 316,5000       |
| $a_2$           | [mm]               | 176,3000       | 110,0000       | 135,0000       | 65,0000        |
| $a_3$           | [mm]               | 80,0000        | 23,5000        | 22,5000        | 30,0000        |
| $a_4$           | [mm]               | 23,5000        | 0,0000         | 0,0000         | 0,0000         |
| $R_1$           | [mm]               | 427,5000       | 427,5000       | 544,0000       | 544,0000       |
| $R_2$           | [mm]               | 957,0000       | 1037,0000      | 1152,0000      | 1158,0000      |
| $J$             | [cm <sup>4</sup> ] | 8190,0412      | 1702,4084      | 1434,4934      | 5642,8768      |
| $h_0$           | [mm]               | 122,8949       | 149,6547       | 141,4682       | 103,3168       |
| $\Delta p$      | [MPa]              | 0,2139         | 0,1623         | 0,1514         | 0,0734         |
| $R_1/R_2$       | [-]                | 0,4467         | 0,4122         | 0,4722         | 0,4698         |
| $h_0/(R_2-R_1)$ | [-]                | 0,2321         | 0,2455         | 0,2327         | 0,1683         |
| $\varphi$       | [-]                | 1,7700         | 1,9100         | 1,6000         | 1,6100         |
| $\mu$           | [-]                | 1,1700         | 1,2000         | 0,9400         | 0,9600         |
| $t_p^{RK}$      | [°C]               | 265,0133       | 219,8445       | 172,4269       | 94,3975        |
| material        |                    | 15 128.5       |                |                |                |
| $E$             | [GPa]              | 195,0000       | 198,0000       | 202,0000       | 208,0000       |
| $\sigma_{max}$  | [MPa]              | <b>22,9561</b> | <b>14,8832</b> | <b>16,0615</b> | <b>14,8445</b> |
| $\sigma_{dov}$  | [MPa]              | 147,0000       | 147,0000       | 159,0000       | 172,0000       |
| $\gamma_{max}$  | [MPa]              | <b>0,5799</b>  | <b>0,3393</b>  | <b>0,4382</b>  | <b>0,5523</b>  |
| $\gamma_{dov}$  | [MPa]              | 1,9140         | 2,0740         | 2,3040         | 2,3160         |

Tab. 5.8: Namáhanie rozvádzacích kolies (pokračovanie).

## 5.4 Namáhanie rozvádzacích lopatiek

Rozvádzacie lopatky, tak ako aj rozvádzacie kolesá, sú kontrolované na namáhanie ohybom spôsobené tlakovou diferenciou pred a za rozvádzacou lopatkovou mrežou. Sila reakcie od pretlaku, ktorá vyvodzuje ohybový moment pôsobí v mieste uloženia rozv. kolesa. Pri kontrole namáhania budú uvažované charakteristiky profilov rozvádzacích lopatiek volené v kapitole 4.4.2, odpovedajúce šírke profilu 25 mm. V prípade hodnôt namáhania väčších ako hodnoty dovolené, dôjde opäť k úprave jednotlivých širok profilu a k prepočtu charakteristík na skutočné hodnoty, označené apostroфом, obdobne ako u obežných lopatiek v kapitole 5.1.



Obr. 5.5: Ohybové namáhanie rozvádzacej lopatky.

Plocha, na ktorú pôsobí pretlak:

$$A = \frac{\pi}{4} \cdot (D_2^2 - D_1^2) \text{ [m}^2\text{]} \quad (5.47)$$

Sila od pretlaku na jednu lopatku:

$$F = \Delta p \cdot A \cdot \frac{1}{z_{r,zaokr}} \text{ [N]} \quad (5.48)$$

- počet rozvádzacích lopatiek  $z_r$  sa zaokrúhľuje na číslo nepárne

Sila od pretlaku pôsobiaca v ose  $J_{\max}$ :

$$F' = F \cdot \sin \gamma_r \text{ [N]} \quad (5.49)$$

Ohybový moment na jednu lopatku:

$$M_o = F' \cdot f \text{ [Nm]} \quad (5.50)$$

- parameter  $f$  predstavuje rameno pôsobiacej sily  $F$ , znázornené na obrázku 5.5

Napätie v ohybe:

$$\sigma_o = \frac{M_o}{W_{0\min}} \text{ [MPa]} \quad (5.51)$$

Hodnoty napätia v ohybe nesmú presiahnuť hodnoty napätia dovoleného, určené na základe zvoleného materiálu a povrchovej teploty rozv. lopatky. Povrchová teplota rozv. lopatky je uvažovaná ako zhodná s povrchovou teplotou rozv. kolesa. Z dôvodu vysokého zaťaženia bol pre rozvádzacie lopatky použitý špeciálny materiál X22CrMoV12-1 dodaný spoločnosťou DŠP.

| ÚSEK                         |                    | III             |                 |                 |                 | IV              |                 |                 |
|------------------------------|--------------------|-----------------|-----------------|-----------------|-----------------|-----------------|-----------------|-----------------|
| STUPEŇ                       |                    | 1               | 2               | 3               | 4               | 5               | 6               | 7               |
| profil                       |                    | S-90-15A        |                 |                 |                 |                 |                 |                 |
| typ lopatky                  |                    | V               | V               | V               | V               | V               | Z               | Z               |
| b <sub>r</sub>               | [mm]               | 51,5000         |                 |                 |                 |                 |                 |                 |
| S <sub>0</sub>               | [cm <sup>2</sup> ] | 3,3000          |                 |                 |                 |                 |                 |                 |
| W <sub>0 min</sub>           | [cm <sup>3</sup> ] | 0,4500          |                 |                 |                 |                 |                 |                 |
| t <sub>opt</sub>             | [-]                | 0,7500          |                 |                 |                 |                 |                 |                 |
| γ <sub>r</sub>               | [°]                | 60,9589         |                 |                 |                 |                 |                 |                 |
| <b>B'<sub>r</sub></b>        | <b>[mm]</b>        | <b>50,0000</b>  | <b>65,0000</b>  | <b>65,0000</b>  | <b>60,0000</b>  | <b>65,0000</b>  | <b>65,0000</b>  | <b>70,0000</b>  |
| b' <sub>r</sub>              | [mm]               | 103,0000        | 133,9000        | 133,9000        | 123,6000        | 133,9000        | 133,9000        | 144,2000        |
| t' <sub>r</sub>              | [mm]               | 77,2500         | 100,4250        | 100,4250        | 92,7000         | 100,4250        | 100,4250        | 108,1500        |
| z'                           | [-]                | 51,0000         | 41,0000         | 41,0000         | 47,0000         | 45,0000         | 47,0000         | 39,0000         |
| S' <sub>o</sub>              | [cm <sup>2</sup> ] | 13,2000         | 22,3080         | 22,3080         | 19,0080         | 22,3080         | 22,3080         | 25,8720         |
| W' <sub>o min</sub>          | [cm <sup>3</sup> ] | 3,6000          | 7,9092          | 7,9092          | 6,2208          | 7,9092          | 7,9092          | 9,8784          |
| A                            | [m <sup>2</sup> ]  | 0,3050          | 0,7943          | 1,2933          | 1,4139          | 1,6042          | 1,8405          | 2,0947          |
| Δp                           | [MPa]              | 0,6153          | 0,5366          | 0,4702          | 0,3962          | 0,3351          | 0,3342          | 0,2715          |
| F                            | [N]                | 3680,1587       | 10395,3346      | 14830,9502      | 11918,0030      | 11947,4030      | 13087,5367      | 14584,4300      |
| F'                           | [N]                | 3217,4587       | 9088,3470       | 12966,2802      | 10419,5729      | 10445,2765      | 11442,0631      | 12750,7545      |
| f                            | [m]                | 0,1210          | 0,1670          | 0,1760          | 0,1890          | 0,2130          | 0,2370          | 0,2666          |
| Mo                           | [Nm]               | 389,3125        | 1517,7539       | 2282,0653       | 1969,2993       | 2224,8439       | 2711,7689       | 3399,3512       |
| t <sub>p</sub> <sup>RL</sup> | [°C]               | 518,0000        | 487,4316        | 455,4363        | 421,4283        | 385,9071        | 348,2592        | 307,7638        |
| materiál                     |                    | X22CrMoV12-1    |                 |                 |                 |                 |                 |                 |
| <b>σ</b>                     | <b>[MPa]</b>       | <b>108,1424</b> | <b>191,8973</b> | <b>288,5330</b> | <b>316,5669</b> | <b>281,2982</b> | <b>342,8626</b> | <b>344,1196</b> |
| σ <sub>dov</sub>             | [MPa]              | 173,0000        | 220,0000        | 299,0000        | 323,0000        | 336,0000        | 360,0000        | 360,0000        |

Tab. 5.9: Namáhanie rozvádzacích lopatiek.

| ÚSEK           | V                  | VI              | VII             | VIII            |                 |
|----------------|--------------------|-----------------|-----------------|-----------------|-----------------|
| STUPEŇ         | 8                  | 9               | 10              | 11              |                 |
| profil         | S-90-18A           |                 | S-90-15B        |                 |                 |
| typ lopatky    | Z                  | Z               | V               | V               |                 |
| $b_r$          | [mm]               | 47,1000         |                 | 52,0000         |                 |
| $S_0$          | [cm <sup>2</sup> ] | 2,7200          |                 | 3,2100          |                 |
| $W_{0\min}$    | [cm <sup>3</sup> ] | 0,3330          |                 | 0,4130          |                 |
| $t_{opt}$      | [-]                | 0,7500          |                 | 0,7500          |                 |
| $\gamma_r$     | [°]                | 57,9415         |                 | 61,2643         |                 |
| $B'_r$         | [mm]               | <b>70,0000</b>  | <b>70,0000</b>  | <b>40,0000</b>  | <b>40,0000</b>  |
| $b'_r$         | [mm]               | 131,8800        | 131,8800        | 83,2000         | 83,2000         |
| $t'_r$         | [mm]               | 98,9100         | 98,9100         | 62,4000         | 62,4000         |
| $z'$           | [-]                | 43,0000         | 45,0000         | 95,0000         | 89,0000         |
| $S'_o$         | [cm <sup>2</sup> ] | 21,3248         | 21,3248         | 8,2176          | 8,2176          |
| $W'_{o\min}$   | [cm <sup>3</sup> ] | 7,3100          | 7,3100          | 1,8432          | 1,8432          |
| A              | [m <sup>2</sup> ]  | 2,1900          | 2,6880          | 2,2025          | 3,1031          |
| $\Delta p$     | [MPa]              | 0,2139          | 0,1623          | 0,1514          | 0,0734          |
| F              | [N]                | 10892,7389      | 9693,8354       | 3509,3518       | 2559,3427       |
| F'             | [N]                | 9231,6633       | 8215,5851       | 3077,1652       | 2244,1524       |
| f              | [m]                | 0,2690          | 0,3350          | 0,2530          | 0,2550          |
| Mo             | [Nm]               | 2483,3174       | 2752,2210       | 778,5228        | 572,2589        |
| $t_p^{RL}$     | [°C]               | 265,0133        | 219,8445        | 172,4177        | 94,4069         |
| materiál       | X22CrMoV12-1       |                 |                 |                 |                 |
| $\sigma$       | [MPa]              | <b>339,7144</b> | <b>376,5000</b> | <b>422,3756</b> | <b>310,4703</b> |
| $\sigma_{dov}$ | [MPa]              | 384,0000        | 384,0000        | 424,0000        | 448,0000        |

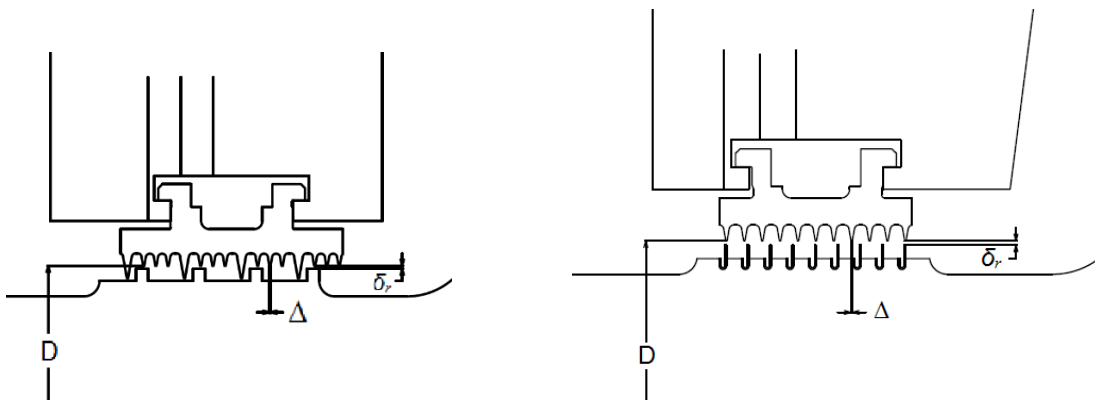
Tab. 5.10: Namáhanie rozvádzacích lopatiek (pokračovanie).

## 6 Upchávkvy

Upchávkvy slúžia k utesneniu priestoru medzi statorovou časťou a rotorom turbíny. Najrozšírenejším typom upchávkov sú bezkontaktné labyrintové upchávkvy, v ktorých dochádza pri prúde pary k vzniku čo najväčších strát, čím sa docieli čo najmenší prietok. Kinetická energia pary je tak premieňaná na energiu tepelnú. [1] Všetky upchávkvy uvažované pri výpočte ST-NT dielu boli zachované z pôvodného projektu. Výpočet vychádza z [1].

### 6.1 Vnútorne upchávkvy

Vnútorne upchávkvy utesňujú priestor pred a za rozvádzacím kolesom. Na prvom až 9. stupni (ST časť ST-NT dielu turbíny) sú použité normalizované upchávkové segmenty s kombinovaným typom labyrintu a 12 tesniacimi britmi. Časť upchávkvy s nepravým labyrintom je pre zjednodušenie zanedbaná a kombinovaný typ labyrintu je v rámci výpočtu nahradený pravým labyrintom s 8 tesniacimi britmi. Na 10. až 13. stupni (NT časť ST-NT dielu turbíny) sú z dôvodu relatívne veľkej vzdialenosti od axiálneho ložiska použité upchávkové segmenty s nepravým labyrintom a 11 tesniacimi britmi. Para, ktorá prúdi vnútornými upchávkami nie je urýchľovaná v rozvádzacej lopatkovej mreži, čím čiastočne narušuje hlavný prúd pary a tým pádom predstavuje miernu stratu vo výkone turbíny. [6] Charakter prúdenia na poslednom brite vnútorných upchávkov všetkých stupňov ST-NT dielu bol určený ako podkritický.



Obr. 6.1: Vnútorne upchávkvy s kombinovaným typom labyrintu (vľavo) a nepravým labyrintom (vpravo).

Radiálna vôľa upchávkvy:

$\delta_r$  [mm] - volená podľa doporučenia spoločnosti DŠP

Prietočná plocha upchávkvy:

$$S = \pi \cdot D \cdot \delta_r \text{ [m}^2\text{]} \quad (6.1)$$

-  $D$  predstavuje priemer k britu upchávkvy

Charakter prúdenia na poslednom brite:

$$\pi_p = \frac{p_1}{p_0} \text{ [-]} \quad (6.2)$$

$$\pi_p \geq \frac{0,82}{\sqrt{z+1,25}} \text{ - podkritické prúdenie na poslednom brite}$$

$$\pi_p \leq \frac{0,82}{\sqrt{z+1,25}} \text{ - kritické prúdenie na poslednom brite}$$

Šírka britu upchávky:

$\Delta$  [mm]

Prietokový súčiniteľ:

$$\mu_u = f(\delta_r / \Delta) [-] \text{ - určený z diagramu v prílohe 7} \quad (6.3)$$

Hmotnostný tok upchávkou s pravým labyrintom pri podkritickom prúdení:

$$m_u = \mu_u \cdot S \cdot \sqrt{\frac{P_0^2 - P_1^2}{z \cdot P_0 \cdot v_0}} \text{ [kg/s]} \quad (6.4)$$

-  $z$  je počet britov upchávky

Hmotnostný tok upchávkou s nepravým labyrintom pri podkritickom prúdení:

$$m_u = k \cdot \mu_u \cdot S \cdot \sqrt{\frac{P_0^2 - P_1^2}{z \cdot P_0 \cdot v_0}} \text{ [kg/s]} \quad (6.5)$$

Parameter  $k$  predstavuje súčiniteľ pre prepočet na nepravý labyrint a je určený nasledovne:

$$k = \sqrt{\frac{z}{(1-q) \cdot z + q}} [-] \quad (6.6)$$

$$q = 1 - \frac{1}{\left(1 + 16,6 \cdot \frac{\delta_r}{t}\right)^2} [-] \quad (6.7)$$

-  $t$  [mm] je rozstup britov upchávky

Stratový výkon vnútornou upchávkou:

$$P_{z,vm} = m_u \cdot h \text{ [kW]} \quad (6.8)$$

- užitočný entalpický spád  $h$  bol určený v kapitole 4.1

Výsledné hodnoty sú uvedené v nasledujúcej tabuľke:

| ÚSEK           |                      | III           |               |               | IV            |               |               | V             | VI            |
|----------------|----------------------|---------------|---------------|---------------|---------------|---------------|---------------|---------------|---------------|
| STUPEŇ         |                      | 2             | 3             | 4             | 5             | 6             | 7             | 8             | 9             |
| $p_0$          | [bar]                | 33,6677       | 27,4357       | 21,9196       | 17,1930       | 13,1475       | 9,7137        | 6,9249        | 4,7294        |
| $p_1$          | [bar]                | 28,3021       | 22,7342       | 17,9579       | 13,8376       | 9,8054        | 6,9983        | 4,7863        | 3,1064        |
| $\pi_p$        | [-]                  | 0,8406        | 0,8286        | 0,8193        | 0,8048        | 0,7458        | 0,7205        | 0,6912        | 0,6568        |
| $z$            | [-]                  | 8,0000        | 8,0000        | 8,0000        | 8,0000        | 8,0000        | 8,0000        | 8,0000        | 8,0000        |
| char. prúdenia |                      | PODKRIT.      |
| $D$            | [mm]                 | 833,0000      | 833,0000      | 833,0000      | 833,0000      | 833,0000      | 833,0000      | 833,0000      | 833,0000      |
| $\delta_r$     | [mm]                 | 0,7000        | 0,7000        | 0,7000        | 0,7000        | 0,7000        | 0,7000        | 0,7000        | 0,7000        |
| $S$            | [cm <sup>2</sup> ]   | 18,3186       | 18,3186       | 18,3186       | 18,3186       | 18,3186       | 18,3186       | 18,3186       | 18,3186       |
| $\Delta$       | [mm]                 | 0,3000        | 0,3000        | 0,3000        | 0,3000        | 0,3000        | 0,3000        | 0,3000        | 0,3000        |
| $\mu_u$        | [-]                  | 0,7550        | 0,7550        | 0,7550        | 0,7550        | 0,7550        | 0,7550        | 0,7550        | 0,7550        |
| $v_0$          | [m <sup>3</sup> /kg] | 0,1087        | 0,1283        | 0,1537        | 0,1868        | 0,2316        | 0,2948        | 0,3860        | 0,5223        |
| $m_u$          | [kg/s]               | <b>1,4737</b> | <b>1,2659</b> | <b>1,0588</b> | <b>0,8804</b> | <b>0,7762</b> | <b>0,6155</b> | <b>0,4733</b> | <b>0,3508</b> |
| $P_{z,vn}$     | [kW]                 | 96,6997       | 87,6492       | 75,9861       | 66,4100       | 62,4042       | 51,7724       | 41,6515       | 32,1159       |

Tab 6.1: Určenie charakteristík vnútorných upchávok ST časti ST-NT dielu turbíny.

| ÚSEK           |                      | VII           | VIII          |               |               |
|----------------|----------------------|---------------|---------------|---------------|---------------|
| STUPEŇ         |                      | 10            | 11            | 12            | 13            |
| $p_0$          | [bar]                | 3,0642        | 1,3737        | 0,5258        | 0,1759        |
| $p_1$          | [bar]                | 1,5505        | 0,6397        | 0,1821        | 0,0556        |
| $\pi_p$        | [-]                  | 0,5060        | 0,4657        | 0,3464        | 0,3163        |
| $z$            | [-]                  | 11,0000       | 11,0000       | 11,0000       | 11,0000       |
| char. prúdenia |                      | PODKRIT.      | PODKRIT.      | PODKRIT.      | PODKRIT.      |
| $D$            | [mm]                 | 1065,0000     | 1065,0000     | 1065,0000     | 1065,0000     |
| $\delta_r$     | [mm]                 | 0,9000        | 0,9000        | 0,9000        | 0,9000        |
| $S$            | [cm <sup>2</sup> ]   | 30,1122       | 30,1122       | 30,1122       | 30,1122       |
| $\Delta$       | [mm]                 | 0,3000        | 0,3000        | 0,3000        | 0,3000        |
| $\mu_u$        | [-]                  | 0,7450        | 0,7450        | 0,7450        | 0,7450        |
| $t$            | [mm]                 | 4,0000        | 4,0000        | 4,0000        | 4,0000        |
| $k$            | [-]                  | 2,7581        | 2,7581        | 2,7581        | 2,7581        |
| $v_0$          | [m <sup>3</sup> /kg] | 0,7365        | 1,3857        | 3,0449        | 8,1486        |
| $m_u$          | [kg/s]               | <b>1,0379</b> | <b>0,5198</b> | <b>0,2300</b> | <b>0,0822</b> |
| $P_{z,vn}$     | [kW]                 | 154,6757      | 77,8052       | 32,2173       | 7,7225        |

Tab 6.2: Určenie charakteristík vnútorných upchávok NT časti ST-NT dielu turbíny.

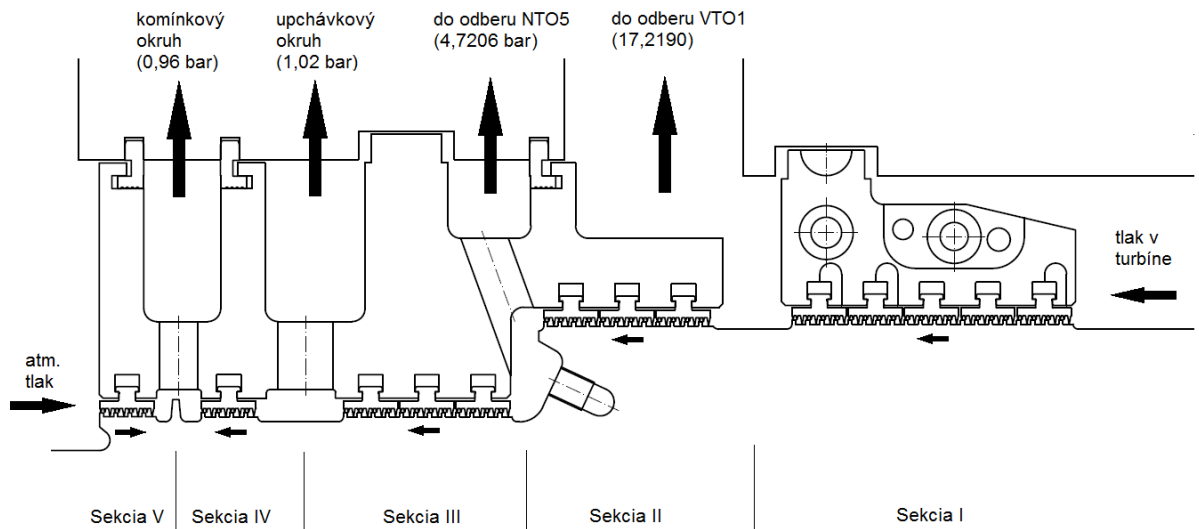
Celkový stratový výkon vnútornými upchávkami je daný súčtom stratových výkonov jednotlivých stupňov:

$$P_{z,vn,celk.} = \sum P_{z,vn} = 787,0868 \text{ [kW]} \quad (6.9)$$

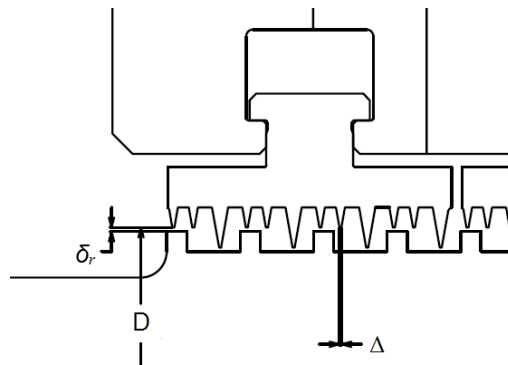
## 6.2 Vonkajšie upchávky

### 6.2.1 Predné upchávky

Predné upchávky sú umiestnené pri vstupe pary do turbíny a zabraňujú úniku pary z priestoru za rozvádzačou lopatkou prvého stupňa, kde je mnohonásobne väčší tlak ako tlak okolia. Unikajúca para prúdi piatimi sekciami upchávok, kde je škrtená a postupne odoberaná v príslušných odberoch. Predné upchávky sa nachádzajú blízko axiálneho ložiska, pozostávajú teda zo segmentov s kombinovaným labyrintom a bude uvažované zjednodušenie ako v predchádzajúcej kapitole. Základné charakteristiky upchávok budú taktiež určené pomocou obdobných vzťahov ako v prípade upchávok vnútorných.



Obr. 6.2: Predné labyrintové upchávky ST-NT dielu.



Obr. 6.3: Segment prednej labyrintovej upchávky ST-NT dielu.

#### Sekcia I

Para z prietočného kanála je po škrtení v sekcii I vyvedená do priestoru medzi vonkajším a vnútorným telesom turbíny kde sa zmieša s prúdom pary z prvého odberu. Tlak pary na výstupe z tejto sekcie teda odpovedá tlaku v odbere na VTO1.

Hmotnostný tok upchávku s pravým labyrintom pri podkritickom prúdení:

$$m_u = \mu_u \cdot S \cdot \sqrt{\frac{p_{in}^2 - p_{out}^2}{z \cdot p_{in} \cdot v_{in}}} \quad [\text{kg/s}] \quad (6.10)$$

- *indexy in, resp. out, označujú parametre pary na vstupe do upchávkovvej sekcie, resp. výstupe z upchávkovvej sekcie*

Hmotnostný tok upchávkou s pravým labyrintom pri kritickom prúdení:

$$m_u = \mu_u \cdot S \cdot \sqrt{\frac{1}{z + 1,25} \cdot \frac{P_{in}}{v_{in}}} \quad [\text{kg/s}] \quad (6.11)$$

### Sekcia II

V sekcii II je para škrtená na hodnotu tlaku v odbere NTO5 navýšenú o tlakové straty potrubia, ktorým je privádzaná do daného odberu. Tlaková strata prívodného potrubia je uvažovaná 10%. Tlak na výstupe zo sekcie je teda dimenzovaný nasledovne

$$p_{out} = 1,1 \cdot p'_{NTO5} \quad (6.12)$$

Hmotnostný tok upchávkou je určený vzťahom 6.9.

### Sekcia III

V sekcii III sa para škrťí na tlak upchávkového okruhu 1,02 bar - hodnota stanovená spoločnosťou DŠP. Upchávkový okruh slúži na zahltenie zadnej upchávky. Hmotnostný tok upchávkou je určený vzťahom 6.9, ako v predchádzajúcej sekcii.

### Sekcia IV

Do odberu za sekciou IV (komínkový okruh) je para škrtená na tlak 0,96 bar - hodnota stanovená spoločnosťou DŠP. Hmotnostný tok upchávkou je určený vzťahom 6.9.

### Sekcia V

Kvôli miernemu podtlaku medzi IV a V sekciou dochádza namiesto úniku upchávkovvej pary do strojovne k nasávaniu okolitého vzduchu. Zmes vzduchu a pary z priestoru medzi sekciami IV a V prúdi komínkovým okruhom do kondenzátora upchávkovvej pary.

Merný objem nasávaného vzduchu je určený zo stavovej rovnice a to nasledovne:

$$v_{vzduch} = \frac{r \cdot T}{P_{atm}} \quad [\text{m}^3/\text{kg}] \quad (6.13)$$

- $r = 287 \text{ J/kgK}$  je plynová konštanta
- $T = 313,15 \text{ K}$  je teplota vzduchu v strojovni
- $p_{atm} = 1,01325 \text{ bar}$  je atmosférický tlak

Hmotnostný tok nasávaného vzduchu upchávkou s pravým labyrintom pri podkritickom prúdení je potom odvodený zo vzťahu 6.9:

$$m_u = \mu_u \cdot S \cdot \sqrt{\frac{P_{atm}^2 - P_{out}^2}{z \cdot P_{atm} \cdot v_{vzduch}}} \quad [\text{kg/s}] \quad (6.14)$$

| SEKCIA         |                      | I             | II            | III           | IV            | V             |
|----------------|----------------------|---------------|---------------|---------------|---------------|---------------|
| $p_{in}$       | [bar]                | 40,7289       | 17,1930       | 5,1927        | 1,0200        | 1,0133        |
| $p_{out}$      | [bar]                | 17,1930       | 5,1927        | 1,0200        | 0,9600        | 0,9600        |
| $\pi_p$        | [-]                  | 0,4221        | 0,3020        | 0,1964        | 0,9412        | 0,9474        |
| $z$            | [-]                  | 40,0000       | 24,0000       | 24,0000       | 8,0000        | 8,0000        |
| char. prúdenia |                      | PODKRIT.      | PODKRIT.      | PODKRIT.      | PODKRIT.      | PODKRIT.      |
| $D$            | [mm]                 | 715,0000      | 712,0000      | 570,0000      | 570,0000      | 570,0000      |
| $\delta_r$     | [mm]                 | 0,6000        | 0,6000        | 0,6000        | 0,6000        | 0,6000        |
| $S$            | [cm <sup>2</sup> ]   | 13,4774       | 13,4209       | 10,7442       | 10,7442       | 10,7442       |
| $\Delta$       | [mm]                 | 0,3000        | 0,3000        | 0,3000        | 0,3000        | 0,3000        |
| $\mu_u$        | [-]                  | 0,7600        | 0,7600        | 0,7600        | 0,7600        | 0,7600        |
| $v_{in}$       | [m <sup>3</sup> /kg] | 0,0932        | 0,0760        | 0,2170        | 1,6790        | 0,8870        |
| $m_u$          | [kg/s]               | <b>0,9706</b> | <b>0,9440</b> | <b>0,2528</b> | <b>0,0240</b> | <b>0,0312</b> |

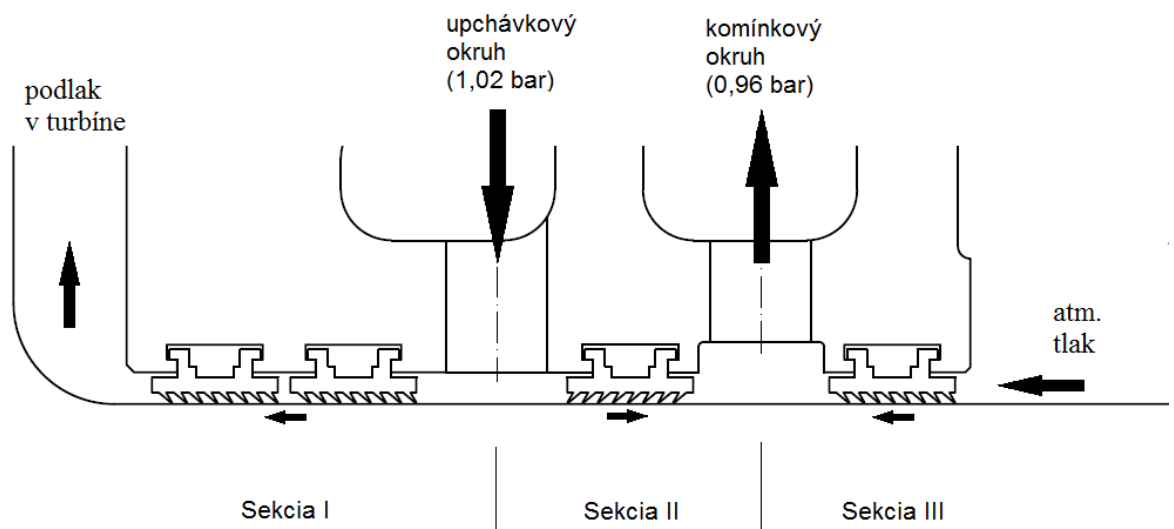
Tab 6.3: Určenie charakteristík predných upchávok ST-NT dielu turbíny.

Prednou upchávkou uniká približne 0,9706 kg/s pary, ktorá nevykoná prácu v turbíne. Stratový výkon je potom stanovený nasledovne:

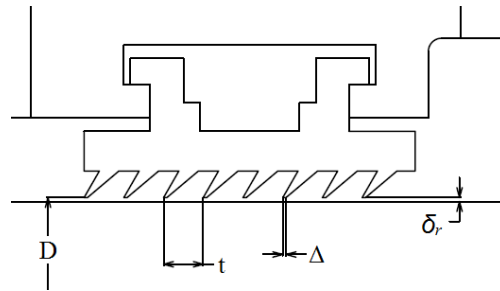
$$P_{z,p} = m_{u,I} \cdot (i_{STNT\_in} - i_2) = 1184,9895 \text{ kW} \quad (6.15)$$

## 6.2.2 Zadné upchávky

Zadné upchávky sú umiestnené na výstupe pary z turbíny, kde je tlak nižší než tlak vzduchu v okolí. Aby nedochádzalo k nasávaní vzduchu zo strojovne do turbíny, je nutné tieto upchávky trvale zahusťovať parou z upchávkového okruhu. Zadné upchávky sú rozdelené na tri sekcie a pozostávajú z normalizovaných upchávkových segmentov s nepravým labyrintom. Základné charakteristiky budú tak ako aj v prípade predných upchávok určené pomocou vzťahov z kapitoly 6.1.



Obr. 6.4: Zadné labyrintové upchávky ST-NT dielu.



Obr. 6.5: Segment zadnej labyrintovej upchávky ST-NT dielu.

### Sekcia I

Sekcia I je zahlcovaná parou z upchávkového okruhu.

Hmotnostný tok upchávkou s nepravým labyrintom pri podkritickom prúdení:

$$m_u = k \cdot \mu_u \cdot S \cdot \sqrt{\frac{p_{in}^2 - p_{out}^2}{z \cdot p_{in} \cdot v_{in}}} \quad [\text{kg/s}] \quad (6.16)$$

Hmotnostný tok upchávkou s nepravým labyrintom pri kritickom prúdení:

$$m_u = k \cdot \mu_u \cdot S \cdot \sqrt{\frac{1}{z + 1,25} \cdot \frac{p_{in}}{v_{in}}} \quad [\text{kg/s}] \quad (6.17)$$

- Súčiniteľ  $k$  je definovaný vzťahmi 6.6 a 6.7

### Sekcia II

Do odberu za sekciou II je para škrtená na tlak komínkového okruhu. Hmotnostný tok upchávkou je určený vzťahom 6.14.

### Sekcia III

Sekciou III je nasávaný okolitý vzduch zo strojovne. Hmotnostný tok upchávkou je určený vzťahom 6.14.

$$m_u = k \cdot \mu_u \cdot S \cdot \sqrt{\frac{p_{atm}^2 - p_{out}^2}{z \cdot p_{atm} \cdot v_{vzduch}}} \quad [\text{kg/s}] \quad (6.18)$$

| SEKCIA                  |                      | I             | II            | III           |
|-------------------------|----------------------|---------------|---------------|---------------|
| $p_{in}$                | [bar]                | 1,0200        | 1,0200        | 1,0133        |
| $p_{out}$               | [bar]                | 0,0536        | 0,9600        | 0,9600        |
| $\pi_p$                 | [-]                  | 0,0525        | 0,9412        | 0,9474        |
| $z$                     | [-]                  | 16,0000       | 8,0000        | 8,0000        |
| char. prúdenia          |                      | KRIT.         | PODKRIT.      | PODKRIT.      |
| $D$                     | [mm]                 | 781,2000      | 781,2000      | 781,2000      |
| $\delta_r$              | [mm]                 | 0,6000        | 0,6000        | 0,6000        |
| $S$                     | [cm <sup>2</sup> ]   | 14,7253       | 14,7253       | 14,7253       |
| $\Delta$                | [mm]                 | 0,5000        | 0,5000        | 0,5000        |
| $\mu$                   | [-]                  | 0,7100        | 0,7100        | 0,7100        |
| $t$                     | [mm]                 | 6,0000        | 6,0000        | 6,0000        |
| $k$                     | [-]                  | 2,2646        | 2,0054        | 2,0054        |
| $v_{in}$                | [m <sup>3</sup> /kg] | 1,6790        | 1,6790        | 0,8870        |
| <b><math>m_u</math></b> | <b>[kg/s]</b>        | <b>0,1405</b> | <b>0,0617</b> | <b>0,0802</b> |

Tab 6.4: Určenie charakteristík predných upchávok ST-NT dielu turbíny.

## 7 Skutočný výkon turbíny

Po stanovení stratového výkonu upchávkami v predchádzajúcej kapitole je možné určiť skutočný výkon turbíny. Keďže dvojprúdový NT diel turbíny nie je predmetom výpočtu upchávok, nie je známy odpovedajúci stratový výkon a výsledná hodnota výkonu turbíny bude teda stále mierne väčšia ako reálny výkon.

Hodnota skutočného výkonu turbíny je teda určená odčítaním stratového výkonu upchávkami od hodnoty celkového výkonu vypočítaného v kapitole 3.5. Do hodnoty stratového výkonu ST-NT dielu je taktiež zahrnutá para unikajúca vonkajšími upchávkami VT dielu. Hodnoty stratového výkonu VT dielu boli brané z práce „Modernizace VT dílu parní turbíny 300 MW“. Zhrnutie jednotlivých stratových výkonov je uvedené nasledovne

### VT diel

Stratový výkon vnútornými upchávkami:

$$P_z = 526,9879 \text{ kW}$$

Stratový výkon prednou upchávkou:

$$m_{u,I\_predná\_VT} = 0,7764 \text{ [kg/s]}$$

$$P_z = m_{u,I\_predná\_VT} \cdot (i'_1 - i_{VT\_out}) = 274,6726 \text{ [kW]} \quad (7.1)$$

### ST-NT diel

Stratový výkon vnútornými upchávkami (kap. 6.1):

$$P_z = 787,0868 \text{ kW}$$

Stratový výkon prednou upchávkou (vzťah 6.15):

$$P_z = 1184,9895 \text{ kW} \quad (7.2)$$

Stratový výkon prednou upchávkou VT dielu:

$$P_z = m_{u,I\_predná\_VT} \cdot (i_{STNT\_in} - i_2) = 947,8833 \text{ [kW]} \quad (7.3)$$

Stratový výkon zadnou upchávkou VT dielu:

$$m_{u,I\_zadná\_VT} = 0,6505 \text{ [kg/s]}$$

$$P_z = m_{u,I\_zadná\_VT} \cdot (i_{STNT\_in} - i_2) = 794,2979 \text{ [kW]} \quad (7.4)$$

Výsledný stratový výkon upchávkami je približne 4516 kW. Po odčítaní tohto výkonu od celkového výkonu z kapitoly 3.5 je daný výsledný výkon turbíny (bez uvažovania NT dielu) približne 303 MW.

## 8 Kritické otáčky rotora ST-NT dielu

### 8.1 Hmotnosť rotora

Zváraný rotor ST-NT dielu pozostáva z troch častí. Prvá ST časť je vyrobená z materiálu X14CrMoVNB10-1, zvyšné dve NT časti z materiálu 16 537. V miestach zvarov je na častiach rotora zhotovená dutina umožňujúca kvalitné privarenie jednotlivých častí. Výpočet hmotnosti rotora je prevedený nasledovne:

Hmotnosť hriadeľa s diskovými kolesami:

$$m_{\text{hriadeľ}} = \rho_{\text{ocel}} \cdot V_{\text{hriadeľ}} = 47,5 \text{ ton} \quad (8.1)$$

- *približný objem hriadeľa V bol určený v programe AutoCAD*

Hmotnosť lopatkovania (lopatka, bandáž, záves):

$$m_{\text{lopatkovaňe}} = \sum_{i=1}^{13} z'_i \cdot m_i = 2,4794 \text{ ton} \quad (8.2)$$

$$m_i = m_{\text{lop}} + m_b + m_z \text{ [kg]} \quad (8.3)$$

- *z'\_i je počet obežných lopatiek stupňa*

Celková hmotnosť rotora je približne 50 ton.

### 8.2 Kritické otáčky rotora

Pre plynulý chod turbíny je nutné dodržať hodnotu prevádzkových otáčok dostatočne vzdialenú od tzv. kritických otáčok rotora. Podľa vzájomného vzťahu medzi kritickými a prevádzkovými otáčkami sa rotory rozdeľujú do dvoch skupín [6]:

Tuhé rotory:  $n_{\text{krit}} > n_{\text{prev}}$

Elastické rotory:  $n_{\text{krit}} < n_{\text{prev}}$

Hodnota kritických otáčok závisí na veľkom množstve faktorov, detailný výpočet je teda pomerne zložitý. Orientačnú hodnotu je však možné určiť podľa nasledovného vzťahu [6]:

$$n_{\text{krit}} = 7,5 \cdot \frac{\left(\frac{d_{\text{max}}}{L}\right)^2}{\sqrt{\frac{m_{\text{rotor}}}{L}}} \text{ [min}^{-1}\text{]} \quad (8.3)$$

- *d<sub>max</sub> [mm] je najväčší priemer rotora*

- *m<sub>rotor</sub> [kg] je celková hmotnosť rotora*

- *L [m] je ložisková vzdialenosť odčítaná z výkresu*

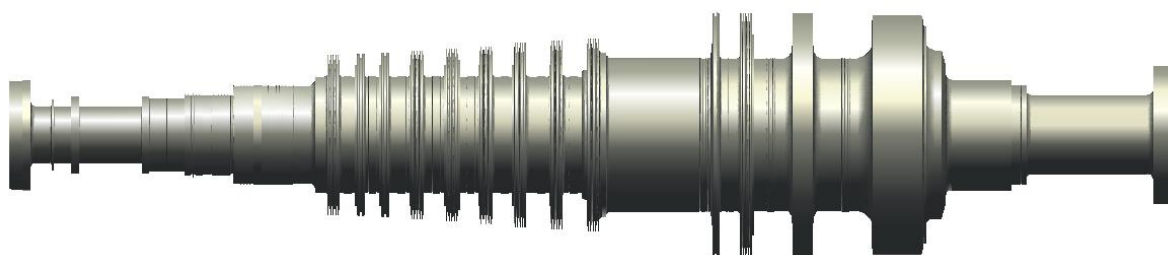
Výsledná hodnota je uvedená v nasledujúcej tabuľke:

|                    |                       |                  |
|--------------------|-----------------------|------------------|
| $d_{\max}$         | [mm]                  | 1050             |
| L                  | [m]                   | 6,795            |
| $m_{\text{rotor}}$ | [kg]                  | 50000            |
| $n_{\text{krit}}$  | [ $\text{min}^{-1}$ ] | <b>2087,7124</b> |

Z hľadiska prevádzky by mala byť hodnota kritických otáčok nižšia ako 70% hodnoty otáčok prevádzkových.

$$\frac{n_{\text{krit}}}{n_{\text{prev}}} \leq 0,7 \Rightarrow \frac{2087,7124}{3000} = 0.6959 \text{ [min}^{-1}\text{]}$$

Turbína je vhodná k prevádzke.



Obr. 8.1: Model rotora ST-NT dielu. [4s]

## 9 Závěr

Cieľom tejto diplomovej práce bola modernizácia (retrofit) trojtelesovej kondenzačnej parnej turbíny s prihrievaním typu K300-170 so zameraním na kombinovaný stredotlaký a nízkotlaký (ST-NT) diel. Návrh turbíny prebiehal s ohľadom na pôvodné konštrukčné prevedenie, bolo teda snahou dodržať ložiskovú vzdialenosť, rozmery vonkajšieho telesa a pod.

V prvej časti výpočtu bola po konzultácii so spoločnosťou DŠP zostrojená bilančná schéma systému, v ktorom turbína pracuje. Táto schéma znázorňuje koncepciu telies turbíny, počet tepelných výmenníkov v systéme regenerácie a umiestnenie regeneračných odberov. Zo zadania práce boli následne vypočítané parametre pary na vstupe a výstupe jednotlivých dielov turbíny, pričom boli tieto hodnoty znázornené v zjednodušených expanzných čiarach. Pri výpočte boli taktiež odhadnuté vnútorné termodynamické účinnosti VT a ST-NT dielu, ktorých hodnoty budú ďalej v práci spresnené v rámci iteračného výpočtu.

V ďalšom výpočte boli určené parametre systému regenerácie, ktorý pozostáva z nízkotlakých ohrievačov, napájacej nádrže s odplyňovačom a z vysokotlakých ohrievačov. Počet regeneračných výmenníkov odpovedá pôvodnému projektu. Pri návrhu parametrov systému regenerácie sa prihliadalo na rovnomerné rozdelenie ohriatia hlavného kondenzátu (napájacej vody) medzi jednotlivé ohrievače. Na základe týchto parametrov boli stanovené vlastnosti pary v jednotlivých neregulovaných odberoch, ktoré budú využité pri umiestňovaní odberov medzi stupňami lopatkovania v turbíne. Stanovením pomerných množstiev pracovnej tekutiny v systéme bol následne vypočítaný celkový hmotnostný tok pary na vstupe do turbíny, ktorý je potrebný pre dosiahnutie zadaného elektrického výkonu. Jednotlivé hmotnostné toky v odberoch z turbíny boli potom určené v závislosti na pomerných množstvách a celkovom množstve pary. Celkový hmotnostný tok pary na turbínu bol určený ako 249,3 kg/s, pričom na ST-NT diel prúdi približne 204,8 kg/s.

Návrh prietochného kanála bol zameraný na kombinovaný ST-NT diel turbíny, s ohľadom na čo najväčšiu účinnosť jednotlivých stupňov. Na základe tradície spoločnosti DŠP bol typ lopatkovania turbíny volený ako rovnotlaký, čomu bola prispôbená voľba optimálnej hodnoty rýchlostného pomeru  $u/c_{iz}$ . Vzhľadom k využitiu pôvodného vnútorného a vonkajšieho telesa turbínovej skrine v čo najväčšej miere, boli päťnásobné priemery lopatkovania volené na základe doporučenia v rozmedzí 1,15 až 1,6 m pre ST časť a 1,6 až 1,8 m pre NT časť. S prihliadaním na rovnomerné rozloženie ohrevu napájacej vody a na tlak na výstupe z turbíny bolo volené umiestnenie neregulovaných odberov medzi stupňami. Prietochná časť ST-NT dielu teda pozostáva z 13 stupňov, pričom regeneračné odbery boli umiestnené za 4., 7., 8., 9. a 10. stupeň. Výsledná hodnota vnútornej termodynamickej účinnosti bola stanovená približne 88,95%. Hodnoty určené v tejto časti výpočtu boli následne využité v tepelnom výpočte, čím došlo k spresneniu pôvodných hodnôt. Celý výpočet bol teda prevedený ako iteračný. Pre určenie vhodných profilov lopatkových mreží boli následne zostrojené rýchlostné trojuholníky.

Navrhnuté lopatkové mreže boli v kapitole pevnostný výpočet skontrolované z pevnostného hľadiska. Kontrolované boli obežné lopatky a ich závesy, rozvádzacie lopatky a rozvádzacie kolesá. V prípade nevyhovujúcich hodnôt namáhania boli navrhnuté parametre prietochnej časti vhodne upravené. Súbežne s pevnostným výpočtom bol spracovaný výkres

pozdĺžneho rezu ST-NT dielu, v ktorom boli navrhnuté rozmery jednotlivých rozvádzačích kolies a závesov lopatiek.

System upchávok turbíny bol zachovaný z pôvodného projektu, bol teda spočítaný hmotnostný tok jednotlivými upchávkovými sekciami a jemu odpovedajúci stratový výkon. Na základe určeného stratového výkonu bola následne spresnená hodnota celkového výkonu turbíny.

Na záver práce bol vytvorený 3D model rotora ST-NT dielu, využitý pri výpočte kritických otáčok.

Celkový výkon turbíny bol stanovený na hodnotu približne 303 MW. Táto hodnota je však navýšená o hodnotu stratového výkonu upchávkami dvojprúdového NT dielu, ktorý nie je pri výpočte upchávok uvažovaný. Pri výpočte boli taktiež uvažované určité zjednodušenia a zidealizovania procesov.

## 10 Zoznam použitých zdrojov

### 10.1 Literatúra

- [1] ŠKOPEK, J. *Parní turbíny – Tepelný a pevnostní výpočet*. Plzeň: Západočeská univerzita v Plzni, 2007. str 160. příl. ISBN 978-80-7043-256-3.
- [2] ŠKOPEK, J. *Tepelné turbíny a turbokompresory*. 1. vyd. Plzeň: Západočeská univerzita v Plzni, 2010, 244 s. ISBN 978-80-7043-862-6.
- [3] FIEDLER, J. *Parní turbíny – Návrh a výpočet*. 1.vyd. Brno: Akademické nakladatelství CERM, s.r.o., 2004. str 66. ISN 80-214-2777-9.
- [4] ŠČEGLJAJEV, A. V. *Parní turbíny. Teorie tepelného děje a konstrukce turbín. 1. svazek\**. 1. vyd. Praha: SNTL, 1983, 367 s.
- [5] ŠČEGLJAJEV, A. V. *Parní turbíny. Teorie tepelného děje a konstrukce turbín. 2. svazek\**. 1. vyd. Praha: SNTL, 1983, 262 s.
- [6] KADRNOŽKA, J. *Tepelné turbíny a turbokompresory: Základy teorie a výpočtů*. Vyd. 1. Brno: Akademické nakladatelství CERM, 2004, 308 s. ISBN 80-7204-346-3.
- [7] BEČVÁŘ, J. a kol.: *Tepelné turbíny*, SNTL Praha, 1968
- [8] Interná dokumentácia Doosan Škoda Power

### 10.2 Software

- [1s] Doplnok programu Microsoft Excel - X Steam v2.6
- [2s] Microsoft Excel 2013
- [3s] Microsoft Word 2013
- [4s] Autodesk AutoCAD 2013

## 11 Zoznam použitých skratiek a symbolov

### 11.1 Skratky

|     |                               |
|-----|-------------------------------|
| DŠP | Doosan Škoda Power            |
| IB  | indiferentný bod              |
| KČ  | kondenzátne čerpadlo          |
| NČ  | napájacie čerpadlo            |
| NN  | napájacia nádrž               |
| NT  | nízkotlaký                    |
| NTO | nízkotlaký ohrievač           |
| RV  | regulačný ventil              |
| SRV | spúšťací rychlozáverný ventil |
| ST  | stredotlaký                   |
| VT  | vysokotlaký                   |
| VTO | vysokotlaký ohrievač          |

### 11.2 Symboly

|                  |                      |   |
|------------------|----------------------|---|
| a                | [m/s]                | rýchlosť zvuku/výška rozvážacieho kolesa/rozmer závesu typu „T“ |
| b                | [m]                  | dĺžka tetivy profilu/rozmer závesu typu „T“                     |
| b <sub>1</sub>   | [m]                  | rozmer rozvidleného závesu                                      |
| b <sub>2</sub>   | [m]                  | rozmer rozvidleného závesu                                      |
| B                | [m]                  | šírka lopatky   |
| c                | [m/s]                | absolútna rýchlosť/rozmer závesu typu „T“                       |
| c <sub>p</sub>   | [kJ/kgK]             | merná tepelná kapacita  |
| D                | [m]                  | priemer   |
| E                | [MPa]                | modul pružnosti   |
| F                | [N]                  | sila  |
| H                | [kJ/kg]              | entalpický spád   |
| h                | [kJ/kg]              | entalpický spád stupňa/šírka rozvážacieho kolesa                |
| i                | [kJ/kg]              | entalpia  |
| k                | [-]                  | súčiniteľ odľahčenia  |
| L                | [m]                  | dĺžka lopatky   |
| m                | [kg/s]               | hmotnostný tok  |
| Ma               | [-]                  | Machové číslo   |
| m <sub>b</sub>   | [kg]                 | hmotnosť bandáže  |
| M <sub>k</sub>   | [Nm]                 | krútiaci moment   |
| m <sub>lop</sub> | [kg]                 | hmotnosť lopatky  |
| M <sub>o</sub>   | [Nm]                 | ohybový moment  |
| n                | [min <sup>-1</sup> ] | otáčky  |
| O                | [N]                  | odstredivá sila   |
| p                | [MPa]                | tlak/namáhanie otláčením  |
| P                | [W]                  | výkon   |
| R                | [m]                  | polomer   |
| r <sub>f</sub>   | [-]                  | reheat faktor   |
| R <sub>p</sub>   | [-]                  | stupeň reakcie na pätnom priemere                               |
| R <sub>s</sub>   | [-]                  | stupeň reakcie na strednom priemere                             |

|            |                        |   |
|------------|------------------------|---|
| $s$        | [kJ/kgK]               | entropia  |
| $S_0$      | [m <sup>2</sup> ]      | plocha profilu na pätnom priemere                 |
| $S_z$      | [m <sup>2</sup> ]      | plocha závesu                                     |
| $t$        | [°C]                   | teplota   |
| $\tau$     | [MPa]                  | namáhanie šmykom                                  |
| $t_o$      | [m]                    | rozstup obežných lopatiek                         |
| $t_{opt}$  | [-]                    | optimálny pomerný rozstup lopatiek                |
| $t_r$      | [m]                    | rozstup rozvádzacích lopatiek                     |
| $T_t$      | [m]                    | ťažiskový rozstup závesu                          |
| $u$        | [m/s]                  | obvodová rýchlosť                                 |
| $v$        | [m <sup>3</sup> /kg]   | merný objem                                       |
| $v_b$      | [m]                    | výška bandáže                                     |
| $w$        | [m·s <sup>-1</sup> ]   | relatívna rýchlosť                                |
| $W_o$      | [m <sup>3</sup> ]      | ohybový prierezový modul                          |
| $x$        | [-]                    | suchosť   |
| $y$        | [-]                    | pomerný hmotnostní tok                            |
| $y_{dov}$  | [m]                    | dovolený priehyb                                  |
| $y_{max}$  | [m]                    | maximálny priehyb                                 |
| $z$        | [-]                    | počet   |
| $Z_L$      | [-]                    | strata okrajová a netesnosťou v bandáži lopatky   |
| $z_o$      | [-]                    | počet obežných lopatiek                           |
| $Z^{OL}$   | [kJ·kg <sup>-1</sup> ] | energetická strata v obežnej lopatkovej mreži     |
| $z_r$      | [-]                    | počet rozvádzacích lopatiek                       |
| $Z^{RL}$   | [kJ·kg <sup>-1</sup> ] | energetická strata v rozvádzacej lopatkovej mreži |
| $Z_{ROZ}$  | [-]                    | strata rozvejárením                               |
| $Z_{VK}$   | [-]                    | strata trením disku                               |
| $Z_x$      | [-]                    | strata vplyvom vlhkosti pary                      |
| $\phi$     | [-]                    | rýchlostný súčiniteľ pre rozvádzacie lopatky      |
| $A_p$      | [m <sup>2</sup> ]      | plocha namáhaná na otláčení                       |
| $A_\sigma$ | [m <sup>2</sup> ]      | plocha namáhaná na ťah                            |
| $A_\tau$   | [m <sup>2</sup> ]      | plocha namáhaná na šmyk                           |
| $\Delta p$ | [Pa]                   | tlakový rozdiel                                   |
| $\alpha$   | [°]                    | uhol absolútnej rýchlosti                         |
| $\beta$    | [°]                    | uhol relatívnej rýchlosti                         |
| $\delta$   | [°C]                   | koncový teplotný rozdiel                          |
| $\delta_r$ | [m]                    | radiálna medzera                                  |
| $\gamma$   | [°]                    | uhol nastavenia profilu                           |
| $\eta$     | [-]                    | účinnosť  |
| $\mu$      | [-]                    | súčiniteľ pre výpočet rozvádzacieho kola          |
| $\mu_u$    | [-]                    | prietokový súčiniteľ upchávkou                    |
| $\pi_p$    | [-]                    | tlakový pomer                                     |
| $\rho$     | [kg/m <sup>3</sup> ]   | hustota oceli                                     |
| $\sigma_c$ | [MPa]                  | celkové napätie                                   |
| $\sigma_o$ | [MPa]                  | ohybové napätie                                   |
| $\sigma_t$ | [MPa]                  | ťahové napätie                                    |
| $\psi$     | [-]                    | rýchlostný súčiniteľ pre obežné lopatky           |
| $\omega$   | [rad/s]                | uhlová rýchlosť                                   |

## 11.3 Indexy

|                 |  |
|-----------------|--|
| 0, 1, 2, ...    | čísllice označujú stavy pary v daných bodoch |
| a               | axiálny                                      |
| b               | bandáž                                       |
| c               | celkový                                      |
| d               | hodnota pre prídavnú chemickú vodu           |
| dov             | dovolená hodnota                             |
| g               | generátor                                    |
| ch              | chladiaci                                    |
| i               | i-ty stupeň                                  |
| I, II, III, ... | rímske číslice označujú jednotlivé úseky     |
| in              | hodnota na vstupe                            |
| iz              | izoentropický                                |
| k               | kondenzát/kondenzátor                        |
| KČ              | kondenzátne čerpadlo                         |
| krit            | kritický                                     |
| L               | lopatka                                      |
| lop             | lopatka                                      |
| m               | mechanický                                   |
| max             | maximálna hodnota                            |
| min             | minimálna hodnota                            |
| NČ              | napájacie čerpadlo                           |
| NN              | napájacia nádrž                              |
| NTO1            | nízkotlaký ohrievač 1                        |
| NTO2            | nízkotlaký ohrievač 2                        |
| NTO3            | nízkotlaký ohrievač 3                        |
| NTO4            | nízkotlaký ohrievač 4                        |
| NTO5            | nízkotlaký ohrievač 5                        |
| NV              | napájacia voda                               |
| o               | obežný/ohybový                               |
| OL              | obežná lopatka                               |
| opt.            | optimálna hodnota                            |
| out             | hodnota na výstupe                           |
| p               | para/pätný/povrchový                         |
| r               | rozvádzací                                   |
| RK              | rozvádzacie koleso                           |
| RL              | rozvádzacia lopatka                          |
| s               | stredný                                      |
| skut.           | skutočná hodnota                             |
| ST              | stredotlaký diel                             |
| st              | stupeň                                       |
| STNT            | kombinovaný stredotlaký a nízkotlaký diel    |
| t               | ťahový/tážisko                               |
| tdi             | termodynamický vnútorný                      |
| u               | obvodový                                     |
| v               | voda   |
| VT              | vysokotlaký diel                             |
| VTO1            | vysokotlaký ohrievač 1                       |

---

|        |                        |
|--------|------------------------|
| VTO2   | vysokotlaký ohrievač 2 |
| VTO3   | vysokotlaký ohrievač 3 |
| z      | stratový/záves         |
| zaokr. | zaokrouhlená hodnota   |

## 12 Zoznam príloh

- Príloha 1: Katalóg profilov rozvážacích a obežných lopatiek. [1]
- Príloha 2: Katalóg materiálov. [1]
- Príloha 3: Súčiniteľ odľahčenia  $k$ . [1]
- Príloha 4: Súčiniteľ  $\phi$  pre výpočet namáhania rozvážacieho kolesa. [1]
- Príloha 5: Súčiniteľ  $\mu$  pre výpočet priehybu rozvážacieho kolesa. [1]
- Príloha 6: Závislosť modulu pružnosti v ťahu na teplote. [1]
- Príloha 7: Prietokový súčiniteľ upchávok. [3]
- Príloha 8: Náhľad výkresu pozdĺžneho rezu ST-NT dielu.

## 13 Přílohy

### Příloha 1: Katalóg profilů rozváděcích a obežných lopatek.

#### NĚKTERÉ CHARAKTERISTIKY PROFILŮ - rozváděcí

| Označení Profilu | $\alpha_1$ (°) | $\alpha_0$ (°) | $t_{opt}$    | $M_{1s}^{opt}, M_{1s}^{opt}$ | $b_0$ (cm) | $S_0$ (cm <sup>2</sup> ) | $J_0^{min}$ (cm <sup>4</sup> ) | $W_0^{min}$ (cm <sup>3</sup> ) |
|------------------|----------------|----------------|--------------|------------------------------|------------|--------------------------|--------------------------------|--------------------------------|
| S - 90 - 09A     | 8 až 11        | 70 až 120      | 0,72 až 0,85 | do 0,90                      | 6,06       | 3,45                     | 0,416                          | 0,471                          |
| S - 90 - 12A     | 10 až 14       | 70 až 120      | 0,72 až 0,87 | do 0,85                      | 6,25       | 4,09                     | 0,591                          | 0,575                          |
| S - 90 - 15A     | 13 až 14       | 70 až 120      | 0,70 až 0,85 | do 0,85                      | 5,15       | 3,3                      | 0,36                           | 0,45                           |
| S - 90 - 18A     | 16 až 20       | 70 až 120      | 0,70 až 0,80 | do 0,90                      | 4,71       | 2,72                     | 0,243                          | 0,333                          |
| S - 90 - 22A     | 20 až 24       | 70 až 120      | 0,70 až 0,80 | do 0,90                      | 4,5        | 2,35                     | 0,167                          | 0,265                          |
| S - 90 - 27A     | 24 až 30       | 70 až 120      | 0,65 až 0,75 | do 0,90                      | 4,5        | 2,03                     | 0,116                          | 0,195                          |
| S - 90 - 33A     | 30 až 36       | 70 až 120      | 0,62 až 0,75 | do 0,90                      | 4,5        | 1,84                     | 0,09                           | 0,163                          |
| S - 90 - 38A     | 35 až 42       | 70 až 120      | 0,60 až 0,73 | do 0,90                      | 4,5        | 1,75                     | 0,081                          | 0,141                          |
| S - 55 - 15A     | 12 až 18       | 45 až 75       | 0,72 až 0,87 | do 0,90                      | 4,5        | 4,41                     | 1,195                          | 0,912                          |
| S - 55 - 20A     | 17 až 23       | 45 až 75       | 0,70 až 0,85 | do 0,90                      | 4,15       | 2,15                     | 0,273                          | 0,275                          |
| S - 45 - 25A     | 21 až 28       | 35 až 65       | 0,60 až 0,75 | do 0,90                      | 4,58       | 3,3                      | 0,703                          | 0,536                          |
| S - 60 - 30A     | 27 až 34       | 45 až 85       | 0,52 až 0,70 | do 0,90                      | 3,46       | 1,49                     | 0,118                          | 0,154                          |
| S - 65 - 20A     | 17 až 23       | 45 až 85       | 0,60 až 0,75 | do 0,90                      | 4,5        | 2,26                     | 0,338                          | 0,348                          |
| S - 70 - 25A     | 22 až 28       | 55 až 90       | 0,50 až 0,67 | do 0,90                      | 4,5        | 1,86                     | 0,242                          | 0,235                          |
| S - 90 - 12B     | 10 až 14       | 70 až 120      | 0,72 až 0,87 | 0,85 až 1,15                 | 5,66       | 3,31                     | 0,388                          | 0,42                           |
| S - 90 - 15B     | 13 až 17       | 70 až 120      | 0,70 až 0,85 | 0,85 až 1,15                 | 5,2        | 3,21                     | 0,326                          | 0,413                          |
| S - 90 - 12D     | 10 až 14       | 70 až 120      | 0,58 až 0,68 | 1,40 až 1,80                 | 4,09       | 2,3                      | 0,237                          | 0,324                          |
| S - 90 - 15D     | 13 až 17       | 70 až 120      | 0,55 až 0,65 | 1,40 až 1,70                 | 4,2        | 2                        | 0,153                          | 0,238                          |

$\alpha_0$  ..... vstupní úhel

#### NĚKTERÉ CHARAKTERISTIKY PROFILŮ - obežné

| Označení Profilu          | $\beta_2$ (°) | $\beta_1$ (°) | $t_{opt}$    | $M_{1s}^{opt}, M_{1s}^{opt}$ | $b_0$ (cm) | $S_0$ (cm <sup>2</sup> ) | $J_0^{min}$ (cm <sup>4</sup> ) | $W_0^{min}$ (cm <sup>3</sup> ) |
|---------------------------|---------------|---------------|--------------|------------------------------|------------|--------------------------|--------------------------------|--------------------------------|
| R - 23 - 14A              | 12 až 16      | 20 až 30      | 0,60 až 0,75 | do 0,95                      | 2,59       | 2,44                     | 0,43                           | 0,39                           |
| R - 26 - 17A              | 15 až 19      | 23 až 35      | 0,60 až 0,70 | do 0,95                      | 2,57       | 2,07                     | 0,215                          | 0,225                          |
| R - 30 - 21A              | 19 až 24      | 25 až 40      | 0,58 až 0,68 | do 0,90                      | 2,56       | 1,85                     | 0,205                          | 0,234                          |
| R - 35 - 25A              | 22 až 28      | 30 až 50      | 0,55 až 0,65 | do 0,85                      | 2,54       | 1,62                     | 0,131                          | 0,168                          |
| R - 46 - 29A              | 25 až 32      | 44 až 60      | 0,45 až 0,58 | do 0,85                      | 2,56       | 1,22                     | 0,71                           | 0,112                          |
| R - 60 - 33A              | 30 až 36      | 47 až 65      | 0,43 až 0,55 | do 0,85                      | 2,56       | 1,02                     | 0,044                          | 0,079                          |
| R - 60 - 38A              | 35 až 42      | 55 až 75      | 0,41 až 0,51 | do 0,85                      | 2,61       | 0,76                     | 0,018                          | 0,035                          |
| R - 23 - 14A <sub>k</sub> | 12 až 16      | 20 až 30      | 0,60 až 0,75 | do 0,95                      | 2,59       | 2,35                     | 0,387                          | 0,331                          |
| R - 26 - 17A <sub>k</sub> | 15 až 19      | 23 až 45      | 0,60 až 0,70 | do 0,95                      | 2,57       | 1,81                     | 0,152                          | 0,165                          |
| R - 27 - 17B              | 15 až 19      | 23 až 45      | 0,57 až 0,65 | 0,80 až 1,15                 | 2,54       | 2,06                     | 0,296                          | 0,296                          |
| R - 27 - 17B <sub>k</sub> | 15 až 19      | 23 až 45      | 0,57 až 0,68 | 0,85 až 1,15                 | 2,54       | 1,79                     | 0,216                          | 0,216                          |
| R - 30 - 21B              | 19 až 24      | 25 až 40      | 0,55 až 0,65 | 0,85 až 1,10                 | 2,01       | 1,11                     | 0,073                          | 0,101                          |
| R - 35 - 25B              | 22 až 28      | 30 až 50      | 0,55 až 0,65 | 0,85 až 1,10                 | 2,52       | 1,51                     | 0,126                          | 0,159                          |
| R - 21 - 18D              | 16 až 20      | 19 až 24      | 0,60 až 0,70 | 1,30 až 1,60                 | 2          | 1,16                     | 0,118                          | 0,142                          |
| R - 25 - 22D              | 20 až 24      | 23 až 27      | 0,54 až 0,67 | 1,35 až 1,60                 | 2          | 0,99                     | 0,084                          | 0,1                            |

Platí pro profily o šířce  $B_0 = 25$  mm

(jen pro obežné lopatky)

Typ A (podzvukové) pro  $M < 0,7 - 0,9$

B (transonické)  $0,9 < M < 1,15$

C (nadzvukové)  $1,1 < M < 1,3$

D (rozšiřující se, Lavalovy dýzy)  $M > 1,3 - 1,5$

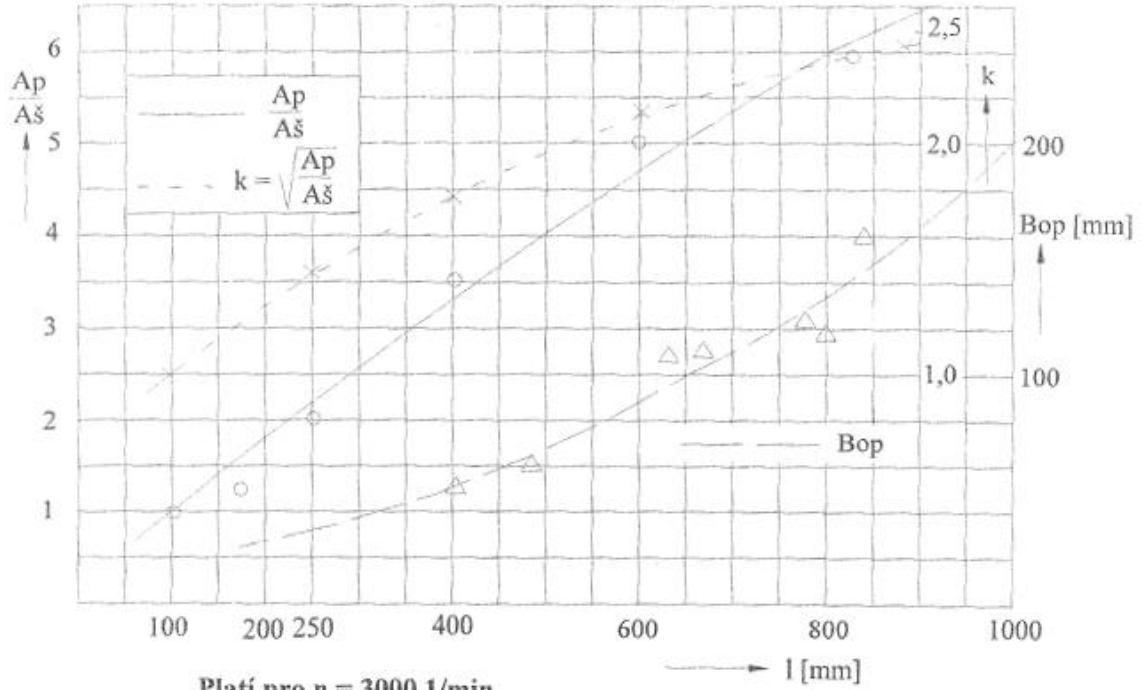
**Príloha 2: Katalóg materiálov.**

| *ident. | název mater.  | Sqkm | Γmax | S20. 100. 200. 300. 350. 375. 400. 420. 440. 460. 480. 500. 510. 520. 530. 540. 550. | →T | E20. 100. 200. 300. 400. 500. 600. | * poznámky až do konce                     |
|---------|---------------|------|------|--|----|------------------------------------|--|
| 00101   | 15 128.5      | 363. | 550. | 181. 172. 159. 147. 139. 135. 132. 128. 125. 121. 109. 84. 75. 66. 56. 50. 44.       |    | 214. 211. 208. 197. 188. 178. 166. | * plechy, výkovky i nad 400° C             |
| 00102   | 15 523.1      | 304. | 400. | 152. 132. 118. 103. 93. 87. 62.  |    | 210. 210. 208. 197. 188.           | * plechy, výkovky i do 400° C              |
| 00103   | 422747.6      | 410. | 550. | 216. 196. 181. 172. 167. 164. 162. 160. 152. 125. 100. 80. 71. 65. 57. 50. 44.       |    | 213. 211. 204. 193. 186. 177. 167. | * odlitky i nad 400° C                     |
| 00104   | 422744.6      | 284. | 500. | 142. 137. 132. 127. 123. 118. 113. 109. 105. 101. 98. 83. 72. 61. 51. 43. 36.        |    | 213. 210. 204. 197. 188. 179. 168. | * odlitky i nad 400° C                     |
| 00105   | 422742.6      | 314. | 500. | 157. 142. 127. 115. 108. 103. 98. 96. 94. 86. 78. 59.                                |    | 212. 209. 203. 196. 187. 176. 164. | * odlitky i nad 400. do 500° C i do 8 tun  |
| 00106   | 422713.5      | 245. | 400. | 123. 113. 98. 83. 69. 59. 49.  |    | 212. 208. 202. 193. 184.           | * odlitky i do 400° C                      |
| 00107   | 422904.5      | 294. | 350. | 147. 132. 118. 108. 103.   |    | 216. 211. 204. 196. 187.           | * korozivzd. (pro jaderné 220)             |
| 00108   | SN 422903.6   | 360. | 400. | 180. 145. 140. 135. 132. 131. 130.   |    | 214. 209. 202. 193. 182.           | * korozivzd. (pro jaderné 1000)            |
| 00109   | 422425        | 245. | 250. | 59. 59. 59.  |    | 126. 124. 121. 119.                | * slitima i do 250° C                      |
| 00201   | 15 128.5      | 274. | 550. | 220. 214. 207. 196. 172. 172. 172. 153. 133. 133. 133. 86. 86. 59. 59. 59.           |    |                                    | * tyče, vt profily i nad 400° C            |
| 00202   | 15 335.3      | 392  | 550. | 314. 229. 282. 267. 251. 251. 251. 212. 212. 172. 172. 172. 133. 133. 94. 94. 94.    |    |                                    | * tyče, vt profily i nad 400° C            |
| 00203   | 17 021.2      | 274. | 400. | 220. 204. 188. 180. 172. 172. 172.   |    |                                    | * tyče, st profily i do 400° C             |
| 00204   | 422745        | 319. | 550. | 235. 245. 240. 235. 220. 220. 208. 208. 134. 134. 88. 88. 59. 59. 59.                |    |                                    | * přesné odlitky u starých strojů          |
| 00205   | SN 422903     | 360. | 400. | 284. 231. 223. 216. 208. 208. 208.   |    |                                    | * svařovaná rozváděcí kola i do 400° C     |
| 00206   | 422904        | 294. | 400. | 235. 220. 206. 191. 186. 186. 186.   |    |                                    | * svařovaná rozváděcí kola i do 400° C     |
| 00207   | 422905        | 245. | 400. | 196. 180. 169. 161. 153. 153. 153.   |    |                                    | * rozv. lop. zalitě v šedé litině (NT)     |
| 00208   | Alstom.C51R-J | 441. | 550. | 353. 328. 309. 279. 258. 258. 231. 231. 147. 147. 147. 115. 115. 88. 88. 88.         |    |                                    | * Alsthom, nahradá 15 335                  |
| 00301   | 15 335.9      | 490. | 550. | 196. 186. 176. 157. 147. 142. 137. 133. 129. 123. 113. 103. 98. 93. 88. 82. 76.      |    |                                    | *  |
| 00302   | 15 320.9      | 490. | 550. | 196. 186. 176. 157. 147. 142. 137. 133. 129. 123. 108. 83. 70. 59. 50. 42. 35.       |    |                                    | * VT, ST rotory méně namáhané a studenejší |
| 00303   | 16 236.6      | 539. | 550. | 216. 201. 186. 167. 157. 155. 152. 142. 132. 123. 108. 93. 86. 78. 72. 65. 57.       |    |                                    | * VT, ST rotory více namáhané a teplejší   |
| 00304   | 16 431.6      | 588. | 500. | 235. 216. 196. 176. 167. 162. 157. 152. 137. 118. 98. 73.                            |    |                                    | *  |
| 00305   | 16 431.9      | 637. | 500. | 255. 235. 216. 196. 186. 181. 176. 172. 137. 118. 98. 73.                            |    |                                    | *  |
| 00306   | 16 444.6(9)   | 735. | 420. | 294. 279. 255. 230. 216. 196. 176. 147.  |    |                                    | * disky skládaných rotorů                  |
| 00307   | 16 536.6      | 686. | 420. | 276. 260. 235. 216. 206. 191. 176. 147.  |    |                                    | * disky svar. NT rotorů, běžně používána   |
| 00308   | 16 536.6 a    | 314. | 420. | 314. 299. 276. 245. 230. 206. 176. 147.  |    |                                    | * disky do šířky 500 mm                    |
| 00401   | PAK 1.6       | 490. | 460. | 196. 186. 172. 157. 137. 123. 88. 69. 53. 37.  |    |                                    |  |
| 00402   | PAK 1.6 vyk.  | 539. | 420. | 216. 206. 186. 172. 152. 132. 98. 78.  |    |                                    |  |
| 00403   | PAK 2MV.7     | 570. | 550. | 230. 221. 211. 201. 191. 186. 181. 176. 172. 167. 162. 142. 123. 103. 88. 74. 59.    |    |                                    |  |
| 00404   | P-AK I TD     | 686. | 200. | 275. 260. 245.   |    |                                    |  |
| 00501   | 15 320.9      | 588. | 550. | 157. 150. 144. 125. 115. 110. 105. 102. 99. 96. 82. 63. 52. 44. 37. 31. 26.          |    |                                    |  |

Sqkm.....mez kluzu [Mpa]

**Príloha 3: Súčiniteľ odľahčenia k.**

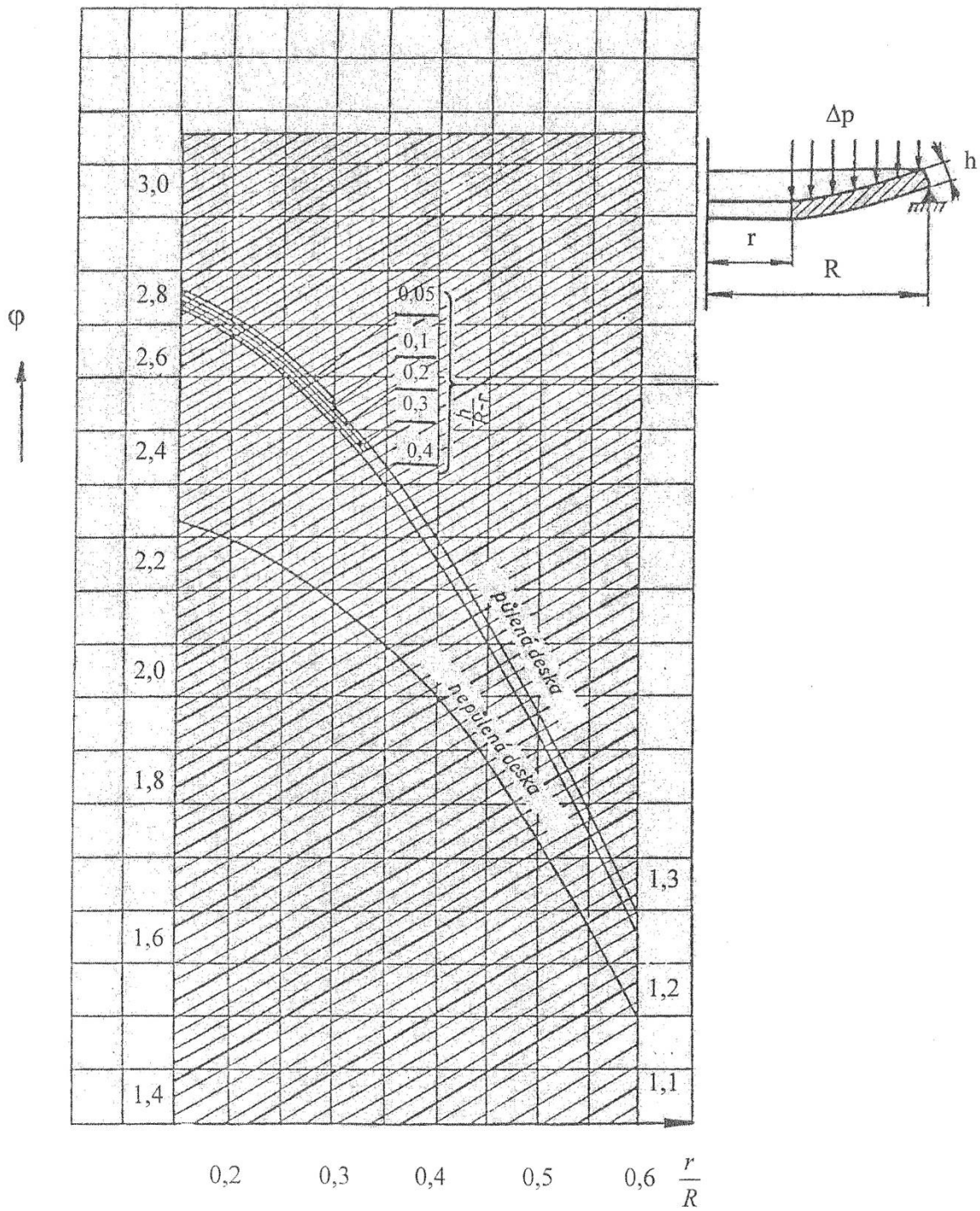
**Poměr ploch patního a špičkového profilu a součinitel odlehčení u dlouhých lopatek (dle provedených stupňů)**



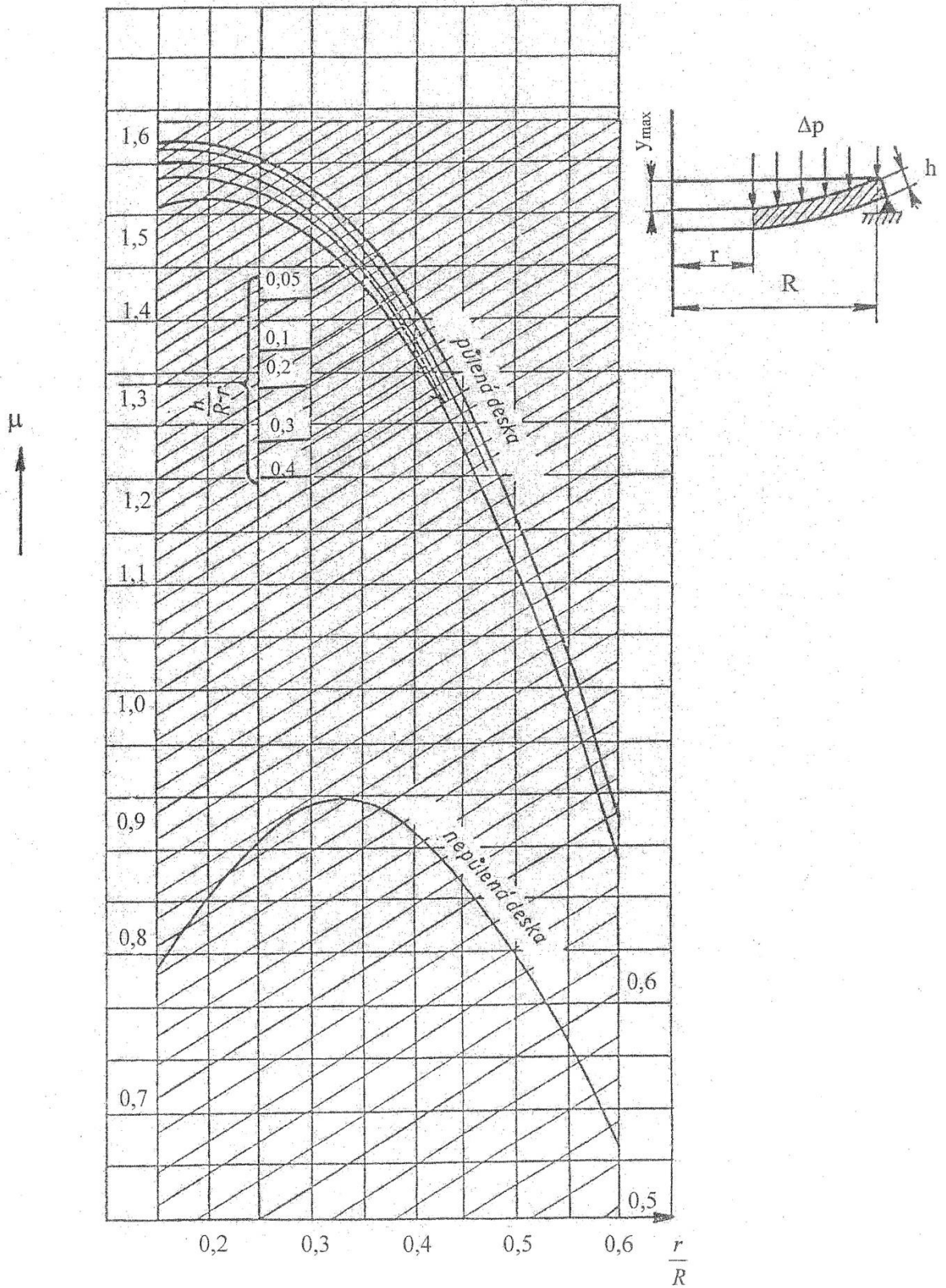
**Platí pro  $n = 3000$  1/min**

Pro jiné otáčky nutno přepočítat  $k' \approx k \cdot \frac{D_s}{D'_s} \frac{u'^2}{u^2}$

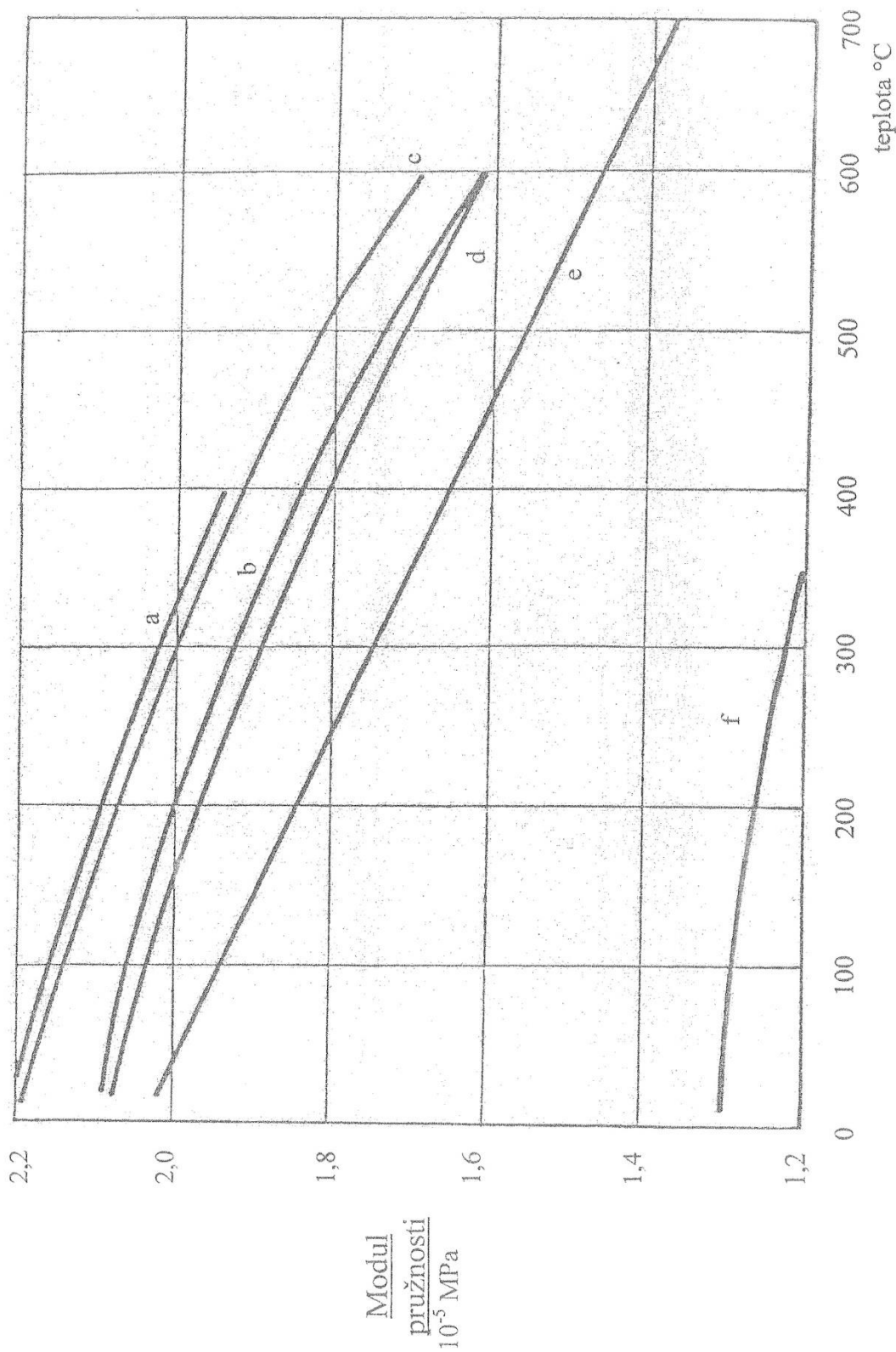
**Príloha 4: Súčiniteľ  $\phi$  pre výpočet namáhania rozvádzačieho kolesa.**



**Príloha 5: Súčiniteľ  $\mu$  pre výpočet priehybu rozvádzačieho kolesa.**

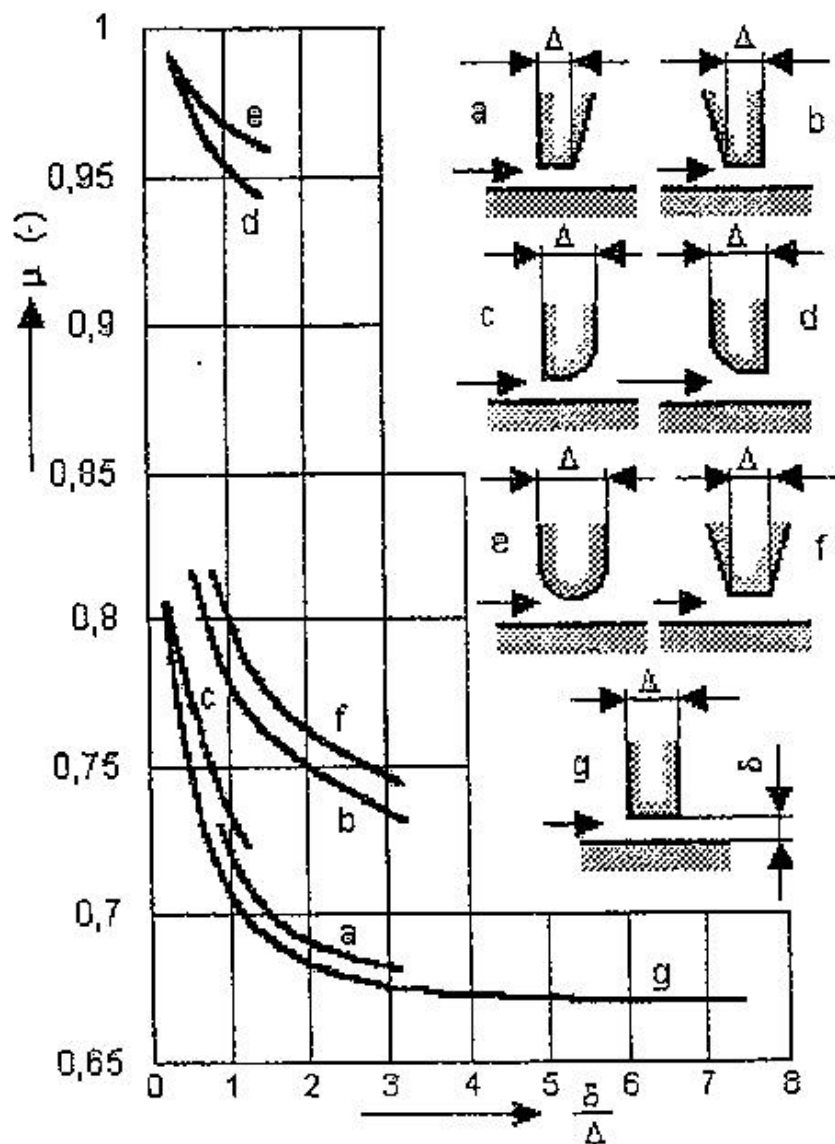


**Príloha 6: Závislosť modulu pružnosti v ťahu na teplote.**



a, b – uhlíkové oceli 500 – 600 Mpa, c – ocel 0.3 C, 0.11 Ni, 0.07 Cr, d – ocel 0.35 C, 4.21 Ni, 1.22 Cr,  
e – austenitická ocel 18 Cr, 8 Ni, stabilizovaná Ti, f – litina

Príloha 7: Prietokový súčiniteľ upchávok.



**Príloha 8: Náhľad výkresu pozdĺžneho rezu ST-NT dielu.**

